

Cubillages of cyclic zonotopes

Vladimir I. Danilov* Alexander V. Karzanov† Gleb A. Koshevoy‡

Аннотация

This paper (written in Russian) presents a survey of new and earlier results on fine zonotopal tilings (briefly, *cubillages*) of cyclic zonotopes. The combinatorial theory of these objects is of interest in its own right and also has a connection to higher Bruhat orders, triangulations of cyclic polytopes, and Tamari–Stasheff posets applied in the study of Kadomtsev–Petviashvili equations, and etc.

Keywords: higher Bruhat order, Tamari–Stasheff poset, polycategory, rhombus tiling, separated sets, purity

Светлой памяти Владимира
Воеводского посвящается

Содержание

Введение	2
1 Зонотопы	5
2 Кубильяжи	7
3 Перегородки	9
4 Редукции и экспансии	11
5 Циклические (вполне положительные) векторные конфигурации	14
6 Мембраны	15
7 Кубы и флопы	16

*Central Institute of Economics and Mathematics of the RAS, 47, Nakhimovskii Prospect, 117418 Moscow, Russia; email: danilov@cemi.rssi.ru.

†Central Institute of Economics and Mathematics of the RAS, 47, Nakhimovskii Prospect, 117418 Moscow, Russia; email: akarzanov7@gmail.com. Corresponding author.

‡The Institute for Information Transmission Problems of the RAS, 19, Bol'shoi Karetnyi per., 127051 Moscow, Russia, and HSE University, Moscow, Russia; email: koshevoyga@gmail.com. Supported in part by grant RSF 16-11-10075, and by Laboratory of Mirror Symmetry NRU HSE, RF Government grant, ag. № 14.641.31.0001.

8	Капсиды и флипы	20
9	Порядок кубов в кубильяже	21
10	Порядок на кубильяжах капсида	23
11	Стэки и мембраны	26
12	Существование флипов	27
13	Мембраны в зонотопе	29
14	Допустимые порядки	32
15	Инверсии	35
16	Отношение разделенности	38
17	Разделенность и кубильяжи	40
18	Чистота и расширяемость	42
19	Случай $Z(6, 4)$	44
20	Слабая разделенность	45
	Дополнение 1. Поликатегорный взгляд на кубильяжи	48
	Дополнение 2. Связь с триангуляциями и посетом Тамари-Сташева	50
	Дополнение 3. Слабые мембраны	53
	Дополнение 4. Доказательство ацикличности	56

Введение

Замощение фигур другими фигурами – излюбленная тема геометров. Вспомним кристаллические решетки и параллелоэдры, упаковки шаров, мозаики Пенроуза и связанные с этим ромбические тайлинги. Одно из направлений, интенсивно развивающееся в последние 30 лет, касается триангуляций т.н. циклических многогранников (см. [1] и обзор Рэмбо и Райнера [2] в сборнике [3]). Здесь мы хотим обсудить во многом параллельную теорию кубильяжей циклических зонотопов, то есть разбиений зонотопов на (комбинаторные) кубы.

Как это ни покажется странным, импульсы к рождению этой теории были не только геометрическими. Хотя зонотопальные (и кубические) разбиения издавна привлекали внимание геометров (см., например, работу [4], или исторический очерк в [5]), переворот вызвали две работы, скорее алгебраические или комбинаторные. Одна – работа Леклерка и Зелевинского [6] 1998 года – была связана с

вопросом квазикоммутирования квантовых миноров и привела к изучению ромбических тайлингов зононов; обзор некоторых достижений на этом пути см. в статье [7]. Другая – статья Манина и Шехтмана [8] 1986 года (тоже мотивированная квантовой тематикой) – была посвящена обобщению слабого порядка Брюа на симметрической группе S_n ; полученные упорядоченные множества $B(n, d)$ были названы высшими порядками Брюа. Несколько позже Воеводский и Капранов [9] дали интерпретацию этих порядков в терминах кубильяжей циклических зонотопов, частным (двумерным) случаем которых являются упомянутые выше ромбические тайлинги. Значительные продвижения в этом направлении были получены Циглером [10], Галашиным [11], и Галашиным и Постниковым [12] (см. также [13]).

Обо всем этом (включая наши собственные результаты) и предполагается рассказать в настоящей работе. Мы условно делим изложение на две тесно связанные части: геометрическую и комбинаторную (или теоретико-множественную). В первой рассказывается про зонотопы, кубические тайлинги (кубильяжи) зонотопов, вводятся разные полезные объекты в кубильяже: перегородки, тоннели, и т.п. Здесь же вводится основной рабочий инструмент – редукции и экспансии, незаменимые для проведения индуктивных рассуждений.

После введения этих общих понятий мы ограничиваем свое внимание исключительно случаем циклических (или – более правильно – вполне положительных) зонотопов $Z(n, d)$. Именно кубильяжи таких зонотопов связаны с высшими порядками Брюа Манина-Шехтмана. При работе внутри фиксированного кубильяжа важную роль играет структура естественного порядка \preceq на множестве его кубов. Когда же мы переходим к сравнению различных кубильяжей, тут на первый план выходит понятие флипа, некоторой локальной перестройки кубильяжа. Последнее проще всего объяснить на примере простейшего (после куба) зонотопа $Z(d + 1, d)$, т. н. капсида. У него есть всего два кубильяжа, и замена одного кубильяжа на другой и называется флипом. В общем случае флип – это замена ‘капсидного’ фрагмента кубильяжа другим (‘флипованным’) фрагментом. Главный факт о кубильяжах состоит в том, что с помощью флипов можно перейти от любого кубильяжа зонотопа $Z(n, d)$ к любому другому.

Другое важное понятие – понятие мембран, гиперповерхностей специального вида внутри зонона; мы показываем, что любую мембрану можно вписать в кубильяж.

Комбинаторная часть статьи связывает кубильяжи с системами подмножеств множества $[n] = \{1, 2, \dots, n\}$, индексирующего вектора, порождающие циклический зонотоп $Z(n, d)$. Имеется два способа сделать это. Первый рассматривает кубильяжи с точки зрения их *спектров*. Каждый кубильяж \mathcal{Q} зонотопа $Z(n, d)$ (d – это размерность зонотопа, тогда как n – число ‘направляющих’ векторов) задает систему $Sp(\mathcal{Q})$ подмножеств в $[n] = \{1, 2, \dots, n\}$, то есть подмножество в $2^{[n]}$. Сет-система $Sp(\mathcal{Q})$ однозначно определяет кубильяж \mathcal{Q} . Этот результат поднимает вопрос: какие сет-системы соответствуют кубильяжам, потому что ответ на него позволяет заменить геометрию комбинаторикой. Найденный Галашиным и Постниковым [12] ответ состоит в том, что такие сет-системы обладают т.н. свойством $(d - 1)$ -разделенности и при этом они максимальны по размеру (равному $\binom{n}{\leq d}$). Если максимальность по размеру можно заменить максимальной

по включению, то говорят о *чистоте* соответствующего отношения. Фундаментальное исследование вопросов чистоты было проведено в [12]. Однако чтение этой статьи затруднено тем, что авторы работали с произвольными (не обязательно циклическими) зонотопами, и даже с ориентированными матроидами, и потому использовали усложненную матроидную терминологию и технику. Мы же сознательно ограничиваемся циклическим случаем, что делает (на наш взгляд) изложение более простым и доступным. В случаях $d = 2$ и 3 свойство чистоты было доказано в [6] и [11], соответственно. В случае $d \geq 4$ ответ отрицателен; для этого мы подробно обсуждаем ситуацию в случае $n = d + 2$, а также переносим отсутствия чистоты на большие n и d .

Другой переход от геометрии к комбинаторике подсказывает отображение типов. С каждым кубом кубильяжа можно связать его *тип*, некоторое подмножество размера d в множестве $[n]$. И это задает отображение (биективное, как несложно показать) кубильяжа в множество $\binom{[n]}{d}$ подмножеств размера d в $[n]$. Пользуясь этой биекцией, можно перенести естественный порядок $\preceq_{\mathcal{Q}}$ с \mathcal{Q} на $\binom{[n]}{d}$. Оказывается, что перенесенный порядок тоже однозначно определяет кубильяж \mathcal{Q} . Тем самым можно вместо кубильяжей работать с классом т.н. *допустимых* порядков на ‘дискретном’ грассманиане $Gr([n], d) = \binom{[n]}{d}$. Так мы возвращаемся к истоку теории – определению высших порядков Брюа как допустимых порядков на грассманиане $\binom{[n]}{d}$. На геометрическом языке высший порядок Брюа $B(n, d)$ – это порядок на множестве $\mathbf{Q}(n, d)$ кубильяжей зонотопа $Z(n, d)$, или, эквивалентно, на множестве $\mathbf{M}(n, d)$ мембран в зонотопе $Z(n, d + 1)$.

Кубильяжи имеют многочисленные связи с другими объектами математического мира. Например, известна их связь с уравнениями Кадомцева-Петвиашвили, идущая пока в основном через триангуляции циклических политопов. Уже отмечалось, что происхождение теории было мотивировано уравнениями Замолотчикова. Кубильяжи дают также естественный пример поликатегорий. Кубильяжи и триангуляции связаны с представлениями колчанов и конечномерных алгебр, см., например, работу [24]. О некоторых таких ‘внешних’ связях кубильяжей мы рассказываем кратко в Дополнениях. Здесь мы уже, как правило, не приводим точные определения и результаты, указывая лишь общие контуры связи. Таких Дополнений четыре. Это связь с поликатегориями, связь с триангуляциями (и через них с уравнениями К-П), рассказ о слабых мембранах, обобщающих понятие мембран. Туда же мы отнесли и доказательство теоремы об ацикличности из основного текста.

ЧАСТЬ ПЕРВАЯ, ГЕОМЕТРИЧЕСКАЯ

Здесь излагаются основные геометрические понятия и факты про кубильяжи зонотопов. Комбинаторный (теоретико-множественный) взгляд будет дан во второй части. Мы стараемся иллюстрировать все на 2-мерных кубильяжах (ромбических тайлингах), иногда рисовать 3-мерные картины.

1 Зонотопы

Естественно начать с напоминаний про зонотопы¹ и введения терминов. Кубильяж – это, грубо говоря, правильное заполнение (разбиение) выпуклой фигуры ‘кубами’, а точнее говоря – параллеледромами.

Что же такое зонотоп? Фиксируем вещественное векторное пространство V (размерности $d > 0$) и некоторый конечный набор $\mathbf{V} = (v_1, \dots, v_n)$ из n векторов в нем. *Зонотопом* $Z = Z(\mathbf{V})$ (порожденным набором \mathbf{V}) называется сумма по Минковскому n отрезков $[0, v_i]$. Иначе говоря, Z состоит из точек z вида $\sum_i \alpha_i v_i$, где $0 \leq \alpha_i \leq 1$ для любого $i = 1, \dots, n$. Можно также сказать, что зонотоп – это проекция ‘единичного’ n -мерного куба, когда базисные вектора пространства \mathbb{R}^n отправляются в v_i . Это выпуклое тело, симметричное относительно точки (центра) $\sum v_i/2$.

Зонотопом мы называем и любой сдвиг зонотопа. Заменяя, если нужно, вектора v_i на $-v_i$, можно считать, что все они ‘смотрят в одну сторону’, если угодно – ‘вверх’ по отношению к некоторой ‘горизонтальной’ гиперплоскости. Такая замена меняет зонотоп на сдвинутый. Но зато теперь наш зонотоп имеет ‘нижнюю’ (корневую) вершину 0 и ‘верхнюю’ вершину $v_1 + \dots + v_n$.

Простейший пример зонотопа – это *куб* (точнее – параллеледр, но мы для краткости именуем его кубом). Это когда система v_1, \dots, v_n образует базис пространства V (в этом случае $n = d$). Далее мы будем заниматься заполнениями зонотопов кубами.

Довольно легко описать грани зонотопа (которые тоже зонотопы меньшей размерности; см. [5, гл. 7] о кодировке граней знаковыми векторами). Мы еще более облегчим эту задачу. Во первых, мы будем считать, что система \mathbf{V} находится в *общем положении*, то есть что $n \geq d$ и что любые d векторов из системы \mathbf{V} образуют базис пространства V . Далее это предположение всюду подразумевается, в основном по той причине, что мы будем заниматься кубильяжами Z . Во вторых, мы ограничимся описанием только фасет (граней коразмерности 1) зонотопа Z . Понятно, что фасеты такого ‘общего’ зонотопа будут кубами размерности $d - 1$.

Чтобы задать фасету, мы фиксируем произвольные $d - 1$ вектор w_1, \dots, w_{d-1} (подсистему \mathbf{W}) в нашей системе \mathbf{V} . Пусть $H_{\mathbf{W}}$ – гиперплоскость в V , натянутая на \mathbf{W} . Она делит оставшиеся точки-вектора $\mathbf{V} - \mathbf{W}$ на две части, скажем, \mathbf{V}_+ и \mathbf{V}_- . Это дает две (противоположные друг другу) фасеты зонотопа Z . Одна образована зонотопом-кубом $Z(\mathbf{W})$, укорененным в точке $\sum \mathbf{V}_+$, а другая – тем же зонотопом, но укорененным в точке $\sum \mathbf{V}_-$. И так получаются все фасеты. Отсюда видно, что

$$(1.1) \quad \text{‘общий’ зонотоп } Z \text{ имеет } 2\binom{n}{d-1} \text{ фасет.}$$

Тут неявно предполагалось, что $d > 1$; случай одномерного зонотопа несколько выпадает из общей картины по причине его тривиальности; это просто отрезок $[0, v_1 + \dots + v_n]$.

Стоит еще сказать о вершинах зонотопа и об их числе. Наверняка это хорошо известно, но нам не удалось найти хорошую ссылку. Поэтому приведем формулу,

¹Имеется большая литература про зонотопы, включая книги [16, 5].

а позже скажем о доказательстве.

$$(1.2) \text{ Число вершин } V(n, d) \text{ зонотопа } Z \text{ равно } 2\binom{n-1}{\leq(d-1)} = 2\left(\binom{n-1}{d-1} + \dots + \binom{n-1}{0}\right).$$

Другая полезная вещь – это взгляд на зонотоп вдоль некоторого направления. Пусть направление задается некоторым ненулевым вектором w в V и проектирует (отображением π_w) пространство V (и находящийся в нем зонотоп Z) на (фактор)пространство $V' = V/\mathbb{R}w$. Снова тут удобно считать, что этот вектор w находится в общем положении относительно системы \mathbf{V} . В этом случае каждая фасета F зонотопа Z инъективно проектируется в пространство V' . А весь зонотоп Z проектируется на зонотоп $Z' = \pi_w(Z) = Z(\pi_w(\mathbf{V}))$. При этом граница $\partial Z'$ (имеющая размерность $d-2$) является биективным образом некоторого (тоже $(d-2)$ -мерного) подкомплекса границы Z , который можно назвать *ободом* (относительно этой проекции π_w). Обод делит (нестрого) границу Z на две ‘полусферы’ – ‘верхнюю’ (мы представляем проекцию π_w как вертикальную, снизу вверх) и ‘нижнюю’.

Здесь удобно ввести терминологию видимых и невидимых фасет. Снова берем ‘общий’ вектор w (вдоль которого мы смотрим на зонотоп Z). Пусть F – фасета Z . Скажем, что эта фасета F *видимая* (в направлении w), если для (относительно внутренней) точки p этой фасеты точка $p - \varepsilon w$ не принадлежит Z (для малого или любого $\varepsilon > 0$); тогда для малого $\varepsilon > 0$ точка $p + \varepsilon w$ принадлежит Z . Иначе говоря, точка p первая в зонотопе при движении (из $-\infty$ в $+\infty$) по прямой $p + \mathbb{R}w$.

В этой терминологии видимые фасеты покрывают нижнюю полусферу зонотопа, а невидимые – верхнюю. Проекция верхней полусферы дает один кубильяж зонотопа Z' , а нижнего – другой, симметричный верхнему. Мы еще вернемся к этой теме в следующем разделе.

Можно проектировать не только вдоль ‘общих’ направлений, но и, скажем, вдоль направления вектора v_i , обозначая эту проекцию как π_i . Проекция при π_i зонотопа Z снова будет зонотопом $Z' = Z/v_i$, порожденным (в $V' = V/\mathbb{R}v_i$) образцами всех векторов v_1, \dots, v_n , кроме v_i . Однако теперь обод будет не $(d-2)$ -мерный, но $(d-1)$ -мерный (и называется он *зоной* или *поясом* зонотопа). Отметим также, что сам Z получается как сумма зонотопа $Z(\mathbf{V} - \{v_i\})$ и отрезка $Z(v_i) = [0, v_i]$.

После введения этих понятий можно обратиться к доказательству формулы (1.2). Зонотоп $Z = Z(\mathbf{V})$ представляется как сумма зонотопа $\tilde{Z} = Z(\mathbf{V} - \{v_n\})$ и отрезка $[0, v_n]$. При этом его вершины делятся на видимые и невидимые. Но видимые вершины (относительно направления v_n) зонотопа \tilde{Z} те же, что видимые вершины зонотопа Z ; аналогично для невидимых (точнее, видимых с противоположного направления). Единственная разница состоит в том, что в первом случае эти два множества не пересекаются, тогда как во втором – пересекаются, причем в точности по множеству вершин обода (зонотопа \tilde{Z} в направлении v_n). Отсюда мы получаем соотношение

$$V(n, d) = V(n-1, d) + V(n-1, d-1).$$

Учитывая правило Паскаля, остается только убедиться в справедливости формулы (1.2) в случаях $d=1$ и $d=n$. В первом случае правая часть равна $2\binom{n-1}{0} = 2$,

что согласуется с тем, что отрезок имеет две вершины. Во втором случае правая часть равна $2\binom{d-1}{\leq d-1} = 2(2^{d-1}) = 2^d$, что согласуется с тем, что d -мерный куб имеет 2^d вершин.

2 Кубильяжи

Кубильяж (или кубический, гиперромбический, параллелоэдральный тайлинг) – это правильное замощение (разбиение, paving, tiling) зонотопа (или другого многогранника) кубами. Точнее:

Кубильяж \mathcal{Q} зонотопа Z – это множество d -мерных кубов (см. выше) Q_1, \dots, Q_N (называемых плитками, тайлами или просто *кубами*), покрывающих Z , причем выполнены два условия:

- 1) два куба могут пересекаться только по общей грани;
- 2) фасеты зонотопа Z являются фасетами некоторых кубов из \mathcal{Q} .

Точнее, так определяется кубильяж для зонотопов размерности $d > 1$. Кубильяж одномерного зонотопа по определению состоит из n отрезков, конгруэнтных отрезкам $[0, v_i]$, $i = 1, \dots, n$.

Гранью кубильяжа считается грань некоторого куба из \mathcal{Q} .

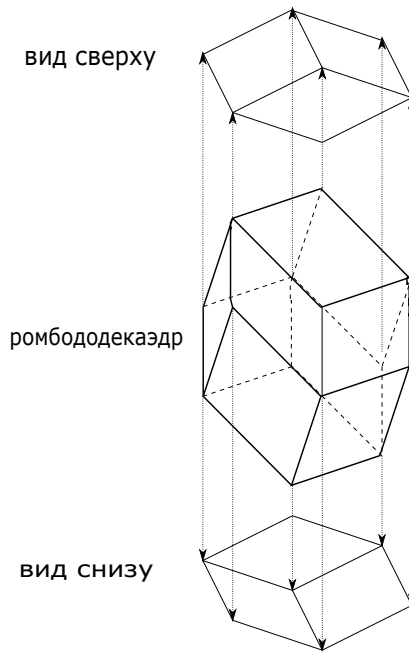


Рис. 1: Вид сверху и снизу на ромбододекаэдр

Пример. Пусть Z – зонотоп $Z(v_1, \dots, v_n)$, и мы проектируем его вдоль, скажем, направления v_n (обозначая проекцию как π , см. рис. 1). Тогда, как объяснялось в предыдущем разделе, проекция фасет видимой части границы Z дает кубильяж зонотопа $Z' = Z(\pi(v_1), \dots, \pi(v_{n-1}))$.

Часто на эту конструкцию смотрят в противоположном направлении, говоря, что система векторов $\mathbf{V} = \{v_1, \dots, v_n\}$ – это ‘одноэлементный лифтинг’ системы $\mathbf{V}' = \{\pi(v_1), \dots, \pi(v_{n-1})\}$ (с помощью вектора v_n). В такой терминологии одноэлементный лифтинг системы \mathbf{V}' дает кубильяж зонотопа $Z' = Z(\mathbf{V}')$. Знаменитая теорема Бонэ-Дресса (см. [16] или [5]) в каком-то смысле утверждает обратное. Мы не приводим точную формулировку, поскольку это лежит в стороне от наших целей.

Полезным для понимания является следующий простой факт, который часто просто включают в определение кубильяжа.

Лемма 1 Пусть Q – куб некоторого кубильяжа \mathcal{Q} зонотопа $Z = Z(\mathbf{V})$. Тогда любое ребро этого куба конгруэнтно некоторому отрезку $[0, v_i]$.

Доказательство. Можно считать, что $d > 1$. Пусть E – некоторое ребро куба Q . Если оно не лежит на границе зонотопа, вокруг него есть много кубов, ребра которых конгруэнтны E . Переходя от одного такого куба к другому, мы рано или поздно выйдем на границу зонотопа. А тогда все следует из свойства 2) определения кубильяжа. \square

В частности, любой куб Q кубильяжа конгруэнтен кубу-зонотопу $Z(\mathbf{W})$, где \mathbf{W} – d -элементное подмножество в \mathbf{V} . Множество индексов (или *цветов*; так мы понимаем элементы индексующего множества $[n] = \{1, \dots, n\}$) этого подмножества \mathbf{W} называется *типом* этого куба. Иными словами, тип куба Q – это подмножество $\{i_1, \dots, i_d\}$ в $[n]$, такое что куб Q есть сдвиг куба-зонотопа $Z(v_{i_1}, \dots, v_{i_d})$.

Аналогично понимается тип грани кубильяжа. В частности, тип ребра кубильяжа – одноэлементное подмножество $\{i\}$ в $[n]$. Мы ориентируем каждое ребро кубильяжа в направлении вектора v_i . Направленный путь из нижней вершины 0 в верхнюю вершину $v([n])$, идущий по ребрам кубильяжа, мы называем *змейкой*. Как мы увидим далее, в змейке ребро цвета i встречается ровно один раз. Если $c(i)$ – цвет i -го ребра-стрелки некоторой змейки, то мы получаем биекцию $[n]$ в $[n]$, то есть перестановку множества $[n]$. Эту перестановку можно понимать также как линейный порядок на $[n]$, в котором минимальным элементом является цвет первого ребра змейки.

Сопоставление кубу Q кубильяжа \mathcal{Q} его типа задает отображение $\tau = \tau_{\mathcal{Q}} : \mathcal{Q} \rightarrow \binom{[n]}{d}$ в множество d -элементных подмножеств \mathbf{V} .

Предложение 1 Отображение τ является биекцией. В частности, число кубов в любом кубильяже равно $\binom{n}{d}$.

Мы докажем это утверждение в следующем разделе. А пока приведем простое

Следствие. Число вершин любого кубильяжа равно $\binom{n}{\leq d}$.

В самом деле, выберем некоторое общее направление проектирования (‘смотрения’) w . Из формулы (1.2) видно, что для каждого куба Q кубильяжа все его вершины, кроме двух, лежат на ободке этого куба. И есть одна ‘внутренняя’ вершина на видимой половине границы Q и, аналогично, одна ‘внутренняя’ вершина

на невидимой половине. Обозначим эту последнюю, самую далекую от нас вершину куба как $h(Q)$. Легко понять, что отображение h (из \mathcal{Q} в множество вершин кубильяжа \mathcal{Q}) инъективно. А образ заметает все вершины, кроме вершин на видимой части $\partial_-(Z)$ границы Z . При проекции $\pi = \pi_w$ фасеты $\partial_-(Z)$ дают кубильяж зонотопа $Z' = Z(\pi(\mathbf{V}), d-1)$, у которого, по предположению индукции, $\binom{n}{d-1} + \dots + \binom{n}{1} + \binom{n}{0}$ вершин. \square

3 Перегородки

Пусть \mathcal{Q} – некоторый кубильяж зонотопа $Z = Z(\mathbf{V})$, где $\mathbf{V} = \{v_1, \dots, v_n\}$. В дальнейшем мы рассмотрим несколько интересных подмножеств в \mathcal{Q} – перегородки, тоннели, гирлянды, стэки, капсиды ... Начнем с перегородок.

Определение. *Перегородкой* цвета $i \in [n]$ в кубильяже \mathcal{Q} называется множество \mathcal{P}_i кубов кубильяжа \mathcal{Q} , которые содержат цвет i в своем типе. То есть

$$\mathcal{P}_i = \{Q \in \mathcal{Q}, i \in \tau(Q)\}.$$

(В некоторых работах перегородки называются также *сечениями де Брюйна*). *Телом перегородки* \mathcal{P}_i называется объединение кубов из \mathcal{P}_i ; это замкнутое подмножество в зонотопе $Z = Z(\mathbf{V})$, которое мы обозначаем как $|\mathcal{P}_i|$ (не путать с числом элементов множества \mathcal{P}_i , которое равно $\binom{n-1}{d-1}$). Тело перегородки \mathcal{P}_i выходит на границу зонотопа по зоне цвета i , см. раздел 1.

Основная теорема о перегородках. *Тело перегородки $|\mathcal{P}_i|$ устроено как произведение отрезка $[0, v_i]$ на некоторый диск, трансверсальный направлению v_i и биективно проектирующийся на зонотоп $Z' = \pi_i(Z)$ (где π_i – проекция вдоль вектора v_i , см. выше).*

Здесь для наглядности удобно считать вектор v_i направленным вертикально вверх. В каждом кубе P перегородки $\mathcal{P} = \mathcal{P}_i$ проведем ‘среднее сечение’ $M\mathcal{P}$ (среднее по вертикальному направлению). Все такие локальные сечения склеиваются в $(d-1)$ -мерный кубический комплекс $M\mathcal{P}$. Так как каждый куб P представляется как сумма по Минковскому сечения $M\mathcal{P}$ и трансверсального к нему вертикального отрезка $[-v_i/2, v_i/2]$, то и вся перегородка \mathcal{P} есть сумма (по Минковскому) $M\mathcal{P}$ и отрезка $[-v_i/2, v_i/2]$. Более точно, естественное отображение

$$M\mathcal{P} \times [-v_i/2, v_i/2] \rightarrow M\mathcal{P} + [-v_i/2, v_i/2] = |\mathcal{P}|$$

является биекцией (и гомеоморфизмом). Отсюда легко понять, что при (вертикальной) проекции сечение $M\mathcal{P}$ локально гомеоморфно проектируется на Z' . Так как зонотоп Z' стягиваем и, следовательно, односвязен, среднее сечение представляется как сумма нескольких копий Z' . На самом деле копия всего одна, что видно из того, что край этого комплекса $M\mathcal{P}$ образует ‘среднее сечение’ соответствующего обода (зоны цвета i) зонотопа Z . \square

Замечание. Перегородки (а еще лучше – их средние сечения) напоминают по своим свойствам гиперплоскости. Как и последние, они делят зонотоп на две области (до и после); кроме того, любые d перегородок пересекаются по единственному

кубу (а средние сечения – по единственной точке). Так что система всех перегородок выступает как некая замена арранжмента гиперплоскостей. Недаром вся эта теория у Манина и Шехтмана начиналась с аранжментов гиперплоскостей.

Проекция комплекса $M\mathcal{P}_i$ (или всей перегородки \mathcal{P}_i) дает кубильяж $\pi_i(\mathcal{P}_i)$ зонотопа $Z' = \pi_i(Z) = Z/v_i$. Этот кубильяж (размерности $d - 1$) зонотопа Z' можно обозначить как \mathcal{Q}/v_i . Вслед за Атанасиадисом [17] мы называем кубильяж \mathcal{Q}/v_i *сжатием (контракцией)* кубильяжа \mathcal{Q} в направлении v_i , или сжатием по цвету i . Отметим, что при сжатии размерность кубильяжа уменьшается на единицу, как и число цветов.

Первое следствие основной теоремы про перегородки – это уже упоминавшееся утверждение про змейки. Напомним, что *змейка* – это направленный путь по ребрам-стрелкам кубильяжа из нижней (корневой) вершины зонотопа в верхнюю. Так вот, *цвета ребер змейки биективны множеству $[n]$* . То есть каждый цвет $i \in [n]$ встречается и при том один раз как цвет ребра змейки. В самом деле, перегородка \mathcal{P}_i цвета i делит зонотоп на три части – ниже \mathcal{P}_i , само \mathcal{P}_i , и выше \mathcal{P}_i . Наша змейка (при движении от корня к верхушке) обязательно пересекает перегородку, так что обязательно содержит стрелку цвета i . Причем пересекает ровно один раз, потому что после пересечения перегородки змейка попадает в верхнюю часть зонотопа и уже не может ее покинуть (в перегородке все стрелки цвета i смотрят вверх).

Это следствие позволяет ввести важное понятие *спектра* (набора цветов) вершины кубильяжа, которое будет играть центральную роль в комбинаторной части. А именно, рассмотрим для вершины v кубильяжа путь из 0 в v , идущий вверх по стрелкам-ребрам кубильяжа. Очевидно, что такой путь существует, быть может, не один. Этот путь – начальный кусок некоторой змейки, поэтому цвета его ребер образуют подмножество в $[n]$. Это подмножество не зависит от выбора пути; мы обозначаем его $sp(v)$ и называем *спектром* вершины v . Независимость от выбора пути видна из другого описания $sp(v)$: цвет i входит в $sp(v)$ тогда и только тогда, когда перегородка \mathcal{P}_i проходит ниже вершины v (то есть отделяет v от корневой вершины 0). Заметим также, что $sp(v)$ не зависит и от кубильяжа \mathcal{Q} ; в самом деле,

$$v = \sum_{i \in sp(v)} v_i.$$

Наряду с перегородками можно рассмотреть в каком-то смысле дуальные объекты, называемые *тоннелями* в кубильяже \mathcal{Q} . Зафиксируем подмножество D в $[n]$ размера $d - 1$ и соберем вместе множество \mathcal{T}_D кубов, типы которых содержат D ('тоннель типа D '). У каждого куба Q из \mathcal{T}_D есть две фасеты типа D . Пусть F – такая фасета; тогда она либо фасета самого зонотопа Z , либо по этой фасете наш куб Q смежен другому кубу Q' , тоже из \mathcal{T}_D . Повторяя это с кубом Q' , мы получаем соседний куб Q'' и так далее, пока не дойдем до фасеты зонотопа Z . (Эта конструкция уже встречалась при доказательстве Леммы 1.) Таким образом, тоннель представляет набор нескольких 'толстых путей' (или циклов) внутри кубильяжа. На самом деле легко понять, что тоннель – это связная цепочка кубов, идущих от одной (видимой) части границы Z к другой, невидимой. Потому что

каждый тоннель типа D пересекает каждую перегородку \mathcal{P}_i (где $i \notin D$) ровно по одному кубу (типа Di). И состоит ровно из $n - d + 1$ куба.

Теперь обратимся к доказательству Предложения 1. Оно проводится индукцией по d ; при $d = 1$ утверждение тривиально. Пусть теперь $d > 1$. Возьмем некоторую d -шку $D \subset [n]$ и покажем, что существует, и при том ровно один, куб Q типа D в нашем кубильяже \mathcal{Q} . Для этого выберем один из цветов (скажем, i) в D и рассмотрим перегородку \mathcal{P}_i цвета i . Пусть $\pi_i : Z \rightarrow Z' = \pi_i(Z)$ – проекция вдоль вектора v_i . Как было сказано выше, проекция перегородки \mathcal{P}_i дает кубильяж $\pi_i(\mathcal{P}_i)$ зонотопа Z' . По индукции у него есть единственный куб Q' (размерности $d - 1$) типа $D - i$. Куб Q из перегородки \mathcal{P}_i , проектирующийся на Q' , имеет тип $(D - i) \cup \{i\} = D$. Это доказывает существование и единственность куба типа D . \square

Примерно так Шепард [4] получал формулу для числа кубов кубильяжа зонотопа (см. Предложение 1).

4 Редукции и экспансии

Продолжим получать следствия структуры перегородок. Снова временно (и для наглядности) мы считаем, что вектор v_i (произвольного цвета) идет вертикально вверх, так что мы смотрим на зонотоп Z снизу вверх. Перегородка $\mathcal{P} = \mathcal{P}_i$ делит Z на три части: собственно перегородку \mathcal{P} , то, что нестрого ниже \mathcal{P} (включая нижнюю границу \mathcal{P}), что мы обозначим Z_- , и верхнюю половину Z_+ .

Редукцией кубильяжа \mathcal{Q} называется кубильяж \mathcal{Q}_{-i} зонотопа $Z(\mathbf{V} - \{v_i\})$, полученный следующим образом: нижнюю часть Z_- мы оставляем на месте (вместе со всеми ее кубами), а верхнюю часть Z_+ сдвигаем вниз на вектор $-v_i$ (тоже вместе со всеми кубами). При этом перегородка \mathcal{P} исчезает, а лучше сказать – сжимается на свою нижнюю границу, превращаясь в то, что позже мы назовем мембраной. Эту мембрану $\mathcal{M} = Z_- \cap |\mathcal{P}_i|$ мы называем *шовом* (или рубцом), оставшимся после операции редукции. См. рис. 2.

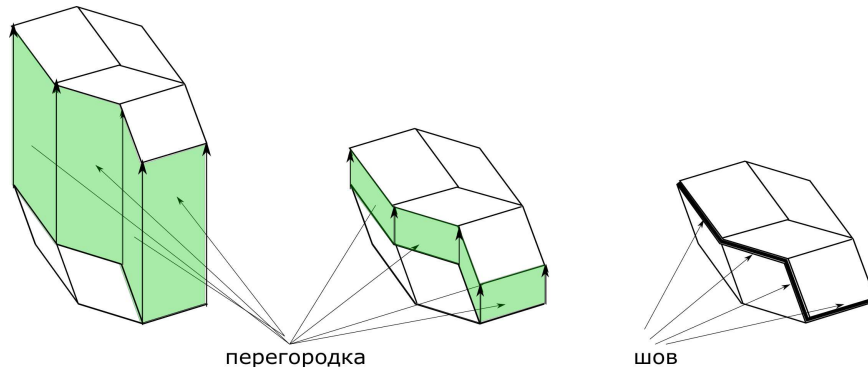


Рис. 2: Перегородка и ее постепенная редукция

Эта операция редукции обратима: если мы ‘раздвинем’ шов-мембрану \mathcal{M} с

помощью отрезка $[0, v_i]$ (отодвинув часть редуцированного кубильяжа, расположенную выше шва, на вектор v_i), мы вернемся к исходному кубильяжу \mathcal{Q} . Эту обратную операцию мы называем *экспансией*.

Вообще, если у нас есть кубильяж $\tilde{\mathcal{Q}}$ зонотопа $\tilde{Z} = Z(\mathbf{V} - \{v_i\})$ и в нем мембрана \mathcal{M} (то есть $(d-1)$ -мерный подкомплекс кубильяжа \mathcal{Q} , который биективно проектируется при ‘вертикальной проекции’ на $\tilde{Z}' = \pi(\tilde{Z})$), то мы можем ‘раздвинуть’ мембрану \mathcal{M} на вектор v_i и получить некоторый кубильяж \mathcal{Q} зонотопа Z . Эту операцию мы называем *экспансией мембраны \mathcal{M}* в кубильяже $\tilde{\mathcal{Q}}$ в направлении v_i .

Следствие. *Кубильяж зонотопа $Z(\mathbf{V})$ определяется множеством его вершин.*

Доказательство. Пусть \mathcal{Q} и \mathcal{R} – два кубильяжа зонотопа $Z(\mathbf{V})$ с одним и тем же множеством вершин. Выберем какой-то цвет, скажем, n , и произведем редукцию этого цвета в \mathcal{Q} и \mathcal{R} . В результате мы получим два новых кубильяжа \mathcal{Q}_{-n} и \mathcal{R}_{-n} (зонотопа $Z(\mathbf{V} - \{v_n\})$) и в каждом шов S и T . Шов S составлен из ‘слившихся’ вершин v и v' , таких что $sp(v') = sp(v) \cup \{n\}$; аналогично для шва T . Отсюда видно, что совпадают как эти два шва, так и множества вершин кубильяжей \mathcal{Q}_{-n} и \mathcal{R}_{-n} . По индукции мы получаем совпадение самих кубильяжей $\mathcal{Q}_{-n} = \mathcal{R}_{-n}$. А исходные кубильяжи \mathcal{Q} и \mathcal{R} получаются n -экспансией общего шва $S = T$, так что они тоже совпадают. \square

Раз уж речь зашла о вершинах кубильяжа, то возникает вопрос – *какие точки (или наборы точек) внутри зонотопа $Z = Z(\mathbf{V})$ могут быть вершинами некоторого кубильяжа этого зонотопа* (‘вписываются в кубильяж’)? Одно требование очевидно (см. выше определение спектра): такая точки должна иметь вид $v(S) = \sum_{i \in S} v_i$ для некоторого подмножества $S \subset [n]$. Точки такого вида мы называем *целыми*, и это требование всюду далее предполагается выполненным. Мы еще вернемся к этому вопросу во второй части работы, а пока приведем один простой результат в этом направлении. А именно, мы утверждаем, что любая отдельно взятая целая точка вписывается в некоторый кубильяж. На самом деле верно даже большее: *любой подзонотоп вписывается в некоторый кубильяж*. Более точно, множество вершин любого подзонотопа $T \subset Z$ вписывается в некоторый кубильяж зонотопа Z ; здесь предполагается, что T есть сдвиг на целую точку $v(S)$ зонотопа $Z(\mathbf{W})$, где $\mathbf{W} \subset \mathbf{V}$, и S не пересекается с множеством индексов \mathbf{W} .

Предложение 2 *Любой подзонотоп (и любой его кубильяж) T зонотопа $Z = Z(\mathbf{V})$ вписывается в некоторый кубильяж Z .*

Доказательство. Будем рассуждать индукцией по n (или по размеру $\mathbf{V}-\mathbf{W}$). Пусть $t(T)$ – ‘верхняя’ вершина подзонотопа T . Предположим сначала, что эта вершина отлична от верхней вершины всего зонотопа Z . В этом случае множество $sp(t(T))$ отлично от $[n]$; пусть i – произвольный цвет, не принадлежащий $sp(t(T))$. Тогда подзонотоп T лежит в зонотопе $Z' = Z(\mathbf{V} - \{i\})$, и по индуктивному предположению вписывается в некоторый кубильяж \mathcal{Q}' зонотопа $Z' = Z(\mathbf{V} - \{i\})$. Остается сделать экспансию по цвету i . См. рис. 3.

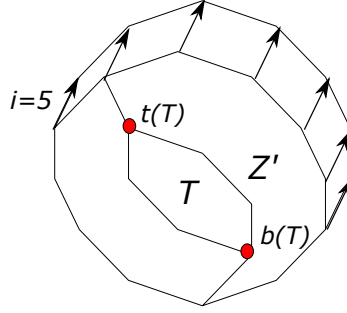


Рис. 3: подзонагон T в зонагоне $Z(7, 2)$

Таким образом, мы можем считать, что ‘верхние’ вершины у T и Z совпадают. Рассуждая симметрично, можно считать, что совпадают и ‘нижние’ (корневые) вершины. Но тогда T и Z совпадают, и утверждение тривиально верно. \square

Экспансию мембраны \mathcal{M} можно производить не только в направлении вектора v_i , но и в любом ‘близком’ направлении v'_i . Точнее, тут важна не близость, а только то, чтобы по отношению ко всем пластинкам (граням размерности $d-1$) мембраны \mathcal{M} вектора v_i и v'_i глядели в одну и ту же сторону. Раздвигая мембрану \mathcal{M} в направлении v'_i , мы получаем другой кубильяж другого зонотопа, но в каком-то смысле похожий, ‘подобный’ старому. Скажем об этом чуть подробнее.

Говоря о зонотопе $Z(\mathbf{V})$ и его кубильяжах, мы фиксировали векторную конфигурацию \mathbf{V} . Однако интуитивно ясно, что малые шевеления \mathbf{V} не играют роли в строении кубильяжей. Скажем точнее. Пусть у нас есть две векторные конфигурации $\mathbf{V} = \{v_1, \dots, v_n\}$ и $\mathbf{W} = \{w_1, \dots, w_n\}$ (в одном и том же d -мерном пространстве V и с одним и тем же числом векторов n). Скажем, что конфигурации \mathbf{V} и \mathbf{W} *подобны*, если для любого подмножества $B \subset [n]$ размера d определители $\det(v_B)$ и $\det(w_B)$ имеют один и тот же знак (или что соответствующие базисы v_B и w_B имеют одну и ту же ориентацию).

Если конфигурации \mathbf{V} и \mathbf{W} подобны, то для любого кубильяжа \mathcal{Q} зонотопа $Z(\mathbf{V})$ естественно строится ‘подобный’ кубильяж \mathcal{Q}' зонотопа $Z(\mathbf{W})$, который комбинаторно устроен так же, как \mathcal{Q} . А именно, пусть Q - куб кубильяжа \mathcal{Q} ; у него есть корневая вершина v и тип $\tau(Q) \subset [n]$. Из начальной вершины 0 зонотопа $Z(\mathbf{V})$ в вершину v ведет путь P по стрелкам кубильяжа $Z(\mathbf{V})$. Проведем соответствующий путь P' в $Z(\mathbf{W})$ и конец его v' объявим образом вершины v . Ясно, что это построение не зависит от выбора пути P . Образ куба Q - это куб того же типа, что и Q , растущий из вершины v' . Так мы получаем новое множество \mathcal{Q}' кубов в $Z(\mathbf{W})$, и нужно лишь убедиться, что эти кубы не налезают друг на друга. А это достаточно проверить для соседних кубов. То есть если кубы Q и R кубильяжа \mathcal{Q} соседние (по общей фасете F), то их образы Q' и R' (которые, очевидно, имеют общую фасету F') лежат по разные стороны от F' .

Пусть фасета F (то есть куб размерности $d-1$) имеет тип $\tau(F)$. Кубы Q и R получаются добавлением к векторам $v_{\tau(F)}$ каких-то векторов v_i и v_j . Так как они лежат по разные стороны от F , то ориентации базисов $v_{\tau(F)i}$ и $v_{\tau(F)j}$ противоположны. Но тогда и ориентации базисов $w_{\tau(F)i}$ и $w_{\tau(F)j}$ противоположны,

что и означает, что кубы Q' и R' лежат по разные стороны от F' .

Это показывает, что строение (и разнообразие) кубильяжей зонотопа $Z(\mathbf{V})$ зависит только от ориентированного матроида, порожденного векторной конфигурацией \mathbf{V} . Мы будем активно пользоваться этим простым замечанием при рассмотрении вполне положительных конфигураций.

5 Циклические (вполне положительные) векторные конфигурации

До сих пор конфигурации \mathbf{V} векторов в пространстве V были, фактически, произвольными (если не считать требования общего положения). Начиная с этого места мы ограничиваемся более специальными конфигурациями, которые обычно называются циклическими или вполне положительными. Здесь и далее мы будем считать, что $V = \mathbb{R}^d$ (с базисом e_1, \dots, e_d); кроме того, теперь важную роль будет играть порядок индексации векторов v_i (то есть, мы снабжаем множество индексов-цветов $[n]$ естественным порядком $1 < 2 < \dots < n$).

Определение. Конфигурация векторов $\mathbf{V} = (v_1, \dots, v_n)$ называется *вполне положительной* (или, не очень удачно, но более коротко, *циклической*), если для любой (возрастающей) d -шки $i_1 < i_2 < \dots < i_d$ из $[n]$ определитель матрицы $\text{Mat}(v_{i_1}, \dots, v_{i_d})$, составленной из столбцов-векторов v_{i_j} , положителен.

Циклические конфигурации подобны между собой и определяются двумя числами d и $n \geq d$. По этой причине циклический зонотоп $Z(\mathbf{V})$ обозначается далее просто как $Z(n, d)$, а множество его кубильяжей – как $\mathbf{Q}(n, d)$.

Удобный представитель такой конфигурации получается следующим образом. Отобразим прямую \mathbb{R} в \mathbb{R}^d с помощью отображения $\mathbf{v}_d, \mathbf{v}_d(t) = (1, t, t^2, \dots, t^{d-1})$. (Когда d ясно из контекста, мы опускаем индекс d и говорим просто про \mathbf{v} . Образ прямой \mathbb{R} при таком отображении называют *кривой Веронезе* или *кривой моментов*.) Если мы теперь возьмем конечное подмножество $\{t_1 < \dots < t_n\}$ в \mathbb{R} , мы получаем (индексированную множеством $[n]$) векторную конфигурацию \mathbf{V} , состоящую из векторов $v_i = \mathbf{v}(t_i)$, $i = 1, \dots, n$. Такая конфигурация вполне положительна, что видно из формулы для определителей Вандермонда.

Отметим два важных для дальнейшего свойства циклических конфигураций. Если мы выбрасываем какой-то элемент k из $[n]$, конфигурация остается циклической. Так что мы можем говорить о проекциях $\pi_k : Z(n, d) \rightarrow Z([n] - \{k\}, d)$ и соответствующих редукциях кубильяжей (см. выше). И второе (применимое к конфигурациям Веронезе): если мы рассмотрим каноническую проекцию π пространства \mathbb{R}^d на \mathbb{R}^{d-1} (проекция вдоль последнего базисного вектора e_d , или забывание d -ой координаты), то циклическая конфигурация переходит в циклическую. В частности, мы получаем проекцию $\pi : Z(n, d) \rightarrow Z(n, d-1)$, полезную для проведения индукции по d . Заметим еще, что эту проекцию π (вдоль d -ой координатной оси) можно понимать как проекцию вдоль направления $\mathbf{v}(+\infty)$, потому что направление вектора $\mathbf{v}(t)$ при большом t стремится к направлению вектора e_d . Неформальная же причина интереса циклических конфигураций объясняется

тем, что кубильяжи циклических зонотопов тесно связаны с высшими порядками Манина-Шехтмана, о чем мы будем говорить в комбинаторной части работы.

Мы уже говорили про редукцию цветов для общих зонотопов. В случае циклических зонотопов особо важную роль играет редукция старшего цвета n . Дело в том, что шов, остающийся после такой редукции, является мембраной относительно проекции π вдоль d -й координатной оси. Расскажем более обстоятельно об этом в следующем разделе.

6 Мембраны

Определение. Пусть \mathcal{Q} - кубильяж (циклического) зонотопа $Z = Z(n, k)$. Мембраной этого кубильяжа, или мембраной, вписанной в кубильяж \mathcal{Q} , называется $(d - 1)$ -мерный подкомплекс \mathcal{M} в \mathcal{Q} , который биективно проектируется на зонотоп $Z(n, d - 1)$ (при проекции π вдоль последней d -ой координаты).

Множество мембран кубильяжа \mathcal{Q} обозначается как $\mathbf{M}(\mathcal{Q})$.

Так что мембрана – это некоторая $(d - 1)$ -мерная пленка в Z (идущая по граням кубильяжа \mathcal{Q}), гомеоморфная $(d - 1)$ -мерному диску, край которого – в точности обод зонотопа Z относительно проекции π . Мембрана делит зонотоп на две части: нестрого до мембраны ($Z_-(\mathcal{M})$) и нестрого после нее ($Z_+(\mathcal{M})$). Проекция клеток мембраны \mathcal{M} (ее $(d - 1)$ -мерных кубов, называемых *пластинами*) дает при этом кубильяж зонотопа $Z' = Z(n, d - 1) = \pi(Z)$, который мы обозначаем $\pi(\mathcal{M})$.

Априори не ясно, существуют ли мембраны вообще и много ли их. Позже мы увидим, что их достаточно много. А пока приведем пример двух универсальных мембран.

Пример 1. Мы уже говорили про это в разделе 2; давайте вернемся применительно к циклической ситуации. Рассмотрим видимую (в направлении d -ой координаты) часть границы Z , $\partial_- Z$. Очевидно, это мембрана (любого кубильяжа зонотопа Z); ее проекция $\pi(\partial_- Z)$ дает кубильяж зонотопа Z' , который мы называем *стандартным* (так именовались соответствующие ромбические тайлинги двумерного зонотона в [7]). Невидимая часть границы $\partial_+ Z$ дает *анти-стандартный* кубильяж зонотопа Z' .

Универсальный способ получения мембран дает редукция старшего цвета. Пусть \mathcal{Q} – кубильяж зонотопа $Z = Z(n, d)$. И пусть $\tilde{\mathcal{Q}} = \mathcal{Q}_{-n}$ – кубильяж зонотопа $\tilde{Z} = Z(n - 1, d)$, полученный редукцией цвета n . Тогда шов \mathcal{S} от этой редукции является мембраной. В самом деле, замена вектора v_n на d -й базисный вектор $e_d = (0, \dots, 0, 1)$ в \mathbb{R}^d приводит к подобной векторной конфигурации. Поэтому (см. раздел 4) можно произвести экспансию шва \mathcal{S} в направлении e_d и получить кубильяж \mathcal{Q}' , подобный \mathcal{Q} . А это значит (см. основную теорему из раздела 3), что шов \mathcal{S} биективно проектируется на зонотоп $\pi(Z) = Z(n, d - 1)$.

Напротив, имея мембрану \mathcal{M} в кубильяже $\tilde{\mathcal{Q}}$ зонотопа $\tilde{Z} = Z(n - 1, d)$, мы можем экспансировать эту мембрану в направлении нового вектора $v_n = \mathbf{v}(t_n)$, где $t_n > t_{n-1}$. Дело в том, что направление, задаваемое вектором v_n , также трансверсально мембране \mathcal{M} (как и направление $\mathbf{v}(+\infty)$). Мы говорили об этом в разделе

4 про подобные конфигурации. В результате получаем новый кубильяж \mathcal{Q} зонотопа $Z = Z(n, d)$. ‘Раздвинутая’ мембрана $\mathcal{M} + [0, v_n]$ становится перегородкой старшего цвета n в \mathcal{Q} . Редуцируя по этому цвету, мы возвращаемся к исходному кубильяжу $\tilde{\mathcal{Q}}$.

Таким образом, пара $(\tilde{\mathcal{Q}}, \mathcal{M})$, где $\tilde{\mathcal{Q}}$ – кубильяж зонотопа $\tilde{Z} = Z(n - 1, d)$, а \mathcal{M} – мембрана в $\tilde{\mathcal{Q}}$, определяет кубильяж \mathcal{Q} зонотопа $Z = Z(n, d)$. И на этом пути получают все кубильяжи зонотопа Z . В самом деле, пусть \mathcal{Q} – произвольный кубильяж Z . Возьмем в нем перегородку \mathcal{P} цвета n и редуцируем ее. Шов \mathcal{S} от этой редукции, как уже говорилось, является мембраной для редуцированного кубильяжа $\tilde{\mathcal{Q}} = \mathcal{Q}_{-n}$ редуцированного зонотопа $Z(n - 1, d)$. Экпансия этой мембраны \mathcal{S} возвращает нас к исходному кубильяжу \mathcal{Q} .

Итог этого обсуждения можно подвести следующим утверждением.

Предложение 3 *Задать кубильяж зонотопа $Z(n, d)$ – то же самое, что задать пару $(\tilde{\mathcal{Q}}, \mathcal{M})$, где $\tilde{\mathcal{Q}}$ – кубильяж зонотопа $Z(n - 1, d)$, а \mathcal{M} – мембрана для $\tilde{\mathcal{Q}}$.*

Или чуть иначе: существует естественное сюръективное отображение $\mathbf{Q}(n, d) \rightarrow \mathbf{Q}(n - 1, d)$; слой его над любой точкой $\mathcal{Q} \in \mathbf{Q}(n - 1, d)$ совпадает с множеством $\mathbf{M}(\mathcal{Q})$ мембран для \mathcal{Q} .

Пример 2. Стандартный кубильяж зонотопа $Z(n, d)$ получается из стандартного же кубильяжа зонотопа $Z' = Z(n - 1, d)$ с помощью ‘задней’ мембраны $\partial_+(Z')$ (невидимой части границы Z'). См. рис. 7, где $d = 2$.

В самом деле, мы определяли стандартный кубильяж зонотопа $Z(n, d)$ как образ ‘передней’ (видимой) мембраны $\partial_- Z(n, d + 1)$ зонотопа $Z(n, d + 1)$. Но как выглядит последняя? Зонотоп $Z(n, d + 1)$ получается из зонотопа $Z(n - 1, d + 1)$ прибавлением отрезка $[0, \mathbf{v}_{d+1}(n)]$. Соответственно, его видимая граница состоит из видимой границы ∂_- зонотопа $Z(n - 1, d + 1)$ плюс фасеты вида $F + [0, \mathbf{v}_{d+1}(n)]$, где F пробегает множество невидимых (в направлении координаты d) фасет этой видимой границы ∂_- . При проекции вдоль координаты $d + 1$ первая половина превращается в стандартный кубильяж зонотопа $Z' = Z(n - 1, d)$, а фасеты F – в невидимые фасеты этого зонотопа Z' , образуя в совокупности невидимую часть границы зонотопа Z' . Поэтому вторая половина проектируется в точности на экспансию (по цвету n) задней (невидимой) мембраны зонотопа Z' .

Аналогично, антистандартный кубильяж получается экспансией по цвету n передней (видимой) мембраны $\partial_- Z'$ антистандартного кубильяжа зонотопа $Z' = Z(n - 1, d)$.

7 Кубы и флопы

Рассмотрим более обстоятельно случай куба, зонотопа $C = Z(d, d)$. У него есть всего две мембраны – видимая (передняя) $\partial_- C$ и невидимая (задняя) $\partial_+ C$, которые при проекции π дают стандартный и антистандартный кубильяжи зонотопа $Z(d, d - 1)$. Из подсчета числа вершин обода (см. (1.2)) видно, что на передней

мембране имеется ровно одна ‘внутренняя’ вершина t (назовем ее *хвостом*), как и на задней одна ‘внутренняя’ вершина h (назовем ее *головой*).

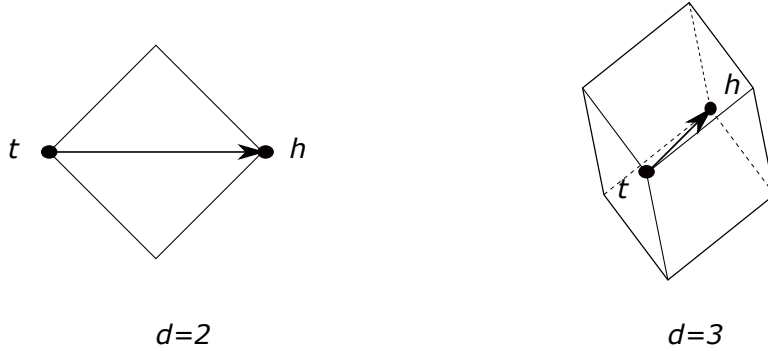


Рис. 4: Хвост и голова

Скажем более конкретно о спектрах этих вершин. Для этого вернемся к разделу 1, где описывались фасеты зонотопа. Аналогично можно поступить и здесь, для описания вершин t и h . Напомним, что вектора v_1, \dots, v_d задавались числами $t_1 < \dots < t_d$ и мы полагали $v_i = \mathbf{v}(t_i)$. Возьмем некоторые перемежающиеся их числа s_1, \dots, s_{d-1} , так что $t_1 < s_1 < t_2 < \dots < t_{d-1} < s_{d-1} < t_d$. И в качестве линейного функционала на пространстве \mathbb{R}^d возьмем $\det(\mathbf{v}(s_1), \dots, \mathbf{v}(s_{d-1}), \bullet)$. Заметим, что этот функционал положителен на векторах v_d и e_d . Он положителен также на векторах v_i , когда i имеет ту же четность, что и d , и отрицателен на векторах v_i , когда i имеет противоположную с d четность. Отсюда видно, что головная вершина h есть сумма векторов v_i , таких что $d - i$ четно, тогда как хвостовая вершина t есть сумма векторов v_i , таких что $d - i$ нечетно. Так что $sp(h) = \{d, d-2, \dots\}$, тогда как $sp(t) = \{d-1, d-3, \dots\}$. Например, в случае $d = 3$ (см. рис. 4) $sp(t) = 2$, $sp(h) = 13$ (как и далее, 13 обозначает множество $\{1, 3\}$). Очевидно, что в объединении эти множества-спектры дают все $[d]$.

Стрелку, идущую из хвоста t в голову h , будем называть *хордой* куба C . В случае четного d хорда идет горизонтально, тогда как в при нечетном d она поднимается на 1 при каждом шаге, как видно из рис. 4. Здесь впервые начинает проявляться небольшое различие между четными и нечетными d .

После рассмотрения изолированного куба обратимся к общей ситуации. Пусть \mathcal{Q} – кубильяж зонотопа $Z = Z(n, d)$, и Q – некоторый куб этого кубильяжа с хвостом t_Q , головой h_Q и хордой $t_Q \rightarrow h_Q$. Если мы проделаем это с каждым кубом кубильяжа, то эти хорды дадут структуру направленного графа на множестве вершин кубильяжа \mathcal{Q} . Этот граф состоит из путей-нитей, соединяющих (внутренние) вершины передней мембраны $\partial_- Z$ с (внутренними же) вершинами задней мембраны $\partial_+ Z$. Каждый куб оказывается ‘нанизанным’ на свою хорду, а кубы, нанизанные на пути, выглядят как ‘гирлянды’. Считая, что вершины обода соединены сами с собой путем длины 0, мы получаем интересную (и слабо изученную) ‘гирляндную’ биекцию множества вершин передней мембраны в множество вершин задней мембраны зонотопа Z .

Разумеется, можно не ограничиваться только граничными мембранами. Если

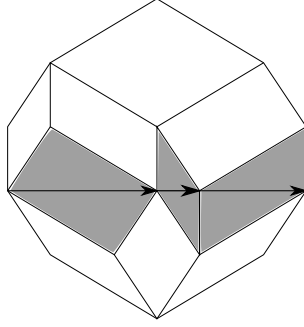


Рис. 5: Гирлянда в зонотоне $Z(5, 2)$

\mathcal{M} и \mathcal{M}' – две произвольные мембраны (одного и того же кубильяжа), то каждая гирлянда ‘протыкает’ каждую из мембран ровно один раз. Тем самым мы получаем ‘гирляндную’ биекцию между множеством вершин \mathcal{M} и множеством вершин \mathcal{M}' . Это лишний раз показывает, что число вершин у каждой мембраны такое же, как у стандартной. На самом деле мы получаем даже больше: при четном d у всех мембран зонотопа $Z(n, d)$ на каждой высоте одно и то же число вершин. Или: при нечетном d у любого кубильяжа зонотопа $Z(n, d)$ число вершин на каждом этаже одно и то же.

Пример. Проиллюстрируем гирляндную биекцию на примере стандартного кубильяжа занотопа $Z(4, 3)$. Как уже говорилось в предыдущем разделе, такой кубильяж получается из куба $C = Z(3, 3)$ экспансией по цвету 4 задней стороны этого куба. Задняя сторона $\partial_+ C$ состоит из трех пластинок-ромбов, так что стандартный кубильяж $Z(4, 3)$ состоит из четырех кубов: исходного C и трех ‘экспансированных’ из этих пластинок. Мы изобразили все это на рис. 5, где для наглядности вынули и слегка отодвинули первый куб C .

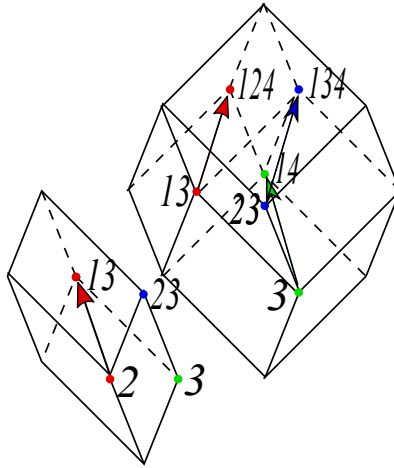


Рис. 6: Гирляндное отображение для стандартного кубильяжа зонотопа $Z(4, 3)$

Передняя сторона (или мембрана) зонотопа $Z(4, 3)$ содержит, кроме перифе-

рийных (лежащих на ободке), три вершины со спектрами 2,3 и 23. Так как гирляндное отображение γ_S тривиально действует на ободке, нам нужно понять – куда при отображении γ_S переходят эти три вершины 2, 3 и 23. Глядя на рисунок, мы видим, что 2 переходит сначала в точку 13, которая затем переходит в точку 124. Точка 3 переходит в 14, а точка 23 – в 134. Окончательно,

$$\gamma_S : \begin{cases} 2 \mapsto 124 \\ 3 \mapsto 14 \\ 23 \mapsto 134 \end{cases} .$$

Действуя аналогично, можно убедиться, что гирляндное отображение γ_A (для антистандартного кубильяжа $Z(4, 3)$) устроено так:

$$\gamma_A : \begin{cases} 2 \mapsto 14 \\ 3 \mapsto 134 \\ 23 \mapsto 124 \end{cases} .$$

Последнее, впрочем, можно увидеть и из следующего общего соображения. Произвольный зонотоп Z симметричен относительно своего центра. Если обозначить эту симметрию как α , мы для любого кубильяжа \mathcal{Q} можем рассмотреть симметричный ему кубильяж $\alpha\mathcal{Q}$ того же зонотопа Z . При этом стандартный кубильяж переходит в антистандартный, и наоборот. Пусть S обозначает вершины зонотопа на передней стороне Z , а A – вершины на задней стороне. Инволюция α осуществляет биекцию S на A ; подмножество X переходит в свое дополнение $[n] - X$.

Предложение 4 *Если $\gamma_{\mathcal{Q}} : S \rightarrow A$ – гирляндная биекция, связанная с кубильяжем \mathcal{Q} , то $\gamma_{\alpha\mathcal{Q}} = \alpha^{-1}\gamma_{\mathcal{Q}}\alpha$.*

Доказательство. При инволюции α каждая хорда куба Q переходит в противоположно направленную хорду куба αQ . \square

Пусть M – мембрана в некотором кубильяже \mathcal{Q} . Представим, что некоторый куб Q кубильяжа \mathcal{Q} касается мембраны всей своей видимой границей $\partial_- Q$. (Ниже мы увидим, что такая ситуация не исключительна и встречается постоянно.) В этом случае можно образовать новую мембрану M' , которая всюду совпадает с M , за исключением того, что этот фрагмент $\partial_- Q$ заменяется новым фрагментом $\partial_+ Q$. Иначе говоря, если мембрана M обходила куб C спереди, то теперь она обходит его сзади. Мы говорим, что мембрана M' получена из M с помощью *повышающего флота* (а M получена из M' *понижающим флотом*).

Это можно выразить чуть иначе. Пусть $\mathcal{Q}_-(M)$ обозначает набор кубов кубильяжа \mathcal{Q} , которые расположены до мембраны M . Тогда $\mathcal{Q}_-(M')$ получается добавлением к $\mathcal{Q}_-(M)$ ровно одного куба Q . Так что при повышающих флотах мембрана движется ‘от нас’, захватывая по очереди по одному кубу кубильяжа, пока не дойдет до ‘задней’ границы зонотопа.

8 Капсиды и флипы

После обстоятельного рассмотрения куба естественно перейти к следующему по сложности случаю зонотопа $Z = Z(d + 1, d)$. Такой зонотоп (или подзонотоп в большем зонотопе $Z(n, d)$) будем для краткости называть *капсидом*².

Капсид представляется как проекция $(d + 1)$ -мерного куба $\widehat{Z} = Z(d + 1, d + 1)$. Проекция передней мембраны этого куба дает стандартный кубильяж капсида Z . А проекция ‘хвоста’ $t_{\widehat{Z}}$ дает единственную ‘центральную’ (не лежащую на ободе) вершину стандартного кубильяжа, которую мы обозначим как c^{st} . Ее спектр $sp(c^{st}) = \{d, d - 2, \dots\}$. Эта вершина со всех сторон окружена кубами стандартного кубильяжа капсида и является вершиной каждого куба этого кубильяжа. Симметрично невидимая мембрана содержит ‘центральную’ вершину c^{an} антистандартного кубильяжа капсида со спектром $\{d + 1, d - 1, \dots\}$. Например, при $d = 2$ $sp(c^{st}) = 2$, $sp(c^{an}) = 13$; при $d = 3$ $sp(c^{st}) = 13$, $sp(c^{an}) = 24$.

В силу Следствия из Раздела 4 мы получаем, что капсид имеет только два кубильяжа, описанных выше. Подведем итог:

Предложение 5 *Капсид $Z(d + 1, d)$ допускает всего два кубильяжа - стандартный и антистандартный. Стандартный кубильяж характеризуется тем, что кроме вершин обода содержит вершину c^{st} со спектром $\{d, d - 2, \dots\}$. Симметрично, антистандартный кубильяж характеризуется тем, что кроме вершин обода содержит вершину c^{an} со спектром $\{d + 1, d - 1, \dots\}$. \square*

Утверждение про два кубильяжа капсида можно получить также из Предложения 3. Последнее говорит, что задать кубильяж капсида $Z(d + 1, d)$ – это то же самое, что задать мембрану в кубе $C = Z(d, d)$. Но у куба есть всего две мембраны: видимая часть границы $\partial_- C$ и невидимая часть границы $\partial_+ C$. Соответственно, у капсида $Z(d + 1, d)$ есть два кубильяжа. Один получается $(d + 1)$ -экспансией задней мембраны $\partial_+ C$; это стандартный кубильяж. Другой (антистандартный) получается путем экспансии передней мембраны $\partial_- C$. См. рис. 7.

Предположим теперь, что у нас имеется некоторый кубильяж \mathcal{Q} произвольного зонотопа $Z(n, d)$, а в нем фрагмент вида $Z(d + 1, d)$ (то есть граница этого капсида является подкомплексом комплекса \mathcal{Q}). Ограничение кубильяжа \mathcal{Q} на этот капсид $Z(d + 1, d)$ является стандартным или антистандартным кубильяжем. Замена кубильяжа этого фрагмента противоположным кубильяжем называется *флипом* (*повышающим*, когда стандартный фрагмент заменяется антистандартным, и *понижающим* в противном случае). Флип меняет кубильяж \mathcal{Q} на некоторый новый кубильяж \mathcal{Q}' , отличающийся от \mathcal{Q} лишь локально, внутри капсида.

Связь флипов с флопами, рассмотренными в предыдущем разделе, очевидна. Предположим: что кубильяж \mathcal{Q} зонотопа $Z(n, d)$ получен как проекция мембраны \mathcal{M} в кубильяже $\widehat{\mathcal{Q}}$ "большого" зонотопа $\widehat{Z} = Z(n, d + 1)$. И мы делаем (скажем, повышающий) флип с этой мембраной, заменяя ее мембраной \mathcal{M}' . Тогда проекция \mathcal{Q}' новой мембраны \mathcal{M}' получается применением (повышающего) флипа к кубильяжу \mathcal{Q} .

²Термин взят из вирусологии. Так называется белковая оболочка вируса, обычно полиэдральная (типа ромбододекаэдра, то есть $Z(5, 3)$).

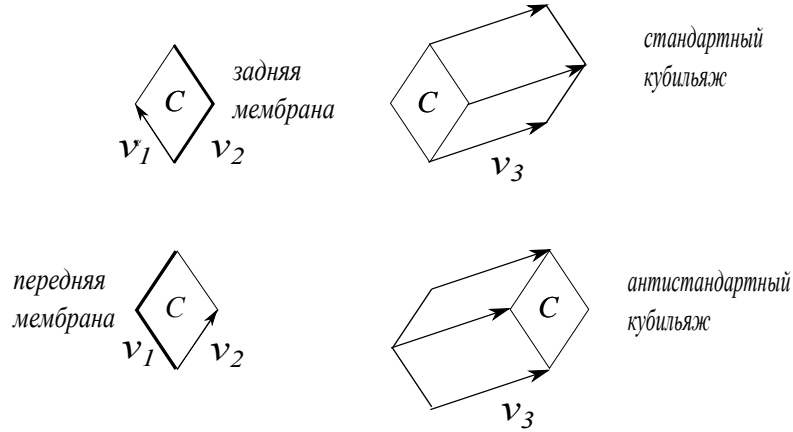


Рис. 7: экспансия мембран куба

Как мы увидим ниже, флипов много, хотя бы в том смысле, что от любого кубильяжа \mathcal{Q} можно добраться до стандартного кубильяжа \mathcal{Q}_{st} с помощью понижающих флипов. Однако независимо от этого факта можно ввести понятие *порядка* на множестве $\mathbf{Q}(n, d)$. А именно, $\mathcal{Q} \leq \mathcal{Q}'$, если от кубильяжа \mathcal{Q} до кубильяжа \mathcal{Q}' можно добраться серией повышающих флипов. Чтобы показать, что флипов ‘много’, полезно ввести важное понятие естественного порядка на множестве кубов произвольного кубильяжа.

9 Порядок кубов в кубильяже

Пусть \mathcal{Q} – кубильяж (циклического) зонотопа $Z(n, d) \subset \mathbb{R}^d$. Оказывается, можно частично упорядочить некоторым естественным образом кубы этого кубильяжа. Говоря грубо – по росту d -й координаты. Но более правильно – по тому, располагается ли один куб за другим при рассмотрении в направлении d -й координаты.

Пусть Q – некоторый куб кубильяжа \mathcal{Q} , и F – его фасета. Скажем, что фасета F куба Q *видимая* (или освещенная), если существует прямая (в \mathbb{R}^d), параллельная координатному вектору e_d , которая сначала пересекает F и лишь после этого входит в куб Q . Противоположная (к F в Q) фасета называется *невидимой* или затененной. Очевидно, что из $2d$ фасет куба половина видимые, а половина затененные.

Пусть теперь Q и Q' – два куба кубильяжа \mathcal{Q} . Скажем, что куб Q *непосредственно предшествует* кубу Q' (и пишем $Q \prec Q'$), если Q и Q' соседние по фасете F , которая невидима для Q и видима для Q' . Так на \mathcal{Q} возникает бинарное отношение \prec (или $\prec_{\mathcal{Q}}$, если быть точнее).

Рисунок 8 подсказывает следующее обобщение:

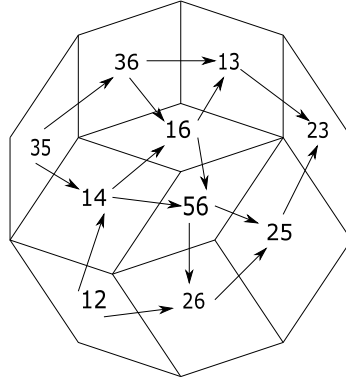


Рис. 8: Отношение \prec на кубильяже зонотона $Z(5, 2)$.

Предложение 6 *Отношение \prec ациклично.*

Это утверждение, как и следующая Лемма о реверсе доказываются в Дополнении 4. Лемма относится к следующей ситуации. Пусть $\mathcal{P} = \mathcal{P}_n$ - перегородка старшего цвета n в кубильяже \mathcal{Q} зонотопа $Z = Z(n, d)$. Редукция этой перегородки дает кубильяж $\tilde{\mathcal{Q}}$ зонотопа $\tilde{Z} = Z(n-1, d)$ и шов-мембрану \mathcal{M} в $\tilde{\mathcal{Q}}$. Проектируя \mathcal{M} вдоль d -ой координатной оси e_d , мы получаем кубильяж $\mathcal{Q}' = \pi(\mathcal{M})$ зонотопа $Z' = Z(n, d-1)$.

Пусть теперь Q и R – два куба из перегородки \mathcal{P} , связанные отношением непосредственного предшествования, $R \prec Q$. При редукции кубы Q и R превращаются в пластинки-фасеты $\gamma(Q)$ и $\gamma(R)$ мембраны \mathcal{M} ; их образы при проекции π дают кубы Q' и R' кубильяжа \mathcal{Q}' . Очевидно, что Q' и R' тоже соседние в кубильяже \mathcal{Q}' , и мы можем сравнить их отношением непосредственного предшествования \prec' в кубильяже \mathcal{Q}' .

Лемма 2 (о реверсе). *Если кубы R и Q лежат в перегородке \mathcal{P} и $R \prec Q$, то $Q' \prec' R'$.*

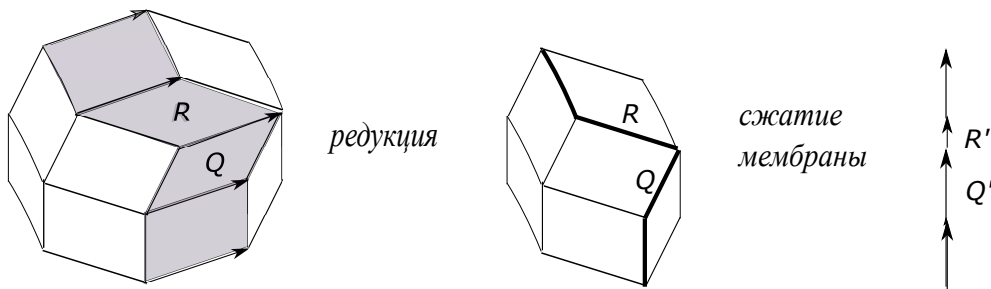


Рис. 9: На рисунке слева для кубов R и Q из перегородки выполнено $R \prec Q$. Справа нарисован кубильяж \mathcal{Q}' , полученный сжатием перегородки. Для соответствующих кубов R' и Q' выполнено противоположное соотношение $Q' \prec' R'$.

Непосредственным следствием Леммы о реверсе является то, что *ограничение отношения* \prec *на перегородку* \mathcal{P} (цвета n) *противоположно отношению* \prec' *для кубильяжа* \mathcal{Q} (здесь мы отождествляем множество \mathcal{P} с \mathcal{Q} через $P \mapsto \gamma(P) \mapsto P'$).

Определение. *Естественным порядком* на кубильяже \mathcal{Q} называется рефлексивно-транзитивное замыкание отношения \prec ; мы обозначаем его \preceq или $\preceq_{\mathcal{Q}}$.

По определению это отношение \preceq является предпорядком; нетривиальность в том, что оно является *порядком*, то есть антисимметрично ($Q \preceq Q'$ и $Q' \preceq Q$ влекут $Q = Q'$). Именно это и дает Предложение 6.

Пример 1. Пусть Q и Q' – два куба из одного туннеля, и Q' идет после Q при движении от видимой границы зонотопа к невидимой. Тогда $Q \preceq Q'$.

Пример 2. Пусть куб Q ‘частично затеняет’ Q' , то есть имеется прямая, параллельная координатному вектору e_n , которая протыкает (пересекает по внутренней точке) куб Q раньше, чем Q' . Тогда $Q \preceq Q'$. В самом деле, надо рассмотреть цепочку кубов Q_1, \dots, Q_k , которые эта прямая пересекает по пути от Q к Q' . Тогда $Q \prec Q_1 \prec \dots \prec Q_k \prec Q'$.

Отметим, что мы могли бы начать с этого более сильного отношения затенения и (после транзитивного замыкания) получить то же отношение \preceq .

Пример 3. Пусть куб Q' располагается непосредственно после куба Q в некоторой гирлянде (то есть голова Q совпадает с хвостом Q' , см. раздел 7). Тогда Q затеняет Q' и по предыдущему примеру $Q \preceq Q'$.

Пусть \mathcal{Q} – кубильяж, а \mathcal{Q}_{-i} – редукция \mathcal{Q} по цвету i . Как множество кубов \mathcal{Q}_{-i} отождествляется с $\mathcal{Q} - \mathcal{P}_i$, так что можно рассматривать \mathcal{Q}_{-i} как подмножество в \mathcal{Q} .

Предложение 7 *Ограничение порядка* \preceq *на* \mathcal{Q}_{-i} *сильнее, чем порядок* \preceq_{-i} *на* \mathcal{Q}_{-i} .

Иначе говоря, если для кубов Q и R из редуцированного кубильяжа \mathcal{Q}_{-i} выполнено соотношение $Q \preceq_{-i} R$, то $Q \preceq R$.

Для доказательства мы должны проверить, что если Q непосредственно предшествует R в \mathcal{Q}_{-i} , то $Q \preceq R$. Соотношение $Q \prec_{-i} R$ означает, что кубы Q и R соседние в \mathcal{Q}_{-i} по фасете F , причем Q располагается раньше. Возможны два случая. Первый – фасета F не является пластиной шва S редукции. Тогда Q и R соседние уже в \mathcal{Q} и все очевидно. Второй – фасета F принадлежит шву. Но тогда она получилась редукцией цвета i в кубе $S = F + [0, v_i]$. И очевидно, что (в кубильяже \mathcal{Q}) мы имеем соотношения $Q \prec S \prec R$. См. рисунок 10.

10 Порядок на кубильяжах капсида

Наиболее просто Предложение 7 работает для стандартного кубильяжа. Дело в том, что редукция $\mathcal{Q} = \mathcal{Q}_{-n}$ стандартного кубильяжа $\mathcal{Q} = \mathcal{Q}_{st}$ зонотопа $Z(n, d)$ по цвету n является стандартным кубильяжем (зонотопа $Z(n-1, d)$). Более того, сжатие перегородки $\mathcal{P} = \mathcal{P}_n$ цвета n в \mathcal{Q} дает антистандартный кубильяж зонотопа

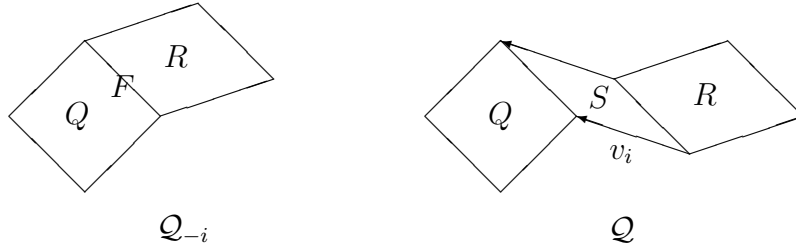


Рис. 10:

$Z' = Z(n - 1, d - 1)$. Этими соображениями можно воспользоваться, чтобы полностью описать естественный порядок на стандартном кубильяже. Мы сделаем это упражнение для случая $n = d + 1$, то есть для капсида.

Пусть \mathcal{Q} – стандартный кубильяж капсида $Z = Z(d + 1, d)$. Редуцированный кубильяж $\tilde{\mathcal{Q}}$ – это тривиальный кубильяж куба $\tilde{Z} = Z(d, d)$. Перегородка \mathcal{P} (цвета $n = d + 1$) примыкает к невидимой (задней) части $\partial_-(\tilde{Z})$ границы куба \tilde{Z} ; более точно, она получается суммированием этой задней части границы с отрезком $[0, v_n]$. Поэтому кубы из перегородки имеют вид $F + [0, v_n]$, где F пробегает невидимые фасеты куба \tilde{Z} . (Посмотрите на рис. 6 и 7.) Видно, что все они \succ куба \tilde{Z} . И остается разобраться с порядком на кубах перегородки \mathcal{P} . Но, как мы знаем из Леммы о реверсе, этот порядок противоположен порядку кубильяжа, полученного проекцией π (сжатием) задней мембраны $\partial_+(\tilde{Z})$, то есть антистандартного кубильяжа ‘меньшего’ капсида $Z' = Z(d, d - 1)$. Так что порядок на кубах из \mathcal{P} – это в точности порядок на стандартном кубильяже капсида $Z(d, d - 1)$. Индукцией по d мы получаем

Предложение 8 *Естественный порядок на стандартном кубильяже капсида $Z(d + 1, d)$ – полный (или линейный).*

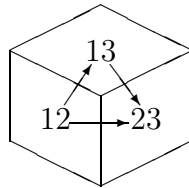


Рис. 11: Порядок на стандартном тайлинге зоногона $Z(3,2)$.

Иначе говоря, это цепь из $n = d + 1$ элемента. Более того, мы видим, что уже отношение \prec в этом случае транзитивно. Куб \tilde{Z} – минимальный элемент этого порядка. Заметим, что его тип равен $[d] = [n] - n$. Та же индукция, что и выше, показывает, что в терминах типов кубов порядок на стандартном кубильяже капсида $Z(d + 1, d)$ совпадает с лексикографическим порядком \prec_{lex} на множестве $Gr([d + 1], d)$ подмножеств размера d в $[d + 1]$. Например, при $d = 6$ этот порядок выглядит так:

$$12345 \prec 12346 \prec 12356 \prec 12456 \prec 13456 \prec 23456.$$

Для антистандартного кубильяжа капсида порядок \prec тоже линейный, но в терминах типов меняется на противоположный, антилексикографический, $\prec_{antilex}$.

Мы оставляем как упражнение разбор следующего по сложности случая: стандартного кубильяжа зонотопа $Z(d+2, d)$. Ответ для стандартного кубильяжа зонотопа $Z(6, 4)$ изображен на рис. 12.³

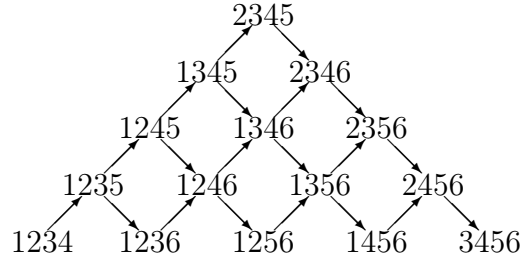


Рис. 12: Горка

При рассмотрении естественного порядка на общем кубильяже важную роль играет следующее соображение. Каждый капсид (то есть подзонотон $Z(d+1, d)$ в кубильяже \mathcal{Q}) задает свой тип K , подмножество размера $d+1$ в $[n]$. В свою очередь, пусть $K \subset [n]$ – произвольное подмножество размера $d+1$. Рассмотрим в \mathcal{Q} множество $\mathcal{F}(K)$, состоящее из кубов $Q \in \mathcal{Q}$, типы которых содержатся в K . Число таких кубов равно $d+1$, и они параметризуются своими типами $K-i$, где i пробегает K . В совокупности эти кубы представляют как бы ‘разбежавшийся’ капсид (настоящий капсид состоит из кубов, тесно прижатых друг к другу). Редуцируя цвета, не входящие в K , мы ‘прижмем’ эти кубы друг к другу. Более точно, пусть \mathcal{Q}_K обозначает кубильяж, полученный из \mathcal{Q} редукцией всех цветов, не принадлежащих K . Как множество, \mathcal{Q}_K отождествляется с $\mathcal{F}(K)$. Кубильяж \mathcal{Q}_K является кубильяжем капсида $Z(K, d)$ и поэтому либо стандартный, либо антистандартный. И так как (см. Пример 3 выше) естественный порядок \preceq на $\mathcal{F}(K)$ совпадает с порядком на \mathcal{Q}_K , то он во-первых, линейный (то есть $\mathcal{F}(K)$ – это цепь для \preceq), и во-вторых, в терминах типов он либо лексикографический, либо антилексикографический. Причем какой – легко понять. В множестве K как подмножестве $[n]$ есть максимальный элемент, пусть это k . Тогда все определяется тем – будет ли куб Q с типом $K-k$ расположен раньше перегородки \mathcal{P}_k цвета k в \mathcal{Q} (и тогда Q – минимальный элемент в $\mathcal{F}(K)$, а порядок лексикографический), либо позже перегородки (и тогда куб Q максимален, а порядок \preceq на подмножестве $\mathcal{F}(K)$ антилексикографический).

Итак, ограничения \preceq на такие ‘капсидо-подобные’ системы $\mathcal{F}(K)$ в \mathcal{Q} являются линейными порядками (цепями). В свою очередь, эти цепи однозначно определяют \preceq . Более точно,

Предложение 9 *Естественный порядок \preceq на кубильяже \mathcal{Q} – это транзитивное замыкание цепей $(\mathcal{F}(K), \preceq_{\mathcal{F}(K)})$ по всем $K \subset [n]$ размера $d+1$.*

³Отметим аналогию с рисунками колчанов в [24, Table 1].

Для доказательства достаточно проверить, что если $Q \prec R$ для кубов Q и R кубильяжа \mathcal{Q} , то Q и R встечаются в некотором ‘разбросанном’ капсиде $\mathcal{F}(K)$. В самом деле, надо взять в качестве K объединение типов Q и R ; так как эти кубы соседние, размер K равен $d + 1$. \square

Таким образом, естественный порядок \preceq на кубильяже \mathcal{Q} можно было бы определять не через отношение \prec ‘непосредственного следования’, но через цепи $\mathcal{F}(K)$ размера $d + 1$. Мы вернемся к этому обстоятельству в комбинаторной части.

11 Стэки и мембраны

Определение. Подмножество \mathcal{S} кубов в \mathcal{Q} называется *стэком*, если с каждым кубом Q подмножество \mathcal{S} содержит и меньшие (относительно \prec или \preceq) кубы. Иными словами, это порядковый идеал в посете (\mathcal{Q}, \preceq) . *Телом* стэка \mathcal{S} называется подмножество в $Z = Z(n, k)$, являющееся объединением кубов, входящих в \mathcal{S} , плюс множество точек видимой границы зонотопа Z .

Интерес стэков вызван тем, что они задают мембраны кубильяжа \mathcal{Q} . В самом деле, любая прямая, параллельная d -ой оси координат, проходя внутри зонотопа Z , сначала идет по телу стэка \mathcal{S} , потом в какой-то момент пересекает границу стэка и уже не возвращается в стэк. Множество этих ‘последних’ точек стэка образует мембрану $\mathcal{M} = \mathcal{M}(\mathcal{S})$ в кубильяже \mathcal{Q} . В самом деле, оно состоит из фасет кубильяжа \mathcal{Q} и биективно проецируется на $Z' = \pi(Z)$. Обратно, если \mathcal{M} – мембрана кубильяжа \mathcal{Q} , и мы соберем все кубы, расположенные до мембраны, мы получим стэк $\mathcal{S}(\mathcal{M})$. Очевидно, что эти операции взаимно обратны, и мы получаем

Предложение 10 *Множество $\mathbf{S}(\mathcal{Q})$ стэков в кубильяже \mathcal{Q} и множество мембран $\mathbf{M}(\mathcal{Q})$ естественно биективны.* \square

Следствие. *Зонотоп $Z(d + 2, d)$ имеет $2(d + 2)$ различных кубильяжей.*

Доказательство. Согласно Предложению 2 из раздела 6, задать кубильяж зонотопа $Z(d + 2, d)$ – это то же самое, что задать мембрану в некотором кубильяже капсида $Z(d + 1, d)$. У последнего имеется всего два кубильяжа – стандартный и антистандартный. И на каждом из них естественный порядок является цепью (длины $d + 1$). Соответственно, имеется $d + 2$ стэка, а в силу предыдущего предложения – $d + 2$ мембраны. \square

Легко понять, что посет $\mathbf{Q}(d + 2, d)$ состоит из двух ветвей кольца размера $2(d + 2)$, как на рисунке 13.

Мембраны в кубильяже \mathcal{Q} естественно упорядочены: мы говорим, что мембрана \mathcal{M} кубильяжа \mathcal{Q} встречается *раньше*, чем мембрана \mathcal{M}' , если любая прямая, параллельная e_d , пересекает \mathcal{M} не позже, чем \mathcal{M}' . В терминах стэков это в точности отношение включения соответствующих подмножеств в \mathcal{Q}). Мы получаем отсюда следующие утверждения.

Предложение 11 а) *Множество мембран $\mathbf{M}(\mathcal{Q})$ кубильяжа \mathcal{Q} образует дистрибутивную решетку.*

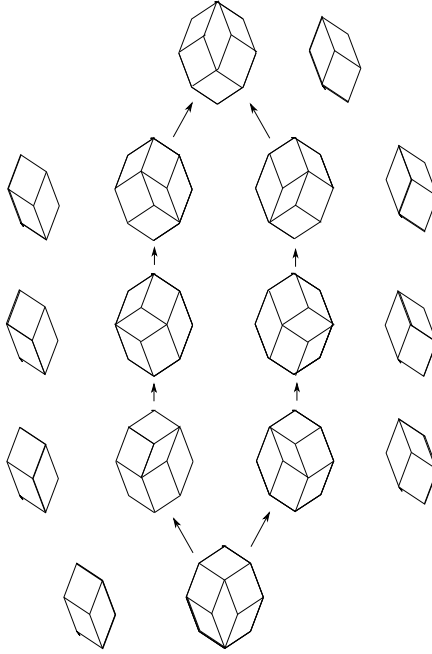


Рис. 13: "Кольцо". Изображены восемь кубильяжей зонотона $Z(4, 2)$. Стрелки указывают повышающие флипы. Сбоку от каждого кубильяжа помещен кубильяж $Z(3, 2)$ и мембрана в нем, задающие (см. Предложение 4) соответствующий кубильяж $Z(4, 2)$.

б) Эта решетка градуирована (как и любая дистрибутивная, см. [18], 3.4); ранг мембраны \mathcal{M} равен числу элементов в стэке $\mathcal{S}(\mathcal{M})$.

с) Для любой мембраны \mathcal{M} , если она не максимальна, существует куб $Q \in \mathcal{Q}$, который всеми своими видимыми фасетами входит в мембрану \mathcal{M} . Добавление этого куба приводит к мембране \mathcal{M}' , которая отличается от \mathcal{M} повышающим флопом. \square

Таким образом, мы видим, что любую мембрану \mathcal{M} в \mathcal{Q} можно соединить с минимальной мембраной (видимой частью границы зонотопа) понижающими флопами (а с максимальной мембраной – повышающими флопами). А это означает также, что кубильяж $\pi(\mathcal{M})$ зонотопа $Z' = Z(n, d - 1)$ можно превратить в стандартный кубильяж зонотопа Z' серией понижающих флипов.

12 Существование флипов

Понятие флипа уже вводилось в разделе 8 как замена одного кубильяжа капсида $Z(d + 1, d)$ в Z другим кубильяжем. Здесь мы покажем существование флипов.

Теорема 1 Пусть \mathcal{Q} – кубильяж зонотопа $Z = Z(n, k)$. Если кубильяж \mathcal{Q} отличен от стандартного, то в нем можно сделать понижающий флип.

Иными словами, если в кубильяже нельзя сделать понижающий флип, то он стандартный. Верно, конечно, и обратное: стандартный кубильяж не допускает

понижающих флипов. Это видно, например, из того, что стандартный кубильяж реализуется видимой, или передней, мембраной в (любом) кубильяже зонотопа $\hat{Z} = Z(n, d + 1)$, и ‘отступать назад’ от такой мембраны уже некуда.

Доказательство. Рассмотрим перегородку \mathcal{P} цвета n в \mathcal{Q} . Если она проходит вплотную к невидимой стороне Z , мы просто ‘выбросим’ ее как из \mathcal{Q} , так и из Z , и получим кубильяж $\mathcal{Q} - \mathcal{P}$ зонотопа $Z(n - 1, d)$. Если этот кубильяж $\mathcal{Q} - \mathcal{P}$ стандартный, тогда и \mathcal{Q} - стандартный, вопреки предположению. Поэтому кубильяж $\mathcal{Q} - \mathcal{P}$ зонотопа $Z(n - 1, d)$ не стандартный, и по индукции мы можем сделать в нем (а поэтому и в Z) понижающий флип.

Таким образом мы можем считать, что перегородка \mathcal{P} не примыкает к невидимой части границы зонотопа Z , и за этой перегородкой реально есть кубы. Возьмем среди таких кубов (строго за перегородкой \mathcal{P}) минимальный куб Q относительно естественного порядка \preceq на \mathcal{Q} . Этот куб всей видимой стороной примыкает к перегородке \mathcal{P} . И если мы добавим к этому кубу Q все кубы из перегородки \mathcal{P} , которые примыкают к Q , мы получим желаемый подзонотоп Z_0 (капсид). В самом деле, эти кубы устроены как суммы отрезка $[-v_n, 0]$ на видимые фасеты Q . И мы получаем подзонотоп типа Bn , где B - тип куба Q . Это как раз такой набор кубов, с которым можно делать понижающий флип, см. раздел 8. \square

В результате такого понижающего флипа с участием цвета n мы передвигаем (отодвигаем) перегородку цвета n ‘на один куб’ по направлению к невидимой границе зонотопа Z . Двигаясь так шаг за шагом, мы передвинем эту перегородку вплотную к невидимой границе Z . Однако мы могли бы сделать это сразу, за один ‘большой’ шаг. Для этого обозначим через \mathcal{Q}_+ множество кубов нашего кубильяжа \mathcal{Q} , расположенных ЗА перегородкой $\mathcal{P} = \mathcal{P}_n$. После этого ‘сдвинем’ весь этот набор кубов \mathcal{Q}_+ на вектор $-v_n$. В результате это множество передвинется вплотную к передней (видимой) границе перегородки \mathcal{P} и образует кубильяж зонотопа $Z(n - 1, d)$. Если мы добавим к этому зонотопу произведение (сумму) его невидимой границы на отрезок $[0, v_n]$ (иными словами, сделаем эспансию этого кубильяжа вдоль ‘задней’ мембраны зонотопа $Z(n - 1, k)$ по цвету n), мы получим исходной зонотоп Z и новый его кубильяж, в котором новая перегородка \mathcal{P}' цвета n примыкает к невидимой стороне Z . Такую ‘крупную’ перестройку кубильяжа можно было бы назвать ‘большим флипом’, или *обвалом*, см. рис. 14.

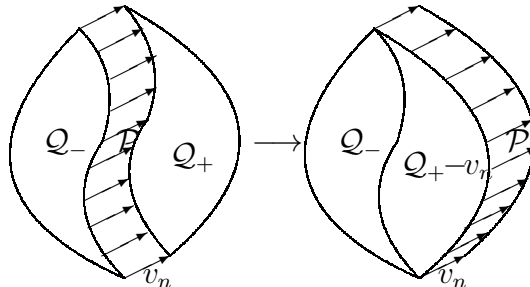


Рис. 14: обвал

В результате такого обвала мы получаем кубильяж $\tilde{\mathcal{Q}}$ зонотопа $\tilde{Z} = Z(n - 1, d)$.

С ним можно проделать такую же операцию подъема перегородки цвета $n - 1$, и так далее. Эту последовательность из n обвалов можно назвать *стандартизацией* кубильяжа \mathcal{Q} , потому что после каждого шага (обвала) кубильяж становится ‘все более стандартным’, а в конце процесса – полностью стандартным. Главное преимущество стандартизации – ее каноничность; если понижающие флипы мы могли делать в разных местах и в разной последовательности, то обвалы определены однозначно.

Симметрично можно делать ‘антистандартизацию’ кубильяжа, прижимая (на первом шаге) перегородку \mathcal{P} к видимой границе зонотопа $Z(n, d)$ и продолжая в таком же духе; в результате через n шагов мы получим антистандартный кубильяж.

Уже говорилось, как с помощью флипов вводится порядок \leq на множестве $\mathbf{Q}(n, d)$ кубильяжей зонотопа $Z(n, d)$. А именно, мы полагаем $Q \leq Q'$, если от Q до Q' можно добраться с помощью последовательности повышающих флипов. Циклов при этом быть не может, так что это отношение \leq действительно является отношением частичного порядка на множестве $\mathbf{Q}(n, d)$. Фактически, именно этот посет Манин и Шехтман называли *высшим порядком Брюа* и обозначали $B(n, d)$. Теорема 1 говорит, что этот посет обладает минимальным (стандартный кубильяж) и максимальным (антистандартный кубильяж) элементами. Подобные посеты часто оказываются решетками. И действительно, первый посет Брюа $B(n, 1)$ (т. н. *слабый порядок Брюа*) является решеткой. При малых n посет $B(n, 2)$ тоже решетка (см. рисунок посета $B(5, 2)$ в [19]), но уже $B(6, 2)$ не является решеткой, [10]. Более того, этот посет в общем случае не есть посет вершин многогранника, [19]. И все же это градуированный (ранговый) посет.

13 Мембраны в зонотопе

До сих пор мы занимались мембранами в кубильяже. Теперь мы введем более общее понятие *мембраны в зонотопе* $Z = Z(n, k)$. Это снова $(d - 1)$ -мерный кубический комплекс \mathcal{M} , расположенный в $Z(n, k)$, причем выполнены два свойства (заимствованные у мембран в кубильяжах):

- 1) \mathcal{M} (точнее, тело \mathcal{M}) проектируется биективно на $Z' = Z(n, d - 1)$,
- 2) ребра \mathcal{M} конгруэнтны векторам v_i (впрочем, при $d > 2$ это выводится из свойства 1) примерно как в Лемме 1).

Проекция кубов из \mathcal{M} дают $(d - 1)$ -мерный кубильяж зонотопа Z' , который мы снова обозначаем как $\mathcal{Q}' = \pi(\mathcal{M})$. Обратно, если \mathcal{Q}' – кубильяж зонотопа Z' , мы можем (единственным способом) построить мембрану \mathcal{M} , для которой $\mathcal{Q}' = \pi(\mathcal{M})$. Делается это так. Для любой вершины v' кубильяжа \mathcal{Q}' мы задаем вершину v как $\sum_{i \in sp(v')} v_i$. После этого организуем эти вершины в кубильяж, повторяя организацию в кубы вершин v' кубильяжа \mathcal{Q}' . Или чуть иначе: мы строим мембрану \mathcal{M} (точнее – тело этой мембраны) как некоторое естественное (кусочно линейное) сечение зонотопа Z' (сечение относительно проекции π). Как уже говорилось, каждая точки кубильяжа \mathcal{Q}' однозначно записывается через вектора v'_i ; остается переписать это через v_i . Тем самым,

Множество $\mathbf{M}(n, d)$ мембран в зонотопе $Z = Z(n, d)$ отождествляется с множеством $\mathbf{Q}(n, d - 1)$ кубильяжей зонотопа $Z(n, d - 1)$.

Поясним на примере $d = 3$. Кубильяж зоногона $Z' = Z(n, 2)$ - это ромбической тайлинг, чисто двумерная фигура. Переход к мембране в $Z = Z(n, 3)$ делает ее более рельефной: это как переход от плоского чертежа к трехмерному макету. Флипы, выглядящие как искусственные перетасовки ромбов, превращаются в более наглядные изгибания пленок-мембран. Однако пока наши мембраны 'висят в воздухе'. Следующее утверждение исправляет этот дефект.

Теорема 2 Для любой мембраны \mathcal{M} зонотопа $Z = Z(n, d)$ существует кубильяж \mathcal{Q} этого зонотопа Z , для которого она является мембраной.

Иными словами, мембрана \mathcal{M} вписывается в некоторый кубильяж \mathcal{Q} .

Доказательство. Обозначим через $Z_-(\mathcal{M})$ область в Z перед мембраной \mathcal{M} . Воспользуемся Теоремой 1. Делая с мембраной \mathcal{M} понижающие флопы (точнее, мы делаем флипы с кубильяжем $\pi(\mathcal{M})$, а потом поднимаем их на мембраны), мы получаем серию мембран, идущую от \mathcal{M} до 'передней' мембраны, то есть до видимой части границы Z . Тем самым мы получаем кубильяж области $Z_-(\mathcal{M})$.

Аналогично можно поступить с областью $Z_+(\mathcal{M})$ за мембраной; вместе они дадут кубильяж: в который вписана мембрана \mathcal{M} . \square

Более того, если делать каноническую стандартизацию кубильяжа $\pi(\mathcal{M})$, мы получим канонический (или 'стандартный') кубильяж области $Z_-(\mathcal{M})$ в зонотопе Z . 'Стандартность' этого кубильяжа проявляется в том, что в нем нельзя сделать понижающий флип.

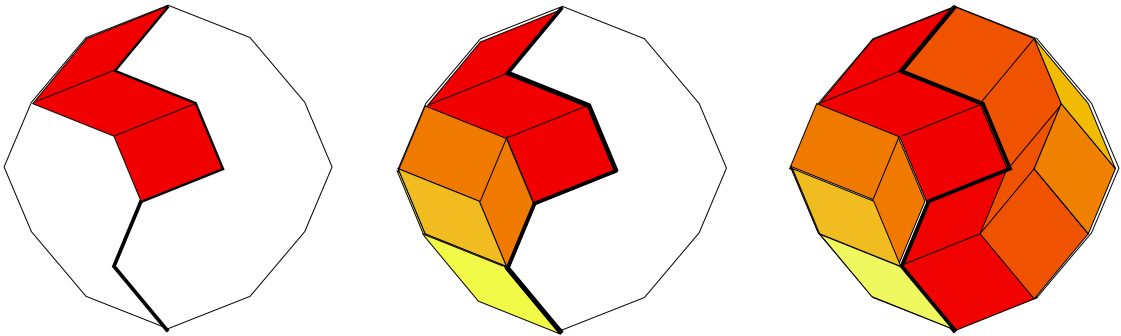


Рис. 15: Стадии канонизации. Дан ромбический тайлинг и мембрана-змейка \mathcal{M} в нем. На рис. слева изображен первый шаг стандартизации области перед мембраной - построение части перегородки цвета б. На рис. в центре уже завершено построение всех перегородок в области перед мембраной, то есть показана стандартизация этой области. На рис. справа показана (анти)стандартизация области за мембраной.

Симметрично можно поступить с областью $Z_+(\mathcal{M})$, расположенной в Z после мембраны \mathcal{M} . Мы получим каноническое ('антистандартное') заполнение этой

области. Объединяя эти два кубильяжа, мы получаем кубильяж \mathcal{Q} уже всего зонотопа Z , в котором \mathcal{M} является мембраной. Мы называем этот стандартно-антистандартный кубильяж зонотопа Z *каноническим расширением* мембраны \mathcal{M} (или *каноническим подъемом* кубильяжа $\pi(\mathcal{M})$).

Замечание. Рассуждая как при доказательстве Теоремы 1, можно показать, что если кубильяж области $Z_-(\mathcal{M})$ отличен от стандартного (см. выше), то в нем можно сделать понижающий флип. Это показывает, что кубильяжи области $Z_-(\mathcal{M})$ (как и кубильяжи всего зонотопа) связаны флипами. Аналогичное замечание верно и для кубильяж области $Z_+(\mathcal{M})$.

Мембраны служат как бы средством, связывающим кубильяжи соседних размерностей. Кубильяж \mathcal{Q} представляется ‘сетью’ мембран, а тем самым ‘сетью’ кубильяжей на 1 меньшей размерности. Напомним, что $\mathbf{Q}(n, d)$ – это множество кубильяжей зонотопа $Z(n, d)$. Скажем, что кубильяжи \mathcal{Q} из $\mathbf{Q}(n, d)$ и \mathcal{Q}' из $\mathbf{Q}(n, d-1)$ *согласованы*, если \mathcal{Q}' поднимается до мембраны \mathcal{M} в \mathcal{Q} (так что $\mathcal{Q}' = \pi(\mathcal{M})$). Отношение согласованности можно рассматривать как соответствие c из $\mathbf{Q}(n, d)$ в $\mathbf{Q}(n, d-1)$. Описанный выше канонический подъем кубильяжей задает сечение $\text{can} : \mathbf{Q}(n, d-1) \rightarrow \mathbf{Q}(n, d)$ этого соответствия c .

Обилие связей между кубильяжами побуждает взглянуть на них с категорной точки зрения. Мы поговорим об этом в Дополнении 1 про поликатегории.

ЧАСТЬ ВТОРАЯ, КОМБИНАТОРНАЯ

Под комбинаторным подходом к кубильяжам мы понимаем изучение систем подмножеств базисного множества $[n]$, генерируемых кубильяжами. Мы уже встречались с этим, когда рассматривали типы кубов кубильяжа. Однако если брать только типы кубов, то любой кубильяж дает все множество-грассманиан $\binom{[n]}{d} = Gr([n], d)$. Чтобы отразить специфику конкретного кубильяжа \mathcal{Q} , нужно перенести на $Gr([n], d)$ естественный порядок $\preceq_{\mathcal{Q}}$. Это перебрасывает мост между геометрическим подходом и подходом, который использовали Манин с Шехтманом [8, 14] и Циглер [10]. Напомним, что Манин и Шехтман, создатели высших порядков Брюа, работали именно в терминах порядков на $Gr([n], d)$.

Другой выход в комбинаторику открывает понятие спектра. Если мы соберем в одну систему $Sp(\mathcal{Q})$ спектры всех вершин кубильяжа \mathcal{Q} , то получим интересную систему подмножеств в $[n]$. Главное свойство таких систем – свойство разделенности, впервые обнаруженное Леклерком и Зелевинским [6] в случае $d = 2$ и обобщенное и исследованное затем Галашиным и Постниковым [11, 12].

В процессе работы нам постоянно придется иметь дело с подмножествами и системами подмножеств в $[n]$. Само базисное множество $[n]$ можно понимать как аналог n -мерного векторного пространства (над произвольным полем, или над ‘полем’ \mathbf{F}_1 из одного элемента). С этой точки зрения подмножество в $[n]$ размера k надо понимать как аналог векторного подпространства размерности k . Из-за этого множество всех подмножеств размера k мы называем ‘дискретным грассманианом’ и обозначаем $Gr([n], k)$ (вместо обычного обозначения $\binom{[n]}{k}$). Аналогом полного

флага подпространств служит неуплотняемая цепь подмножеств в $[n]$, то есть фактически линейный порядок на $[n]$. Напомним, что мы рассматриваем $[n]$ как множество (цепь) с естественным порядком ($1 < 2 < \dots < n$), что означает, что мы как бы фиксируем некоторый полный флаг.

Для удобства идентификации элементы базисного множества $[n]$ мы называем *цветами* и используем обычно буквы i, j и т.д.; подмножества в $[n]$ обозначаются буквами X, Y и т.д. и называются часто просто множествами. Для краткости множество вида $X \cup \{i\}$ обозначается обычно как Xi . Подмножества в $2^{[n]}$ называются *системами множеств* и обозначаются рукописными буквами (типа \mathcal{S} или \mathcal{X}).

14 Допустимые порядки

Если Q – куб некоторого кубильяжа \mathcal{Q} зонотопа $Z(n, d)$, то он определяет (и определяется) двумя множествами: спектром нижней (корневой) вершины $b(Q)$, $sp(b(Q)) \subset [n]$, и типом $\tau(Q) \subset [n]$. Эти два подмножества не пересекаются, и второе имеет размер d . Фактически это уже упоминавшаяся кодировка знаковыми векторами; $Q \mapsto \frac{\tau(Q)}{sp(b(Q))}$. Согласно Предложению 1, отображение типа τ задает биекцию множества \mathcal{Q} всех кубов кубильяжа \mathcal{Q} с грассманианом $Gr([n], d)$. Если перенести с помощью этой биекции τ естественный порядок \preceq на \mathcal{Q} (см. раздел 9), мы получим некоторый порядок $\preceq_{\mathcal{Q}}$ на грассманиане $Gr([n], d)$.

Предложение 12 *Порядок $\preceq_{\mathcal{Q}}$ определяет кубильяж \mathcal{Q} .*

Иначе говоря, он позволяет однозначно восстановить кубильяж.

Доказательство. Пусть есть два кубильяжа \mathcal{Q}_1 и \mathcal{Q}_2 зонотопа $Z = Z(n, d)$ с одним и тем же порядком на $Gr([n], d)$. И пусть \mathcal{S} – (порядковый) идеал в $Gr([n], d)$; покажем индукцией по размеру \mathcal{S} , что кубы (в \mathcal{Q}_1 и \mathcal{Q}_2), соответствующие \mathcal{S} (то есть $\tau^{-1}(\mathcal{S})$), расположены в Z одинаково. Пусть $K \in Gr([n], d)$ – максимальный элемент в \mathcal{S} , и $\mathcal{S}' = \mathcal{S} - \{K\}$. По индуктивному предположению кубы, соответствующие \mathcal{S}' , расположены в Z одинаково. И лежат в ‘передней’ части относительно некоторой мембраны \mathcal{M}' . Тогда куб Q_1 (в \mathcal{Q}_1 с типом K) примыкает всей своей видимой границей к определенному участку (капсиду) этой мембраны \mathcal{M}' , точно так же, как и куб Q_2 (из \mathcal{Q}_2 с типом K). То есть они примыкают к одному и тому же участку \mathcal{M}' и потому совпадают. \square

Можно пояснить это и чуть иначе. Пусть Q_1 (соотв., Q_2) – кубы в кубильяжах \mathcal{Q}_1 (соотв., \mathcal{Q}_2) с одним и тем же типом (скажем, K). И пусть $b_1 = b(Q_1)$ и $b_2 = b(Q_2)$ – их корневые вершины. Достаточно показать, что $b_1 = b_2$. Возьмем какую-нибудь видимую фасету F_1 куба Q_1 (с типом $K - i$ для некоторого $i \in K$), и рассмотрим часть тоннеля типа $K - i$, идущую от F_1 и передней границе зонотопа Z . Мы не знаем, как проходит этот тоннель, но мы знаем, что он составлен из кубов Q , которые а) лежат в идеале \mathcal{S} , и б) содержат $K - i$ в своем типе $\tau(Q)$. Этот тоннель выходит к передней части границы Z по единственной фасете \tilde{F} типа $K - i$. Обозначим его корневую вершину как \tilde{b} . Тогда мы получаем, что $b_1 = \tilde{b} + \sum_j (\pm)v_j$, где сумма берется по тем j , что $K - i + j$ принадлежит \mathcal{S} . Знаки

же определяются как знаки определителя $\det(\dots v_k \dots v_j)$, где k пробегает $K - i$. Так как это выражение зависит от $K - i$ и от \mathcal{S} , но не от \mathcal{Q} , то $b_2 = b_1$.

Полученное утверждение поднимает вопрос о том, какими условиями выделяются порядки вида $\preceq_{\mathcal{Q}}$. Одно такое условие подсказывает Предложение 9 раздела 10. Назовем *родителем* подмножество K в $[n]$ размера $d + 1$, а его *семьей* – систему $\mathcal{F}(K)$ подмножеств размера d в K . (Иначе говоря, это образ $Gr(K, d)$ в $Gr([n], d)$ при естественном вложении. Манин и Шехтман называли это *накетом*.) У семьи есть два выделенных линейных порядка, а именно, лексикографический \preceq_{lex} и противоположный к нему антилексикографический \preceq_{alex} . Если $K = \{i_1 < i_2 < \dots < i_{d+1}\}$, то лексикографический порядок \preceq_{lex} на $\mathcal{M}(k)$ имеет вид

$$K - i_{d+1} < K - i_d < \dots < K - i_1,$$

а антилексикографический – противоположный.

Определение. Частичный порядок \preceq на $Gr([n], d)$ называется *допустимым*, если его ограничение на любую семью $\mathcal{F}(K)$ (где K – произвольное множество размера $d + 1$) есть лексикографический или антилексикографический порядок.

Разумеется, любое усиление допустимого порядка также допустимо. В частности, любое линейное расширение. Манин и Шехтман работали именно с линейными допустимыми порядками.

В этих терминах Предложение 9 утверждает, что порядок на $Gr([n], d)$, индуцированный некоторым кубильяжем, допустим. Оказывается, это условие не только необходимое, но и в каком-то смысле достаточное.

Теорема 3 Пусть \preceq – допустимый порядок на $Gr([n], d)$. Тогда существует (и притом единственный, см. Предложение 12) кубильяж \mathcal{Q} , такой что \preceq – усиление $\preceq_{\mathcal{Q}}$.

Чтобы сделать идею доказательства более понятной, представим, что порядок \preceq уже происходит из кубильяжа \mathcal{Q} . Пусть \mathcal{P} – перегородка цвета n ; произведем редукцию цвета n . В результате перегородка сожмется на мембрану \mathcal{M} , а кубильяж \mathcal{Q} редуцируется в кубильяж $\mathcal{Q}' = \mathcal{Q}_{-n}$ зонотопа $Z' = Z(n - 1, d)$. \mathcal{Q}' как множество кубов естественно вкладывается в \mathcal{Q} . И ограничение естественного порядка кубильяжа \mathcal{Q} на \mathcal{Q}' сильнее естественного порядка на \mathcal{Q}' (Предложение 7 из раздела 9). Так что ограничение \preceq на $Gr([n - 1], d)$ – допустимый порядок, и по индукции мы можем восстановить \mathcal{Q}' . Остается восстановить еще и мембрану \mathcal{M} . Но она задается множеством (типов) кубов, расположенных в \mathcal{Q}' до мембраны. Или, что то же самое, множеством кубов, расположенных в \mathcal{Q} до перегородки. Пусть Q – такой куб, и $T \subset [n - 1]$ – его тип. Рассмотрим родителя $K = Tn$ и его семью как набор кубов в \mathcal{Q} . Эта семья ‘начинается’ с Q и затем идут кубы из перегородки \mathcal{P} , так как их типы содержат цвет n . Из этого следует, что Q – минимальный член этой семьи. Напротив, если куб Q взят за перегородкой, то Q – максимальный член семьи. Таким образом, кубы (в \mathcal{Q}') до мембраны \mathcal{M} – это те кубы, тип которых T минимален в семье с родителем Tn . (Все это пояснение можно рассматривать как третье доказательство Предложения 12.)

Теперь перейдем к доказательству, которое представляет собой обращение предыдущих аргументов. Мы начинаем с допустимого порядка \preceq на $Gr([n], d)$. Ограничиваем его на $Gr([n-1], d) \subset Gr([n], d)$; очевидно, что это снова допустимый порядок на $Gr([n-1], d)$. По индукции он происходит из некоторого кубильяжа \mathcal{Q}' зонотопа $Z' = Z(n-1, d)$. Теперь образуем подмножество \mathcal{T} в $Gr([n-1], d)$, состоящее из таких T , что ограничение \preceq на семью $\mathcal{F}(Tn)$ родителя Tn – лексикографический порядок.

Мы утверждаем, что \mathcal{T} – идеал относительно естественного порядка \preceq' на \mathcal{Q}' . В самом деле, пусть $Q \in \mathcal{T}$ и $R \prec Q$, то есть R непосредственно предшествует кубу Q в кубильяже \mathcal{Q}' (см. раздел 9). Нужно показать, что R тоже принадлежит \mathcal{T} . Предположим противное, что ограничение \preceq на семью родителя $\tau(R)n$ – антилексикографический порядок. В частности, $\tau(R)$ – максимальный элемент в семье $\mathcal{F}(\tau(R)n)$. В свою очередь, $\tau(Q)$ – минимальный элемент в семье $\mathcal{F}(\tau(Q)n)$. Кубы R и Q имеют общую фасету F , так что тип F , $\tau(F)$, содержится как в $\tau(R)$, так и в $\tau(Q)$. Поэтому множество $\tau(F)n$ лежит как в семье $\mathcal{F}(\tau(R)n)$, так и в семье $\mathcal{F}(\tau(Q)n)$. Отсюда следует, что $\tau(Q) \preceq \tau(F)n \preceq \tau(R)$ и по транзитивности $\tau(Q) \preceq \tau(R)$. Но это противоречит тому, что $R \prec Q$ и, следовательно, $\tau(R) \prec \tau(Q)$.

Итак, \mathcal{T} – идеал в \mathcal{Q}' . Этот идеал определяет мембрану \mathcal{M} в \mathcal{Q}' ; делая экспансию цвета n в этой мембране, мы получаем кубильяж \mathcal{Q} (см. Предложение 4 раздела 6). Остается убедиться, что исходное отношение \preceq сильнее, чем отношение $\preceq_{\mathcal{Q}}$. То есть если куб R непосредственно предшествовал кубу S в кубильяже \mathcal{Q} , $R \prec S$, то $\tau(R) \preceq \tau(S)$.

Это очевидно, если R и S лежат в \mathcal{Q}' . Это почти очевидно, если один из кубов лежит в перегородке \mathcal{P} (полученной экспансией мембраны \mathcal{M}), а другой – нет. Пусть, к примеру, S лежит в перегородке, а R – нет. Тогда куб R расположен до перегородки. По построению идеала \mathcal{T} семья $\mathcal{F}(\tau(R) \cup \tau(S))$ ‘лексикографическая’, и $\tau(R)$ – минимальный член этой семьи, откуда $\tau(R) \preceq \tau(S)$.

Осталось рассмотреть случай, когда R и S лежат в перегородке. Делая редукцию всех цветов, не вошедших в $\tau(R) \cup \tau(S)$, мы можем считать, что наш кубильяж \mathcal{Q} – один из двух кубильяжей капсида, где утверждение очевидно в силу результатов раздела 10. Это завершает доказательство теоремы 3. \square

Теорема 3 перебрасывает мостик между геометрическим подходом (кубильяжами) и подходом Манина-Шехтмана, основанным на рассмотрении допустимых порядков на грассманианах $Gr([n], d)$. Существование такой связи было анонсировано в работе Воеводского и Капранова [9] и более обстоятельно изложено в [20, Theorem 2.1].

Некоторое неудобство описания кубильяжей через допустимые порядки состоит в том, что разные порядки могут приводить к одному кубильяжу. Мы уже отмечали, что если \preceq – допустимый порядок, то любое его усиление \preceq' тоже допустимый порядок и задает тот же кубильяж, что и \preceq . Чтобы восстановить однозначность, можно работать с минимальными допустимыми порядками. Конечно, это в точности порядки, порожденные (в смысле транзитивного замыкания) ограничениями на всевозможные семьи в $Gr([n], d)$. Такие минимальные допустимые порядки задаются указанием для каждого родителя (множества K размера $d+1$), лексикографически или антилексикографически упорядочена семья $\mathcal{F}(K)$ этого

родителя. Иначе говоря, отображением $\sigma : Gr([n], d + 1) \rightarrow \{+, -\}$, где $+$ соответствует лексикографии. Конечно, это назначение σ не может быть произвольным; надо, чтобы в результате получалось ацикличное отношение (ср. с Предложением 6). Вопрос о том, какие назначения дают ацикличность (и, следовательно, приводят к кубильяжам) мы обсудим в следующем разделе.

15 Инверсии

Раздел 13 позволяет рассматривать кубильяжи зонотопа $Z(n, d - 1)$ как мембраны в зонотопе $Z(n, d)$ на единицу большей размерности. Это открывает еще один способ задания кубильяжей.

Пусть \mathcal{Q}' – кубильяж зонотопа $Z' = Z(n, d - 1)$. Реализуем его как мембрану $\mathcal{M} = \mathcal{M}(\mathcal{Q}')$ в зонотопе $Z = Z(n, d)$. Согласно Теореме 2, существует (и как правило, не один) кубильяж \mathcal{Q} зонотопа Z , в который вписана мембрана \mathcal{M} . Эта мембрана делит кубы кубильяжа \mathcal{Q} на расположенные до \mathcal{M} и после \mathcal{M} . Кубы, расположенные до мембраны \mathcal{M} , соберем в множество $\mathcal{Q}_-(\mathcal{M})$. Это множество зависит, конечно, от кубильяжа \mathcal{Q} , содержащего мембрану \mathcal{M} . Однако множество типов кубов из $\mathcal{Q}_-(\mathcal{M})$ уже зависит только от мембраны \mathcal{M} , но не от \mathcal{Q} . Это видно из следующей леммы.

Лемма 3 Пусть Q – куб кубильяжа \mathcal{Q} , расположенный до (соотв., после) мембраны \mathcal{M} , и $K = \{k_1 < k_2 < \dots < k_d\}$ – тип куба Q . Тогда существует вершина v мембраны \mathcal{M} , такая что $K \cap sp(v) = \{k_d, k_{d-2}, \dots\}$ (соотв., $K \cap sp(v) = \{k_{d-1}, k_{d-3}, \dots\}$).

Доказательство. Произведем редукцию всех цветов, отличных от цветов K . В результате мы получим зонотоп $Z' = Z(K, d)$ (состоящий из единственного куба $Q = Z'$) и мембрану \mathcal{M}' в Z' . Пусть Q располагался до мембраны \mathcal{M} ; тогда куб $Q = Z'$ тоже располагается до мембраны \mathcal{M}' , то есть мембрана \mathcal{M}' – это невидимая часть границы Q . Пусть теперь v' – это ‘голова’ $h(Q)$ куба Q (см. раздел 7); как мы знаем, ее спектр равен $\{k_d, k_{d-2}, \dots\}$. Пусть v – ‘прообраз’ v' в мембране \mathcal{M} , то есть та вершина мембраны \mathcal{M} , которая редуцировалась в v' . Ясно, что $sp(v)$ отличается от $sp(v')$ только цветами, не входящими в K , откуда $sp(v) \cap K = \{k_d, k_{d-2}, \dots\}$.

Аналогично рассуждаем в случае, когда K располагается после мембраны. \square

Замечание. Менее техническое рассуждение такое. Кубильяжи области в зонотопе $Z(n, d)$, расположенной перед мембраной \mathcal{M} , могут быть получены друг из друга с помощью флипов (см. замечание из раздела 13). А флипы не меняют типы кубов, но лишь переставляют их.

Пусть \mathcal{Q} – кубильяж зонотопа $Z(n, d)$, \mathcal{M} – соответствующая мембрана в зонотопе $Z(n, d + 1)$ (так что $\mathcal{Q} = \pi(\mathcal{M})$), а \mathcal{Q}' – некоторый кубильяж $Z(n, d + 1)$, содержащий мембрану \mathcal{M} (такой существует по Теореме 2).

Определение. Системой инверсий $Inv(\mathcal{Q})$ кубильяжа \mathcal{Q} называется система $\tau(\mathcal{Q}_-(\mathcal{M}))$ в $Gr([n], d + 1)$ (независящая от выбора \mathcal{Q}' в силу Леммы 3). Система $Inv(\mathcal{Q})$ обозначается также как $Inv(\mathcal{M})$.

То же рассуждение, как при доказательстве Леммы 3 (с редукцией всех цветов, не входящих в тип куба \mathcal{Q}), дает еще одно описание системы инверсий:

Предложение 13 *Родитель $T \in Gr([n], d+1)$ принадлежит $Inv(\mathcal{Q})$ тогда и только тогда, когда семья этого фатера в $Gr([n], d)$ упорядочена отношением $\preceq_{\mathcal{Q}}$ антилексикографически.*

Или

$Inv(\mathcal{Q}) = \{T \in Gr([n], d+1), \text{ограничение } \preceq_{\mathcal{Q}} \text{ на } Gr(T, d) \text{ – антилексикография}\}.$

Например, система Inv для стандартного кубильяжа пустая. Напротив, Inv для антистандартного кубильяжа – все $Gr([n], d)$. Когда мы делаем повышающий флип в кубильяже \mathcal{Q} , мы добавляем к домембранным кубам еще один куб. Так что при этом система $Inv(\mathcal{Q})$ увеличивается на один элемент.

Важное свойство системы инверсий $Inv(\mathcal{Q})$ в том, что она позволяет однозначно восстановить кубильяж \mathcal{Q} .

Предложение 14 *Отображение $Inv : \mathcal{Q}(n, d) \rightarrow 2^{Gr([n], d+1)}$ инъективно.*

Доказательство. Из Предложения 13 следует, что порядок $\preceq_{\mathcal{Q}}$ определяет \mathcal{Q} . Но порядок $\preceq_{\mathcal{Q}}$ порождается порядками на семьях, а система $Inv(\mathcal{Q})$ как раз и показывает, какая семья упорядочена антилексикографически. \square

Как в предыдущем разделе, это поднимает вопрос о том, какие системы в $Gr([n], d)$ являются ‘инверсными’, то есть происходят (с помощью Inv) из кубильяжей $Z(n, d-1)$. Вопрос был решен Циглером в статье [10] (хотя фундамент для решения был заложен в более ранней работе Лас Вернаса [21]). Введем следующее

Определение. Множество \mathcal{S} в $Gr([n], d)$ называется *консистентным*, если для любого $T \subset [n]$ размера $d+1$ семья $\mathcal{F}(T)$ этого родителя пересекается с \mathcal{S} по начальному или конечному отрезку $\mathcal{F}(T)$ (семья $\mathcal{F}(T)$ располагается в лексикографическом порядке).

Лемма 4 *Для любой мембраны \mathcal{M} в $Z(n, d)$ система $Inv(\mathcal{M})$ образует консистентное подмножество в $Gr([n], d)$.*

Доказательство. Включим мембрану \mathcal{M} в кубильяж \mathcal{Q} зонотопа $Z = Z(n, d)$, и пусть \preceq – естественный порядок на \mathcal{Q} , а $\preceq_{\mathcal{Q}}$ – соответствующий (допустимый) порядок на грассманиане $Gr([n], d)$. Мы знаем из раздела 11, что $Inv(\mathcal{M})$ – это идеал относительно $\preceq_{\mathcal{Q}}$. С другой стороны, для любой семьи $\mathcal{F}(T)$ порядок $\preceq_{\mathcal{Q}}$ индуцирует лексикографию или антилексикографию. В первом случае пересечение $Inv(\mathcal{M})$ с $\mathcal{F}(T)$ будет идеалом относительно лексикографического порядка, то есть начальным отрезком. Во втором – идеалом относительно противоположного порядка, то есть конечным отрезком. \square

Теорема 4 *Обратно, пусть \mathcal{S} – консистентная система в $Gr([n], d)$. Тогда существует мембрана \mathcal{M} в зонотопе $Z = Z(n, d)$, для которой $\mathcal{S} = Inv(\mathcal{M})$.*

Мембрана M единственна, согласно Предложению 14.

Доказательство. Рассмотрим подсистему S' в \mathcal{S} , состоящую из множеств $S \in \mathcal{S}$, не содержащих цвет n . Система S' лежит в $Gr([n-1], d)$ и тоже консистентна. Поэтому по индукции S' реализуется некоторой мембраной M' в $Z' = Z([n-1], d)$, так что $S' = Inv(M')$. Дополним эту мембрану до кубильяжа \mathcal{Q}' зонотопа Z' (Теорема 2). И затем сделаем экспансию по цвету n мембраны M' в \mathcal{Q}' . Мы получаем кубильяж \mathcal{Q} зонотопа Z , редукция которого \mathcal{Q}_{-n} равна \mathcal{Q}' ; в частности, мембрана M' ‘утолщается’ до перегородки \mathcal{P} в \mathcal{Q} цвета n . Кубы кубильяжа \mathcal{Q} , типы которых принадлежат $\mathcal{S} - S'$, лежат в \mathcal{P} .

Мы утверждаем, что \mathcal{S} является *стэком (идеалом)* в кубильяже \mathcal{Q} ; в этом случае M – это мембрана, соответствующая стэку \mathcal{S} . Для этого нужно проверить, что если $R \prec S$ – два куба из перегородки \mathcal{P} , и S принадлежит \mathcal{S} , то и R принадлежит \mathcal{S} . Но кубы R и S соседние, поэтому объединение их типов, то есть $T = \tau(R) \cup \tau(S)$ имеет размер $d+1$. Рассмотрим семью \mathcal{F} этого родителя T , расположенную лексикографически. Минимальным элементом (‘начальным членом’) этой семьи служит множество $T-n$; пусть Q – куб в \mathcal{Q} с типом $T-n$. Этот куб не принадлежит перегородке \mathcal{P} , поэтому он лежит либо до перегородки, либо после нее.

Рассмотрим случай, когда Q лежит до перегородки. Тогда в естественном порядке \preceq на \mathcal{Q} это минимальный элемент, и семья \mathcal{F} упорядочена лексикографически. В силу консистентности \mathcal{S} весь интервал между $\tau(Q) = T-n$ и $\tau(S)$ принадлежит \mathcal{S} , и, в частности, множество $\tau(R)$. Так что R принадлежит \mathcal{S} .

Аналогично рассматривается случай, когда Q лежит после перегородки. В этом случае Q – максимальный элемент (относительно ограничения \preceq на семью \mathcal{F}), и $\tau(Q)$ не принадлежит \mathcal{S} . Значит естественный порядок \preceq на \mathcal{F} антилексикографический, в нем R идет после S , и снова из консистентности R принадлежит \mathcal{S} . \square

Таким образом, мы имеем два эквивалентных (лучше сказать – криптоморфных) описания кубильяжей $Z(n, d)$: как (минимальных) допустимых порядков на $Gr(n, d)$ (Манин-Щехтман) и как консистентных подмножеств в $Gr(n, d+1)$ (Циглер). Имея такие описания, можно переписывать на соответствующий язык разные понятия и конструкции с кубильяжами. Например, повышающий флип соответствует увеличению консистентного множества на один элемент. Так что отношение \leq для кубильяжей (см. раздел 8) согласовано с отношением включения для консистентных множеств: если $\mathcal{Q} \leq \mathcal{Q}'$, то $Inv(\mathcal{Q}) \subset Inv(\mathcal{Q}')$. Обратное свойство верно, если $d=1$ (классическое свойство слабого порядка Брюа) или $d=2$ ([22, 23]), но нарушается для больших d (Циглер в [10] привел контрпример при $d=3$). В следующем разделе мы приведем еще одно описание (иницированное Леклерком и Зелевинским [6] и развитое Галашиным и Постниковым [12]), в терминах систем $Sp(\mathcal{Q})$ спектров вершин кубильяжа.

16 Отношение разделенности

Напомним, что с каждой вершиной v кубильяжа \mathcal{Q} зонотопа $Z(n, d)$ мы связывали подмножество $sp(v)$ в $[n]$ – спектр вершины. Когда v пробегает все вершины \mathcal{Q} , мы получаем систему $Sp(\mathcal{Q})$, подмножество в $2^{[n]}$. В разделе 4 было показано, что система $Sp(\mathcal{Q})$ однозначно определяет кубильяж \mathcal{Q} . Поэтому естественно встает вопрос – какими свойствами обладают такие системы?

Первое свойство – это ее размер. В разделе 2 было показано, что размер системы $Sp(\mathcal{Q})$ равен $\binom{n}{\leq d}$. Этого, конечно, мало, чтобы характеризовать такие системы. Второе важное структурное свойство состоит в том, что любые два множества из $Sp(\mathcal{Q})$ являются $(d - 1)$ -разделенными.

Определение. Два подмножества X и Y в $[n]$ называются r -разделенными (r – натуральное число), если не существует возрастающей цепочки (размера $r + 2$) $i_0 < i_1 < \dots < i_{r+1}$, такой что элементы с четными номерами лежат в одном из множеств $X - Y$ или $Y - X$, а элементы с нечетными – в другом. Это симметричное и рефлексивное отношение обозначим как S_r . Система подмножеств называется r -разделенной, если любые два ее члена r -разделены.

Иными словами, X и Y r -разделены, если множество $[n]$ можно разбить на $r + 1$ интервал I_0, \dots, I_r (некоторые могут быть пустыми), так что $X - Y$ лежит в одной части этих интервалов, а $Y - X$ – в другой части.

Такие интервалы удобно задавать ‘разделителями’ (сепараторами), то есть r точками $c_1 \leq c_2 \leq \dots \leq c_r$ на вещественной прямой, так что интервал I_i состоит из целых точек x , удовлетворяющих неравенствам $c_i < x < c_{i+1}$ (считая $c_0 = 0$, $c_r = n + 1$).

Отношения S_r слабеют с ростом r , $S_0 \subset S_1 \subset \dots \subset S_n$. Рассмотрим несколько первых членов этой серии отношений.

Пример 0. Отношение $X S_0 Y$ означает, что множества X и Y сравнимы по включению: $X \subset Y$ или $Y \subset X$. Можно также сказать, что отношение S_{-1} это отношение равенства $=$.

Пример 1. S_1 – это отношение сильной разделенности, введенное Леклерком и Зелевинским в [6]. Оно означает, что после удаления общей части либо X располагается левее Y ($X < Y$), либо Y располагается левее X .

Пример 2. S_2 – это отношение хорд-разделенности, исследованное в [11].

Отношения разделенности S_r имеют непосредственное отношение к кубильяжам. Это показывает

Предложение 15 Пусть \mathcal{Q} – кубильяж зонотопа $Z(n, d)$. Тогда для любых двух вершин v и w кубильяжа \mathcal{Q} множества $sp(v)$ и $sp(w)$ $(d - 1)$ -разделены.

Иными словами, система $Sp(\mathcal{Q})$ $(d - 1)$ -разделенная. Например, для любого ромбического тайлинга \mathcal{T} система $Sp(\mathcal{T})$ 1-разделена – факт, замеченный в [6]. Или другой, крайний случай. Рассмотрим, как в разделе 7, куб $Z(d, d)$. У него есть две ‘выступающие’ точки – хвост t и голова h . Спектр головы – $\{d, d - 2, \dots\}$, спектр

хвоста – $\{d - 1, d - 3, \dots\}$, В совокупности эти элементы, чередуясь, покрывают все $[n]$. Поэтому множества $sp(h)$ и $sp(t)$ являются $(d - 1)$ -разделенными (но не $(d - 2)$ -разделенными). Если же мы ‘сплющим’ (спроектируем) этот куб в капсид $Z(d, d - 1)$, точка t превратится во внутреннюю (центральную) точку стандартного кубильяжа зонотопа $Z(d, d - 1)$ и, как легко проверить, будет $(d - 2)$ -разделена со всеми другими вершинами этого кубильяжа. Но она не $(d - 2)$ -разделена с проекцией точки h , центральной точкой другого, антистандартного кубильяжа.

Доказательство предложения 15. Предположим, что $X = sp(v)$ и $Y = sp(w)$ не $(d - 1)$ -разделены. Тогда существуют элементы-цвета $i_0 < i_1 < \dots < i_d$, такие, что i_0, i_2, \dots принадлежат, скажем, $X - Y$, а i_1, i_3, \dots принадлежат $Y - X$. Делая редукцию по всем цветам, отличным от i_0, \dots, i_d , мы получаем кубильяж капсида $Z(d + 1, d)$. И в нем две точки v' и w' (образы v и w при редукции) со спектрами i_0, i_2, \dots и i_1, i_3, \dots . Но, как мы видели выше, эти точки лежат в разных кубильяжах, одна – в стандартном (v' при нечетном d и w' при четном), а другая – в антистандартном. \square

В следующем Предложении мы опишем спектр стандартного (и антистандартного) кубильяжей зонотопа $Z(n, d)$.

Предложение 16 Пусть v – вершина стандартного кубильяжа зонотопа $Z(n, d)$. Тогда существует разложение $[n] = I_0 \sqcup I_1 \sqcup \dots \sqcup I_d$ на $d + 1$ последовательный интервал, так что $sp(v) = I_{d-1} \sqcup I_{d-3} \sqcup \dots$. Обратно, любое множество такого вида есть спектр некоторой вершины стандартного тайлинга.

Для антистандартного кубильяжа спектры вершин имеют вид $I_d \sqcup I_{d-2} \sqcup \dots$.

Доказательство. Стандартный кубильяж зонотопа $Z(n, d)$ получается из стандартного же кубильяжа $Z(n - 1, d)$ путем экспансии (добавления) цвета n вдоль задней (невидимой) мембраны (см. Пример из раздела 6). Поэтому спектр стандартного кубильяжа состоит из двух частей – первая состоит из множеств вида $I_{d-1} \cup I_{d-3} \cup \dots$, где интервалы I_d, I_{d-1}, \dots, I_0 берутся из $[n - 1]$, а вторая получается из спектров вершин ‘задней’ мембраны (невидимой части границы зонотопа $Z(n - 1, d)$) добавлением цвета n . Но ‘задняя’ мембрана – это фактически антистандартный кубильяж зонотопа $Z(n - 1, d - 1)$, и спектры ее вершин имеют вид $J_{d-1} \cup J_{d-3} \cup \dots$, где интервалы J_{d-1}, \dots, J_0 снова берутся из $[n - 1]$. В первом случае нужно ‘подправить’ интервал I_d , заменив его на интервал $I_d \cup \{n\}$ (заметим, что I_d либо содержит цвет $n - 1$, либо пуст). Во втором случае мы добавляем новый интервал $J_d = \{n\}$. \square

К примеру, для $d = 1$ спектр стандартного кубильяжа $Z(n, 1)$ состоит из $(n + 1)$ -го интервала $[k]$, $k = 0, 1, \dots, n$. Соответственно, спектры антистандартного тайлинга состоят из дополнительных интервалов: $[n], [n - 1..n], \dots, [n - k..n], \dots, \emptyset$.

Для $d = 2$ спектр стандартного ромбического тайлинга состоит из произвольных интервалов в $[n]$, тогда как спектр антистандартного тайлинга – из коинтервалов (дополнений к интервалам).

Для $d = 3$ спектр стандартного кубильяжа состоит из т.н. ‘полуторных’ интервалов, то есть множеств вида $[1, i] \cup [j, k]$, где $0 \leq i \leq j \leq k - 1 \leq n$.

Как следствие Предложения 16 мы получаем описание спектров *периферийных* вершин, то есть вершин зонотопа. Это в точности вершины, которые принадлежат одновременно стандартному и антистандартному кубильяжу. Тут удобно ввести понятие *интервального ранга* подмножества $X \subset [n]$ как минимального числа r , такого что X представляется как объединение интервалов $I_1 \sqcup \dots \sqcup I_r$.

Следствие 1. *Множество X является спектром периферийной вершины зонотопа $Z(n, d)$ тогда и только тогда, когда сумма интервальных рангов X и дополнительного множества $[n] - X$ не больше d .* \square

В частности, если размер некоторого множества X не больше, чем $\frac{d-1}{2}$ (то есть $2|X| \leq d - 1$), то соответствующая точка $v(X)$ является периферийной, то есть вершиной зонотопа $Z(n, d)$. Иными словами, внутренние (не лежащие на границе зонотопа) целые точки появляются только на высоте $h \geq d/2$ и выше. Этот факт тесно связан с явлением, обычно упоминаемым при обсуждении циклических политопов (см., например, [5, Пример 0.6]). А именно, что любое множество вершин циклического политопа размера не больше $\frac{d-1}{2}$ принадлежит некоторой грани этого политопа.

Следствие 2. *Спектр периферийной вершины $(d - 1)$ -разделен с любым подмножеством в $[n]$.* \square

Это утверждение коррелирует с Предложением 3, которое утверждает, в частности, что любая ‘целая’ точка вписывается в некоторый кубильяж.

17 Разделенность и кубильяжи

Мы уже получили, что система $Sp(\mathcal{Q})$ для кубильяжа \mathcal{Q} зонотопа $Z(n, d)$ является $(d - 1)$ -разделенной и имеет размер $\binom{n}{\leq d}$. Теперь пойдём в обратном направлении и покажем, что система с такими свойствами получается как спектр некоторого кубильяжа. Для начала покажем, что число $\binom{n}{\leq d}$ – это верхняя граница для размера $(d - 1)$ -разделенной системы в $[n]$.

Предложение 17 *Пусть \mathcal{S} – $(d - 1)$ -разделенная система подмножеств в $[n]$. Тогда ее размер не превышает $\binom{n}{\leq d}$.*

Доказательство. Разобьём \mathcal{S} на две части: \mathcal{S}_0 , члены которой не содержат цвет n , и \mathcal{S}_1 , члены которой содержат n . Обозначим через \mathcal{S}_2 систему множеств вида $X - n$, где X пробегает \mathcal{S}_1 . Очевидно, что размер \mathcal{S}_2 равен размеру \mathcal{S}_1 . Легко понять, что $\mathcal{S}_0 \cup \mathcal{S}_2$ – $(d - 1)$ -разделенная система в $[n - 1]$, поэтому (по индукции) ее размер не превосходит $\binom{n-1}{\leq d}$.

Рассмотрим теперь пересечение $\mathcal{T} = \mathcal{S}_0 \cap \mathcal{S}_2$. Оно состоит из множеств $X \subset [n - 1]$, которые принадлежат \mathcal{S} , причем Xn тоже принадлежит \mathcal{S} . Мы утверждаем, что *система \mathcal{T} $(d - 2)$ -разделенная*. В самом деле, предположим, что в \mathcal{T} есть множества X и Y , которые не $(d - 2)$ -разделенные. Значит есть последовательность $i_0 < i_1 < \dots < i_{d-1}$, такая, что члены с четными индексами принадлежат (скажем)

$X - Y$, а с нечетными $-Y - X$. Но тогда последовательность $i_0 < i_1 < \dots \lesssim i_{d-1} < i_d = n$ обладает тем же свойством либо для $\tilde{X} = Xn$ и Y , либо для X и $\tilde{Y} = Yn$. Это противоречит предположению о $(d-1)$ -разделенности \mathcal{S} .

Снова по индуктивному предположению размер \mathcal{T} не превосходит $\binom{n-1}{\leq d-1}$. Отсюда размер \mathcal{S} , равный сумме размеров \mathcal{S}_0 и \mathcal{S}_2 , то есть сумме размеров $\mathcal{S}_0 \cup \mathcal{S}_2$ и $\mathcal{S}_0 \cap \mathcal{S}_2$, не превосходит $\binom{n-1}{\leq d} + \binom{n-1}{\leq d-1} = \binom{n}{\leq d}$. \square

Ввиду Предложения 17 $(d-1)$ -разделенные системы в $[n]$ размера $\binom{n}{\leq d}$ называются *максимальными по размеру*, противопоставляя это *максимальности по включению*. Следующий результат установлен Галашиным и Постниковым [12] в несколько большей общности (они не ограничивались кубильяжами циклических зонотопов).

Теорема 5 Пусть \mathcal{S} — $(d-1)$ -разделенная система в $[n]$ размера $\binom{n}{\leq d}$. Тогда она имеет вид $Sp(\mathcal{Q})$ для некоторого (единственного) кубильяжа зонотопа $Z(n, d)$.

Доказательство. Оно близко к доказательству Предложения 17. Снова разделим \mathcal{S} на \mathcal{S}_0 и \mathcal{S}_1 и обозначим \mathcal{S}_2 как выше. Тогда из доказательства Предложения 17 следует, что размер $\mathcal{S}_0 \cup \mathcal{S}_2$ равен $\binom{n-1}{\leq d}$, а размер пересечения $\mathcal{S}_0 \cap \mathcal{S}_2$ равен $\binom{n-1}{\leq d-1}$. По индукции мы можем считать, что система $\mathcal{S}_0 \cup \mathcal{S}_2$ реализуется некоторым кубильяжем \mathcal{Q}' в $Z(n-1, d)$, а пересечение $\mathcal{S}_0 \cap \mathcal{S}_2$ — кубильяжем \mathcal{Q}'' зонотопа $Z(n-1, d-1)$. Очевидно, что \mathcal{Q}'' реализуется мембраной \mathcal{M} в кубильяже \mathcal{Q}' . Остается взять в качестве \mathcal{Q} экспансию по цвету n кубильяжа \mathcal{Q}' вдоль этой мембраны. На уровне спектров это сведется к замене всех множеств X из \mathcal{S}_2 на множества Xn . Так что $Sp(\mathcal{Q}) = \mathcal{S}_0 \cup \mathcal{S}_1 = \mathcal{S}$. \square

Таким образом, мы получаем еще одно криптоморфное воплощение кубильяжей. И снова можно в этих новых терминах пересказывать разные конструкции.

Приведем еще один интересный пример разделенных систем.

Предложение 18 Пусть \mathcal{M}_1 и \mathcal{M}_2 — две мембраны в зонотопе $Z(n, d)$, причем $Inv(\mathcal{M}_1) \subset Inv(\mathcal{M}_2)$. Тогда система $Sp(\mathcal{M}_1) \cup Sp(\mathcal{M}_2)$ $(d-1)$ -разделена.

Доказательство. Пусть это не так, и некоторые множества $X \in Sp(\mathcal{M}_1)$ и $Y \in Sp(\mathcal{M}_2)$ не $(d-1)$ -разделены. Тогда существует последовательность элементов $i_1 < i_2 < \dots < i_{d+1}$ из $[n]$, которые поочередно лежат то в $X - Y$, то в $Y - X$. Рассмотрим случай, когда в $X - Y$ лежат элементы i_{d+1}, i_{d-1}, \dots (а элементы i_d, i_{d-2}, \dots лежат в $Y - X$), и образуем d -элементное множество $K = \{i_1, \dots, i_d\}$. По Лемме 3, примененной к X , мы получаем, что K является инверсным для мембраны \mathcal{M}_1 , а значит и для мембраны \mathcal{M}_2 . Но по той же Лемме 3 мы получаем, что множество X неинверсное для мембраны \mathcal{M}_2 .

Аналогично разбирается случай, когда элементы i_{d+1}, i_{d-1}, \dots лежат в $Y - X$. Однако теперь мы образуем d -элементное множество $K' = \{i_2, \dots, i_{d+1}\}$. По Лемме 3 K' неинверсное для мембраны \mathcal{M}_2 , а значит и для \mathcal{M}_1 . Но по той же лемме K' инверсное для \mathcal{M}_1 . \square

18 Чистота и расширяемость

Предложение 17 поднимает следующий вопрос – когда данная $(d - 1)$ -разделенная система \mathcal{S} подмножеств в $[n]$ расширяется до системы максимального размера, то есть до $(d - 1)$ -разделенной системы размера $\binom{n}{\leq d}$? Или, в терминах раздела 4, когда соответствующее множество целых точек зонотопа $Z(n, d)$ вписывается в некоторый кубильяж этого зонотопа. Если это так, система \mathcal{S} называется *расширяемой* (или, точнее, (n, d) -*расширяемой*). Если любая $(d - 1)$ -разделенная система расширяема, то говорят, что для пары (n, d) выполнено свойство *чистоты*.

Например, мы видели в разделе 4, что любая одноэлементная система (то есть любое подмножество в $[n]$) расширяема. Согласно Теореме 2 из раздела 13 любая мембрана вписывается в кубильяж. Покажем, что любая двухэлементная система расширяема.

Предложение 19 Пусть X и Y – два $(d - 1)$ -разделенных подмножества в $[n]$. Тогда двухэлементная система $\{X, Y\}$ расширяема.

Доказательство. Будем доказывать индукцией по n . Предположим, что цвет i не входит в X и Y . Тогда их можно рассматривать как подмножества в $[n] - i$. По индукции множества X и Y вписываются в кубильяж \mathcal{Q} зонотопа $Z([n] - i, d)$. Остается сделать экспансию по цвету i (см. раздел 4) относительно невидимой (в направлении v_i) части границы этого зонотопа.

Аналогично рассуждаем в том случае, когда цвет i входит как в X , так и в Y . Только теперь надо делать экспансию по цвету i относительно видимой по этому цвету части границы зонотопа.

Таким образом, все сводится к случаю, когда множества X и Y дополняют друг друга в $[n]$. Пользуясь интервальным представлением, мы видим, что X и Y образованы из чередующихся интервалов в некотором разложении $I_0 \sqcup I_1 \sqcup \dots \sqcup I_r$ цепи $[n]$ на последовательно идущие непустые интервалы. В силу $(d - 1)$ -разделенности X и Y мы имеем $r < d$. Но это означает, что X и Y (точнее, реализующие их точки $v(X)$ и $v(Y)$) принадлежат ‘периферии’ зонотопа $Z(n, d)$ и потому вписываются в любой кубильяж. \square

Как мы увидим в следующем разделе, это утверждение уже неверно для трех множеств. Это означает, что свойство чистоты выполнено не для любых (n, d) . А для каких же?

Тривиально чистота имеет место для $d = 1$. Чистота для $d = 2$ была установлена Леклерком и Зелевинским в семинальной работе [6] (см. также наш обзор [7]). Чистота для $d = 3$ установлена в работе Галашина [11]. Кроме того, по тривиальным причинам чистота имеет место для $n = d + 1$ (капсиды). Этими случаями и исчерпывается чистота, как показано в [12]. В следующем разделе мы более подробно рассмотрим случай $n = d + 2$ при $d \geq 4$ и приведем простые и явные примеры нерасширяемых систем. Для распространения таких результатов на случай $n > d + 2$ полезны будут следующие два факта.

Предложение 20 Пусть $\mathcal{S} \subset 2^{[n]}$. Система \mathcal{S} (n, d) -расширяема тогда и только тогда, когда она (рассмотренная как система подмножеств в $[n + 1]$) $(n + 1, d)$ -расширяема.

Доказательство. Пусть \mathcal{S} (n, d) -расширяема. Тогда она $(d - 1)$ -разделенная и реализуется как подмножество вершин некоторого кубильяжа \mathcal{Q} зонотопа $Z = Z(n, d)$. Пусть кубильяж \mathcal{Q}' зонотопа $Z(n + 1, d)$ получен из \mathcal{Q} экспансией по цвету $n + 1$ относительно невидимой (задней) мембраны Z . Так как $\mathcal{Q} \subset \mathcal{Q}'$, то \mathcal{S} вписывается в \mathcal{Q}' .

Обратно, пусть \mathcal{S} вписывается в некоторый кубильяж \mathcal{Q}' зонотопа $Z(n + 1, d)$. И пусть $\mathcal{P} = \mathcal{P}_{n+1}$ — перегородка цвета $n + 1$ в \mathcal{Q}' . Так как множества из \mathcal{S} не содержат цвет $n + 1$, эта система вершин лежит (не строго) до перегородки \mathcal{P} . Поэтому при редукции \mathcal{P} мы получим кубильяж \mathcal{Q} зонотопа Z , в который \mathcal{S} вписывается. \square

Предложение 21 Пусть \mathcal{S} — $(d - 1)$ -разделенная система подмножеств в $[n]$, и $n' = n + 1$. Образует систему $\mathcal{S}' \subset 2^{[n+1]}$, $\mathcal{S}' = \{Xn', X \in \mathcal{S}\}$. Система \mathcal{S} (n, d) -расширяема тогда и только тогда, когда система $\mathcal{S} \cup \mathcal{S}'$ $(n + 1, d + 1)$ -расширяема.

Доказательство. Пусть \mathcal{S} (n, d) -расширяемая, то есть вписывается в некоторый кубильяж \mathcal{Q} зонотопа $Z(n, d)$. Реализуем \mathcal{Q} как мембрану \mathcal{M} в некотором кубильяже \mathcal{Q}' зонотопа $Z(n, d + 1)$, так что \mathcal{S} образует часть вершин \mathcal{M} . Пусть, наконец, \mathcal{Q}'' — экспансия \mathcal{Q}' по цвету n' относительно этой мембраны \mathcal{M} ; это некоторый кубильяж зонотопа $Z(n + 1, d + 1)$. При этом мембрана \mathcal{M} расширяется до перегородки \mathcal{P} цвета n' в \mathcal{Q}'' . Система \mathcal{S} лежит на одной (видимой) стороне этой перегородки, тогда как \mathcal{S}' лежит на другой (невидимой) стороне перегородки \mathcal{P} . Откуда видно, что $\mathcal{S} \cup \mathcal{S}'$ вписывается в \mathcal{Q}'' .

Обратно, пусть система $\mathcal{S} \cup \mathcal{S}'$ (как множество целых точек в зонотопе $Z'' = Z(n + 1, d + 1)$) вписывается в некоторый кубильяж \mathcal{Q}'' зонотопа Z'' . Рассмотрим перегородку \mathcal{P} цвета n' в \mathcal{Q}'' . Ясно, что \mathcal{S} располагается на одной стороне этой перегородки, тогда как \mathcal{S}' — на другой (и получается из \mathcal{S} сдвигом на вектор $v_{n'}$). Редукция этой перегородки приводит к кубильяжу \mathcal{Q}' зонотопа $Z' = Z(n, d + 1)$; при этом перегородка \mathcal{P} сжимается до мембраны \mathcal{M} , а системы \mathcal{S} и \mathcal{S}' сливаются в одну систему \mathcal{S} точек на этой мембране. Остается спроектировать эту мембрану и получить кубильяж \mathcal{Q} зонотопа $Z(n, d)$, содержащий систему \mathcal{S} как подмножество вершин. \square

Следствие. Пусть \mathcal{S} — нерасширяемая система в зонотопе $Z(d + r, d)$, $r \leq r'$ и $d \leq d'$. Тогда существует нерасширяемая система в зонотопе $Z(d' + r', d')$. \square

Мы говорили выше, что любая мембрана вписывается в кубильяж. Покажем, что не любая пара мембран (даже $(d - 1)$ -разделенных) вписываются в кубильяж. Воспользуемся примером, построенным Циглером [10]. А именно, он построил две мембраны \mathcal{M}_1 и \mathcal{M}_2 в зонотопе $Z(8, 4)$ (он задавал их в форме консистентных систем), которые обладали двумя свойствами: 1) $Inv(\mathcal{M}_1) \subset Inv(\mathcal{M}_2)$, и 2) эти две мембраны не вписываются в один кубильяж зонотопа $Z(8, 4)$ (справедливости ради надо сказать, что Циглер формулировал свойство 2) немного в других терминах). Так вот, в силу Предложения 19 объединение спектров \mathcal{M}_1 и \mathcal{M}_2 является 3-разделенной системой в $Gr([8], 4)$, но не продолжающейся до максимальной по размеру. Это также дает пример отсутствия чистоты.

19 Случай $Z(6, 4)$

Здесь мы более подробно исследуем вопрос о расширяемых/нерасширяемых системах точек в $Z(d+2, d)$. Мы уже касались в разделе 11 вопроса о кубильяжах таких зонотопов и выяснили, что их бывает $2n$ штук, где $n = d+2$. Мы подробно рассмотрим $Z(6, 4)$ (в случае $Z(5, 3)$ все 2-разделенные подсистемы расширяемы). На этом простом примере видны почти все эффекты общего случая $Z(d+2, d)$.

При малом $n - d$ почти все целые точки лежат на границе зонотопа $Z(n, d)$. Например, при $n = d+1$ только две точки не на границе. В случае $n = d+2$ непериферийных точек $2n$. В самом деле, по формуле (1.2) число периферийных точек равно $2\binom{d+1}{d-1} + \dots + \binom{d+1}{0} = 2(2^{d+1} - 1 - (d+1)) = 2^n - 2n$. И так как все периферийные точки $(d-1)$ -разделены со всеми точками, то нам надо разобраться с разделенностью этих $2n$ непериферийных точек-множеств. Здесь мы и начнем считать, что $n = 6$, а $d = 4$.

В этом случае имеется $52 = 64 - 12$ периферийных точек-множеств. Выпишем явно 12 непериферийных точек-множеств. Как было показано в Следствии 1 Предложения 16, периферийные точки задаются разбиением отрезка $[n]$ на d последовательно идущих интервала; после этого надо взять объединение либо ‘четных’ интервалов, либо ‘нечетных’. В случае, когда $d = 4$, а $n = 6$, непериферийные точки-множества – это те, которые не укладываются (альтернированно) в четыре интервала, а должны задействовать 5 или 6 (непустых) интервалов. Понятно, что такие интервалы либо одноэлементные (и тогда их шесть), либо почти все одноэлементные, и только один интервал двухэлементный (и тогда интервалов пять). Выпишем эти 12 множеств как строки следующей таблицы.

1	3	5	
1	3	5	6
1	3		6
1	3	4	6
1		4	6
1	2	4	6
	2	4	6
	2	4	
	2	4	5
	2		5
	2	3	5
		3	5

Эти 12 множеств удобно расположить по кругу, как на циферблате часов, помещая 135 на месте шести часов, а дополнительное множество 246 на месте двенадцати часов. См. рис. 16.

Какие же множества среди этих 12-ти 3-разделенные? Легко понять, что неразделенными является множество и его дополнение, а также два соседа этого дополнения. Так что неразделенными являются множество и три ‘противоположных’ к нему. Это можно увидеть также из того, что подряд идущие 5 множеств на циферблате вписываются в один кубильяж (и дают все 12 кубильяжей зонотопа

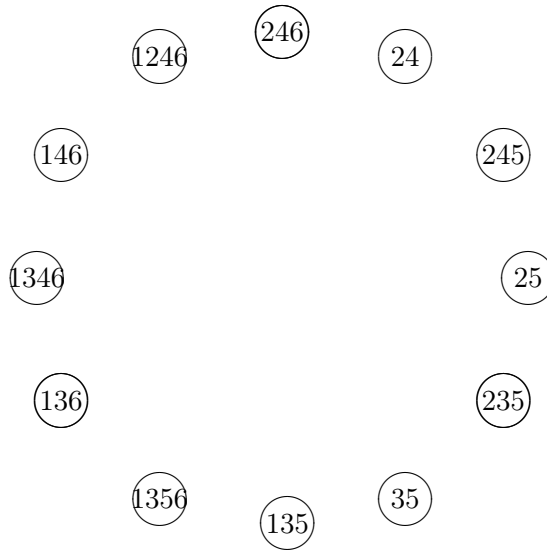


Рис. 16: циферблат

$Z(6, 4)$). Например, ‘цифры’ от часа до пяти (а именно, множества 24, 245, 25, 235 и 35) вписываются в стандартный кубильяж. Из этого описания 3-неразделенности видно, что три множества (размещенные как XII часов, IV часа и VIII часов, то есть множества 246, 235 и 136) образуют (вместе с периферией) максимальную по включению 3-разделенную систему из $52+3=55$ множеств, тогда как максимум по размеру равен $52+5=57$. Это показывает, что в $Z(6, 4)$ имеется система размера 55, которая не (6,4)-расширяемая (и максимальна по включению).

Аналогичные рассуждения показывают, что в $Z(d+2, d)$ (при $d \geq 4$) имеется $(d+2, d)$ -нерасширяемая система.⁴ Любопытно отметить, что в случае $d = 8$ на циферблате из 20 ‘часов’ можно указать 5 ‘цифр’ (0, 4, 8, 12 и 16), которые дают максимальную по включению 7-разделенную подсистему в этой 20-элементной непериферийной системе. Вместе с периферией это дает 1009-элементную максимальную по включению 7-разделенную систему подмножеств множества [10]. В то время как максимум по размеру равен $1004+9=1013$. Разница равна $1013-1009=4=d/2$, что дает основания предположить, что *размер максимальной по включению $(d-1)$ -разделенной системы отличается от максимума по размеру не более чем на $d/2$.*

Вместе со Следствием из предыдущего раздела мы получаем теорему Галашина-Постникова [12], что *если $d \geq 4$ и $n \geq d+2$, то существует (n, d) -нерасширяемая система множеств в $[n]$.* В частности, для таких (n, d) нет чистоты.

20 Слабая разделенность

В разделе 16 и последующих вводилось и изучалось отношение k -разделенности в множестве $2^{[n]}$. Обобщая понятие слабой разделенности Леклерка и Зелевинского

⁴Отсутствие чистоты при $d = 7$ фактически утверждается в [24, Proposition 8.1].

[6], можно предложить понятие слабой k -разделенности в случае нечетного k . (Для четного k мы не видим хорошего определения.) Удобнее, однако, задавать это отношение как усиление отношения $(k + 1)$ -разделенности.

Итак, пусть k – нечетное натуральное число. Напомним, что подмножества A и B в $[n]$ назывались $(k + 1)$ -разделенными: если существует такое разбиение $[n]$ на $k + 2$ последовательных интервала $[n] = I_0 \sqcup I_1 \sqcup \dots \sqcup I_{k+1}$, что множество $A - B$ располагается в объединении ‘четных’ интервалов $I_0 \sqcup I_2 \sqcup \dots \sqcup I_{k+1}$, а $B - A$ – в объединении ‘нечетных’ интервалов $I_1 \sqcup \dots \sqcup I_k$ (или наоборот).

Определение. Множества A и B как выше называются *сильно $(k+1)$ -разделенными* (или *слабо k -разделенными*), если размер A не больше, чем размер B . Обратно говоря, ‘окружающее’ множество по размеру не превосходит ‘окружаемое’.

Например, множество 15 слабо 1-разделено с множествами 234 и 24, но не с множеством 3. Отношение слабой 1-разделенности – это в точности отношение слабой разделенности Леклерка-Зелевинского. Если множества A и B k -разделены, то они слабо k -разделены, что оправдывает употребление эпитета ‘слабо’. Если A и B имеют одинаковый размер, слабая k -разделенность превращается в $(k + 1)$ -разделенность.

В некоторых отношениях слабая k -разделенность ‘похожа’ на k -разделенность. Например: в Предложении 17 утверждается, что размер любой k -разделенной системы подмножеств $[n]$ не превышает $\binom{n}{\leq k+1}$. Покажем, что это же верно для слабой k -разделенности.

Предложение 22. Пусть k – нечетное число. Размер слабо k -разделенной системы подмножеств в $[n]$ не превышает $\binom{n}{\leq k+1}$.

Доказательство. Оно проводится индукцией по k ; при $k = -1$ утверждение очевидно, так как сильная 0-разделенность – это просто равенство. Поэтому размер такой системы равен 1, как и $\binom{n}{0}$. При $k \geq 1$ рассуждение начинается как в предложении 17. Пусть \mathcal{W} – слабо k -разделенная система в $[n]$; разделим ее на две части: \mathcal{W}_0 , члены которой не содержат цвет n , и \mathcal{W}_1 , члены которых содержат цвет n . Пусть \mathcal{W}_2 состоит из множеств вида $X - n$, где X пробегает \mathcal{W}_1 . Ясно, что $\mathcal{W}_0 \cup \mathcal{W}_2$ снова слабо k -разделенная система (уже в $[n - 1]$), и по индукции ее размер не превосходит $\binom{n-1}{\leq k+1}$.

Обозначим через \mathcal{D} систему множеств X , которые сами лежат в \mathcal{W}_0 , а их ‘двойник’ Xn лежит в \mathcal{W}_1 . Мы утверждаем, что *размер \mathcal{D} не превосходит $\binom{n-1}{\leq k}$* . Как и в предложении 17, Предложение 22 следует из этой оценки. Следующие три леммы доказывают эту оценку.

Лемма 5. Пусть множества A и B из \mathcal{D} имеют один и тот же размер. Тогда они $(k - 1)$ -разделены.

Доказательство. $(k - 1)$ -неразделенность означает, что $(A - B$ и $B - A)$ нельзя альтернативно разместить в разбиении $[n - 1]$ на k интервалов. То есть что для их размещения нужно задействовать $k + 1$ интервал. Предположим, что такое размещение имеет схему $ABAB\dots AB$ (слово из $k+1$ буквы). В этом случае сравним B и An . И хотя эти множества помещаются в $k+2$ интервала, размер окружающего множества An превышает размер окружаемого B , что противоречит тому, что

An и B слабо k -разделены. Аналогично в случае схемы $BA\dots BA$, где мы будем сравнивать множества A и Bn . \square

Обозначим через \mathcal{D}_i подсистему тех множеств из \mathcal{D} , которые имеют размер i . И дополним ее двумя другими системами подмножеств в $[n-1]$. Для их определения рассмотрим две вспомогательные системы \mathcal{S} и \mathcal{A} . Чтобы их задать, мы рассмотрим разбиение $[n-1]$ на k интервалов, $[n-1] = I_0 \sqcup \dots \sqcup I_{k-1}$. Тогда объединение ‘нечетных’ интервалов $(I_1 \sqcup \dots \sqcup I_{k-2})$ этого разбиения дает элемент системы \mathcal{S} , а объединение ‘четных’ интервалов дает элемент системы \mathcal{A} . Через \mathcal{S}_i мы обозначаем подсистему в \mathcal{S} , образованную множествами размера i , и аналогично понимаются \mathcal{A}_i .

Лемма 6. *Объединение систем $\mathcal{S}_{n-1} \sqcup \dots \sqcup \mathcal{S}_{i+1} \sqcup \mathcal{D}_i \sqcup \mathcal{A}_{i-1} \sqcup \dots \sqcup \mathcal{A}_0$ образует слабо $(k-2)$ -разделенную систему подмножеств множества $[n-1]$.*

Доказательство получается из следующих трех простых замечаний. Первое: множество из \mathcal{S}_i слабо $(k-2)$ -разделено с любым множеством меньшего или равного размера. В самом деле, оно имеет вид $I_1 \sqcup \dots \sqcup I_{k-2}$ для некоторого разбиения $[n-1] = I_0 \sqcup \dots \sqcup I_{k-1}$ на k интервалов. Условие на размер дает сильную $(k-1)$ -разделенность, то есть слабую $(k-2)$ -разделенность. Второе: по тем же причинам множество из \mathcal{A}_i слабо $(k-2)$ -разделено с любым множеством большего или равного размера. Третье – множества из \mathcal{D}_i слабо $(k-2)$ -разделены по Лемме 5 (они $(k-1)$ -разделены и имеют одинаковый размер). \square

По предположению индукции размер системы $\mathcal{S}_{n-1} \sqcup \dots \sqcup \mathcal{S}_{i+1} \sqcup \mathcal{D}_i \sqcup \mathcal{A}_{i-1} \sqcup \dots \sqcup \mathcal{A}_0$ не превосходит $\binom{n-1}{\leq k-1}$. С другой стороны размер системы \mathcal{S} (как спектра стандартного кубильяжа зонотопа $Z(n-1, k-1)$) равен $\binom{n-1}{\leq k-1}$. Откуда мы заключаем, что размер \mathcal{D}_i не превосходит разности размеров $\mathcal{S}_0 \sqcup \mathcal{S}_1 \sqcup \dots \sqcup \mathcal{S}_i$ и $\mathcal{A}_0 \sqcup \dots \sqcup \mathcal{A}_{i-1}$. И осталось разобраться с размером этой разности.

Лемма 7. *Эта разность равна числу вершин стандартного (а на самом деле – любого) кубильяжа зонотопа $Z(n-1, k)$ на высоте i .*

Имея это равенство, мы быстро завершаем доказательство Предложения 22. В самом деле, размер \mathcal{D}_i не превосходит числа вершин стандартного кубильяжа на уровне i . Поэтому размер всей системы \mathcal{D} не превосходит числа вершин стандартного кубильяжа $Z(n-1, k)$, то есть $\binom{n-1}{\leq k}$. Но именно нужно было доказать.

Доказательство леммы 7. Рассмотрим зонотоп $Z = Z(n-1, k)$. Элементы системы \mathcal{S} реализуются как спектры вершины видимой части границы Z , элементы \mathcal{A} – как спектры вершин невидимой части границы. Обрежем Z на высоте i . Тогда элементы $\mathcal{S}_0 \sqcup \mathcal{S}_1 \sqcup \dots \sqcup \mathcal{S}_i$ реализуются как вершины видимой части этого обрубка (‘чаши’), тогда как элементы $\mathcal{A}_0 \sqcup \dots \sqcup \mathcal{A}_{i-1}$ – как вершины невидимой части (исключая те, которые находятся на высоте i).

А теперь возьмем любой кубильяж Z , например, стандартный. И рассмотрим гирлянды (см. раздел 7) в этом кубильяже, точнее, те, которые начинаются в точках видимой части границы ‘обрубка’. Каждая гирлянда где-то пересекает другую границу ‘обрубка’, а это либо невидимая часть обрубка, либо его верхнее ‘горизонтальное’ основание (потолок). И при этом получается любая вершина кубильяжа

этой невидимой части границы обрубка. Отсюда мы получаем, что интересующая нас разность в точности равна числу вершин нашего кубильяжа, находящихся на высоте i . Лемма 7 доказана, а вместе с ней доказано и Предложение 22. \square

Наконец, можно поставить вопрос о чистоте отношения слабой разделенности. Для $k = 1$ утвердительный ответ был получен в [7]. Однако уже при $k = 3$ ответ отрицателен. Для получения контрпримера обратимся снова к разделу 19, то есть к системе подмножеств в [6]. В этом случае есть 52 периферийных точек-множеств, которые 3-разделимы с любыми подмножествами в [6]. Мы утверждаем, что

а) Три множества 25, 1356 и 1246 слабо 3-разделены. Они даже 3-разделены, см. раздел 19.

б) Вместе с периферийными точками-множествами эти три множества образуют нерасширяемую дальше (максимальную по включению) слабо 3-разделенную систему размера $52+3=55$. Тогда как $\binom{6}{\leq 4} = 57$. Утверждение про нерасширяемость проверяется непосредственно. Например, множество 25 4-разделено с множествами 136, 1346 и 146, но разделено не сильно из соображений размера.

Отметим, с другой стороны, что нерасширяемая 3-разделенная система $\{246, 235, 136\}$, рассмотренная как слабо 3-разделенная, допускает расширение за счет добавления двух множеств 146 и 245.

Дополнение 1. Поликатегорный взгляд на кубильяжи

Попробуем дать некоторое представление об этой достаточно изощренной конструкции, придуманной Маниным, Шехтманом, Капрановым и Воеводским ([14, 9, 15]).

В основе лежит идея, что кубильяжи можно трактовать как морфизмы, но между чем? Между кубильяжами меньшей размерности. Но те, в свою очередь, можно рассматривать как морфизмы, и так мы приходим не просто к категории, но к поликатегории. Грубо говоря, поликатегория – это система категорий, в которой для любых объектов a и b одной категории множество $\text{Hom}(a, b)$ в свою очередь является множеством объектов другой категории, более высокого уровня.

Чтобы настроиться на этот поликатегорный взгляд, вернемся к ромбическим тайлингам. Пусть есть две мембраны в тайлинге, то есть две змейки, идущие в зоногоне $Z(n, 2)$ из нижней вершины \emptyset в верхнюю вершину $[n]$. Предполагая, что вторая мембрана \mathcal{M}_2 проходит правее первой \mathcal{M}_1 , мы можем сказать, что $\mathcal{M}_1 \leq \mathcal{M}_2$, если между этими мембранами-змейками можно вписать (частичный) ромбический тайлинг (или, что эквивалентно, обе мембраны вписаны в некоторый ромбический тайлинг). Интерпретируя мембраны-змейки как линейные порядки (или перестановки) на множестве $[n]$, мы получаем (слабый) порядок Брюа.

Однако можно поступить более тонко и сказать, что нас интересует не просто существование тайлингов, ‘соединяющих’ \mathcal{M}_1 и \mathcal{M}_2 , но и сами ‘соединяющие’ их тайлинги. Иначе говоря, морфизмом из \mathcal{M}_1 в \mathcal{M}_2 объявляется произвольный (частичный) тайлинг \mathcal{T} между \mathcal{M}_1 и \mathcal{M}_2 . Так мы получаем вместо посета Брюа

категорию Брюа, в которой объектами служат перестановки (или линейные порядки на $[n]$), морфизмами – соединяющие их тайлинги, а композиция морфизмов производится просто путем объединения тайлингов. На самом деле, мы получаем большее: ведь два тайлинга \mathcal{T}_1 и \mathcal{T}_2 между \mathcal{M}_1 и \mathcal{M}_2 тоже можно сравнивать с помощью повышающих флипов. Так что $\text{Hom}(\mathcal{M}_1, \mathcal{M}_2)$ не просто (довольно богатое) множество, но тоже посет! И композиция морфизмов-тайлингов уважает эти структуры посетов.

Но если уж мы встали на этот путь, то грех останавливаться. Можно не просто говорить, что тайлинги \mathcal{T}_1 и \mathcal{T}_2 соединяются повышающими флипами, но само такое соединение назвать морфизмом (уже следующего, второго уровня). А соединение – это некоторый (частичный) кубильяж уже в зонотопе $Z(n, 3)$. И эту конструкцию можно продолжать и далее, поднимаясь все выше и выше по размерности, пока мы не дойдем до зонотопа-куба $Z(n, n)$, в котором имеется уже только один тривиальный кубильяж.

Так выглядит эта поликатегорная картина в общих чертах.

В следующем примере мы приведем лишь наиболее интересный фрагмент поликатегорного полотна, да и то в предельно простом случае. А именно, возьмем $n = 3$, и изобразим лишь первый, второй и третий этажи получающейся ‘пагоды’.

Объектами первого этажа служат вершины куба $Z(3, 3)$, то есть подмножества базисного множества $[3] = \{1, 2, 3\}$. Но что считать морфизмами? Казалось бы, естественно полагать, что из множества X идет стрелка в Y , если $X \subset Y$. На этом пути мы приходим просто к посету $2^{[3]}$. Кубильяжная точка зрения говорит, что морфизмом надо считать ‘путь’ от X в Y , частичную змейку из X в Y . Композиция змеек очевидна: если есть змейка из X в Y и из Y в Z , надо просто приставить их друг к другу и получить змейку из X в Z .

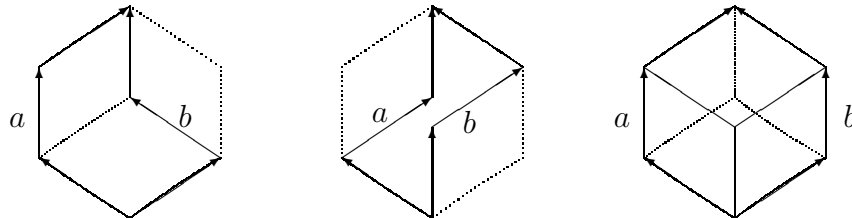


Рис. 17: Змейки в зонотопе $Z(3, 2)$

Объектами второго этажа являются частичные змейки. Если есть две змейки a и b с одним и тем же началом и одним и тем же концом, возникает вопрос – можно ли замостить промежуток между ними ромбами? И морфизмами второго этажа (между a и b) являются именно такие ромбические замощения области между a и b (здесь надо считать, что змейка b проходит правее змейки a). В нашем случае с $n = 3$ такое замощение бывает либо одно (как слева на рис. 17), или ни одного (как на среднем рисунке), где змейки идут из \emptyset в $[3]$.

Однако (в нашем простом случае) есть единственное исключение, когда между змейкой 123 и 321 (здесь мы понимаем сокращение 123 как линейный порядок на

множестве $\{1, 2, 3\}$) возможны два замощения или тайлинга: стандартный и анти-стандартный. Так что если нарисовать часть второго этажа, содержащую только ‘полные’ змейки (из \emptyset в $[3]$, то есть шесть линейных порядков на множестве $[3]$), мы получим следующую картину (рис. 18).

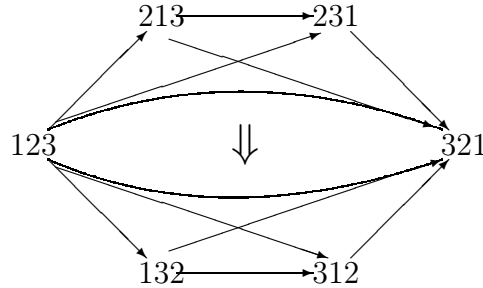


Рис. 18: Частичная картина поликатегории в случае $n = 3$.

Мы хотели бы обратить внимание, что из змейки 123 в змейку 321 идут два морфизма-тайлинга: стандартный и антистандартный. И эти два морфизма, как объекты третьего этажа, тоже связаны морфизмом (третьего уровня), который изображен двойной стрелкой \Rightarrow . (Конечно, на третьем этаже имеется еще много ‘банальных’ (изолированных) объектов.)

Этим примером мы хотели бы завершить рассказ о поликатегорном взгляде на кубильяжи. Подробности формализма можно посмотреть в статье Манина-Шехтмана [14] или Капранова-Воеводского [9, 15]. Само понятие поликатегории кратко обсуждается в книге [25] и более подробно – в книге [26]. Отметим еще статью [27], где на поликатегорном языке обсуждается уравнение Замолодчикова.

Дополнение 2. Связь с триангуляциями и посетом Тамари-Сташева

Практически одновременно с введением кубильяжей в форме высшего посета Брюа появились (в работе Воеводского и Капранова [15]) посеты Тамари-Сташева, которые во многом параллельны посетам Брюа и тесно с ними связаны. На эту тему написано много работ, с которыми можно познакомиться по обзору [2].

Чтобы определить эти посеты, снова рассмотрим циклическую конфигурацию векторов $C(n, d)$. Концы этих векторов являются точками на гиперплоскости в \mathbb{R}^d , заданной уравнением $x_1 = 1$, то есть гиперплоскостью на ‘высоте’ 1. Выпуклая оболочка этих точек v_1, \dots, v_n называется *циклическим политопом* и обозначается $P(n, d)$; это пересечение зонотопа $Z(n, d)$ с гиперплоскостью, и его размерность равна $d - 1$. При $d > 2$ точки v_i являются вершинами этого политопа.

Вместо кубильяжей зонотопа $Z(n, d)$ теперь интересуются триангуляциями политопа $P(n, d)$, то есть разбиениями на $(d - 1)$ -мерные симплексы, вершины которых лежат в множестве $\{v_1, \dots, v_n\}$. При $d = 2$ это разбиение отрезка $[v_1, v_n]$ на

подотрезки, при $d = 3$ – разбиение выпуклого n -угольника на $(n-2)$ треугольника, и так далее. Множество триангуляций обозначим $\mathbf{TS}(n, d)$.

Триангуляции во многом похожи на кубильяжи. Например, среди них есть ‘стандартная’ и ‘антистандартная’ триангуляции (или нижняя и верхняя триангуляции в терминологии [2]), которые получаются как ограничения соответствующих кубильяжей. В частности, этими триангуляциями исчерпываются множества $\mathbf{TS}(d+1, d)$. Замена стандартной триангуляции на антистандартную в $\mathbf{TS}(d+1, d)$ называется повышающим флипом. Аналогичную вещь (повышающий флип) можно делать при любом n , если удастся найти фрагмент вида стандартной триангуляции $\mathbf{TS}(d+1, d)$. Мы говорим, что $\mathcal{T} \leq \mathcal{T}'$, если от \mathcal{T} можно добраться до \mathcal{T}' серией повышающих флипов. Это дает структуру посета в множестве $\mathbf{TS}(n, d)$, называемую *посетом Тамари-Сташева*.

Пример 1. $d = 2$. Задать тут триангуляцию – значит задать разбиение на отрезки отрезка $[t_1, t_n]$, причем так, чтобы концы отрезков были какие-то t_i . Любое подмножество в $\{t_2, \dots, t_{n-1}\}$ задает такое разбиение на отрезки. Типичный повышающий флип состоит в замене двух последовательных отрезков $[t_i, t_j]$ и $[t_j, t_k]$ ($t_i < t_j < t_k$) на отрезок $[t_i, t_k]$, то есть фактически удаление t_j из подмножества. Мы видим, что посет Тамари-Сташева в этом случае (анти)изоморфен булевой решетке подмножеств множества $\{2, \dots, n-1\}$.

Пример 2. Случай $d = 3$ более интересен. Надо взять n точек на параболе $y = x^2$, упорядоченных по возрастанию x ; выпуклая оболочка этих точек дает циклический многоугольник $P = P(n, 3)$. Возьмем некоторую его триангуляцию и войдем (сверху) в треугольник со стороной $[v_1, v_n]$. После чего выйдем через любую из оставшихся сторон. Если при этом мы покидаем P , на этом путь заканчивается. Если попали в другой треугольник триангуляции, процесс продолжается – мы снова выходим через одну из двух других сторон этого треугольника. И так далее. В результате получается то, что называется *плоским бинарным деревом* (с $(n-2)$ -мя некорневыми вершинами, соответствующими треугольникам триангуляции), см. рис. 20 и 21. В книге [28] (упр. 6.19) приведены еще 65 способов задания множества таких деревьев, среди которых стоит выделить способ ‘правильной’ расстановки скобок в строке из $(n-1)$ -й буквы. Этот способ использовал Тамари при определении его посета $\mathbf{TS}(n, 3)$.

Чтобы говорить не просто о множестве $\mathbf{TS}(n, 3)$, но и о частичном порядке на нем, надо конкретизировать повышающие флипы. Они устроены так: надо взять фрагмент триангуляции, изображенный слева на рис. 19, и заменить диагональ (ik) четырехугольника на другую диагональ (jl) .



Рис. 19: флип триангуляции

Ниже нарисованы пять триангуляций пятиугольника и соответствующие бинарные деревья.

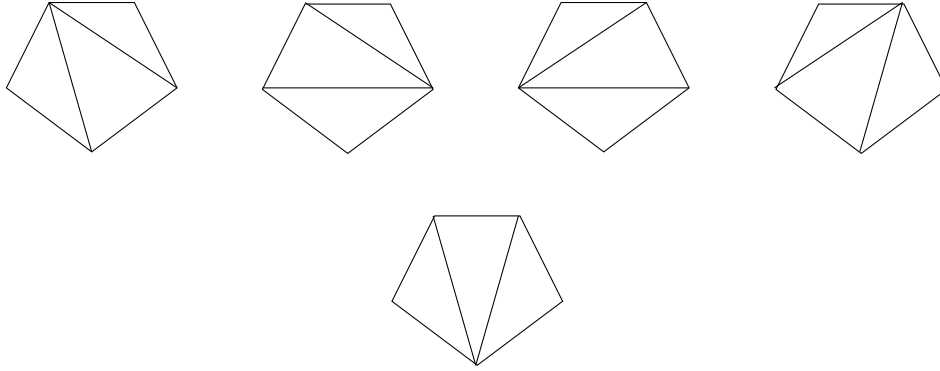


Рис. 20: пять триангуляций пятиугольника $P(5, 2)$.

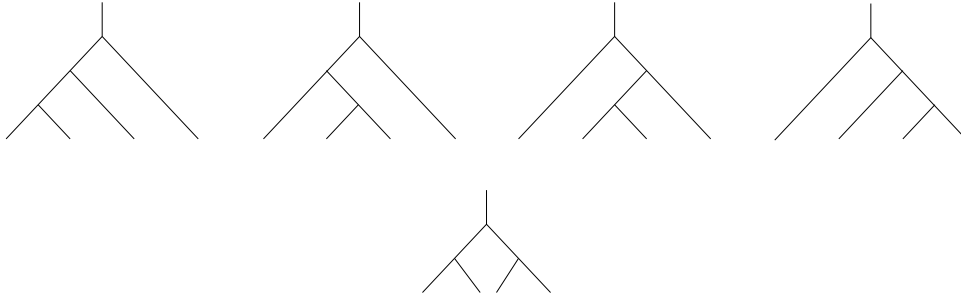


Рис. 21: соответствующие пять бинарных дерева.

Помимо очевидной аналогии с кубильяжами имеется более точная связь между ними. Пусть \mathcal{Q} – кубильяж зонотопа $Z(n, d)$. Если мы пересечем этот зонотоп гиперплоскостью $x_1 = 1$, мы получим в точности политоп $P(n, d)$; сечения кубов той же гиперплоскостью дают триангуляцию политопа $P(n, d)$. Это дает естественное отображение

$$sec : \mathbf{Q}(n, d) \rightarrow \mathbf{TS}(n, d).$$

Триангуляция $\mathcal{T} = sec(\mathcal{Q})$ дает полное представление о кубах, лежащих в ‘основании’ кубильяжа \mathcal{Q} (то есть укорененных в 0), но мало что говорит о том, как лежат кубы выше. Поэтому нет оснований надеяться на инъективность отображения sec , и уже простейшие примеры показывают неинъективность. В то же время есть веские основания надеяться, что верна следующая

Гипотеза 1. *Отображение $sec : \mathbf{Q}(n, d) \rightarrow \mathbf{TS}(n, d)$ сюръективно.*

Во всяком случае это так для $d \leq 3$. В случае $d = 2$ это простое упражнение. Случай $d = 3$ можно получить из работы [31, сек. 7] или из результатов [11].

Отметим, что в обзоре [2] (в пункте 8.3) также говорится про связь посетов Тамари и Брюа, но там обсуждается другое отображение. Что же касается отображения sec , то оно обсуждается в работе [33]. Там заявляется о сюръективности этого отображения, правда посет Тамари понимается несколько иначе, более ‘комбинаторно’. А вся их работа посвящена применению Тамари-посетов к солетонным решениям уравнения Кадомцева-Петвიაшвили. Имеется еще несколько работ о связи уравнения КП и кубильяжей-триангуляций, из которых отметим самую последнюю [34]

Ометим еще, что отображение $sec : \mathbf{Q}(n, d) \rightarrow \mathbf{TS}(n, d)$ согласовано с флипами. Если мы делаем флип в кубильяже \mathcal{Q} , то он может индуцировать флип в триангуляции $sec(\mathcal{Q})$. Точнее, если мы делаем флип внутри некоторого капсида, укорененного в 0, мы получаем флип соответствующей триангуляции. Если же капсид расположен ‘высоко’, то флип кубильяжа не оказывает никакого воздействия на триангуляцию. В любом случае это дает, что отображение $sec : \mathbf{Q}(n, d) \rightarrow \mathbf{TS}(n, d)$ согласовано со структурами посетов.

Дополнение 3. Слабые мембраны

Это дополнение непосредственно продолжает материал разделов 9-11. С другой стороны оно примыкает к тематике Дополнения 2 про триангуляции циклических политопов.

В разделе 6 вводилось понятие мембраны в кубильяже. Это $(d-1)$ -мерный подкомплекс кубильяжа, который при проекции π вдоль d -го координатного вектора e_d биективно проектируется туда же, куда весь зонотоп $Z(n, d)$. Аналогично понимается и слабая мембрана. Это тоже некоторая $(d-1)$ -мерная пленка в зонотопе $Z(n, d)$, биективно проектирующаяся туда же, куда и весь зонотоп. Но есть два отличия. Первое – эта пленка уже не является подкомплексом кубильяжа \mathcal{Q} , но подкомплексом некоторого измельчения этого кубильяжа. Второе – проектируем мы не вдоль вектора (направления) e_d , но вдоль вектора $e_d + \varepsilon e_1$, где ε – небольшое положительное число. То есть мы глядим на зонотоп почти в направлении e_d , но чуть-чуть ‘снизу’. Иначе говоря, проекция π_ε вдоль вектора $e_d + \varepsilon e_1$ переводит точку $x = (x_1, x_2, \dots, x_d) \in \mathbb{R}^d$ в $\pi_\varepsilon(x) = (x_1 - \varepsilon x_d, x_2, \dots, x_{d-1}) \in \mathbb{R}^{d-1}$.

Скажем более точно. Циклический зонотоп $Z = Z(n, d)$ как бы растет из точки 0 ‘вверх’, до высоты n , и все его вершины, как и вершины кубильяжа \mathcal{Q} , находятся на целочисленной высоте. Рассечем и зонотоп Z , и все кубы кубильяжа \mathcal{Q} ‘горизонтальными’ гиперплоскостями H_k , заданными уравнениями $x_1 = k$, где k пробегает целые числа от 1 до $n-1$. В результате каждый куб Q будет разрезан на d частей, называемых *кусками*. Каждый кусок – это некоторый гиперсимплекс (в терминологии [29]). На рис. 22 показано рассечение трехмерного куба на три куска: нижний тетраэдр, октаэдр и верхний тетраэдр.

Получается разбиение зонотопа Z , но уже не на кубы, но на более мелкие куски-гиперсимплексы, которое мы обозначаем \mathcal{Q}^\equiv и называем *измельчением* кубильяжа \mathcal{Q} .

Измельченный кубильяж \mathcal{Q}^\equiv имеет те же вершины, что и \mathcal{Q} . Но нас больше

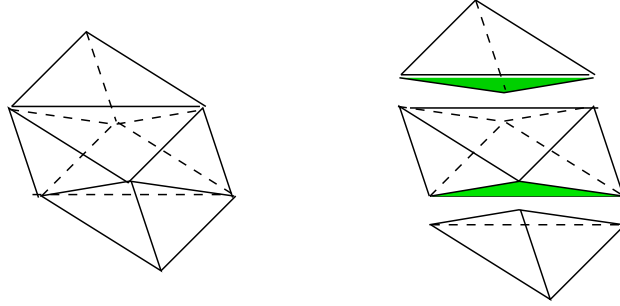


Рис. 22: куски

будут интересоваться ‘фасеты’ $\mathcal{Q} \equiv$, или фасеты кусков. Они бывают ‘вертикальные’ (это куски фасет кубов кубильяжа \mathcal{Q}) и ‘горизонтальные’, лежащие в некоторой гиперплоскости H_k . (И те, и другие – гиперсимплексы, только теперь размерности $d - 1$.) Большинство фасет куска P вертикальные, и только две (или одна, если кусок – симплекс) горизонтальные.

Слабая мембрана (или *w-мембрана*) в кубильяже \mathcal{Q} – это подкомплекс \mathcal{W} измельчения \mathcal{Q} , который при проекции π_ε вдоль вектора $e_d + \varepsilon e_1$, биективно (гомеоморфно) проецируется на зонотоп (меньшей размерности) $\pi_\varepsilon(Z)$. Обычные мембраны (из раздела 6, их можно называть сильными) могут пониматься как слабые. Как и сильные мембраны, слабые мембраны гомеоморфны $(d - 1)$ -мерному диску, край которого – это обод зонотопа Z (относительно π или π_ε), и они делят зонотоп Z на две части – перед мембраной ($Z_-(\mathcal{W})$) и после мембраны ($Z_+(\mathcal{W})$); каждая из этих частей тоже разбита на куски. Проекция (при π_ε) клеток мембраны дают некоторое разбиение зонотопа $\pi_\varepsilon(Z)$ на плитки-гиперсимплексы, которое можно было бы назвать *гиперкомби*, по аналогии с понятием комби в размерности 2, [30, 31]. Это интересный объект, но мы (пока) не будем им заниматься.

Главное отличие слабых мембран от сильных в том, что первые могут иметь горизонтальные участки (‘выступы’ или ‘балконы’), см. рис. 23 и 24.

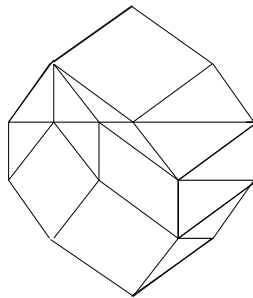


Рис. 23: слабая мембрана в ромбическом тайлинге; видны три балкона.

Простейшие примеры *w-мембран* (назовем их *главными*) получаются следующим образом. Пусть \mathcal{Q} – кубильяж зонотопа $Z = Z(n, d)$. Мы идем (сверху вниз) сначала по передней (видимой) части границы Z до уровня k , $0 \leq k \leq n$. Затем

идем горизонтально по этому уровню k вплоть до невидимой (задней) части границы и наконец спускаемся до 0 по задней границе. На рис. 24 слева изображена главная w -мембрана (при $k = 2$) для зонотона $Z(5, 2)$, а справа – для зонотопа $Z(5, 3)$ (вид спереди и немного снизу).

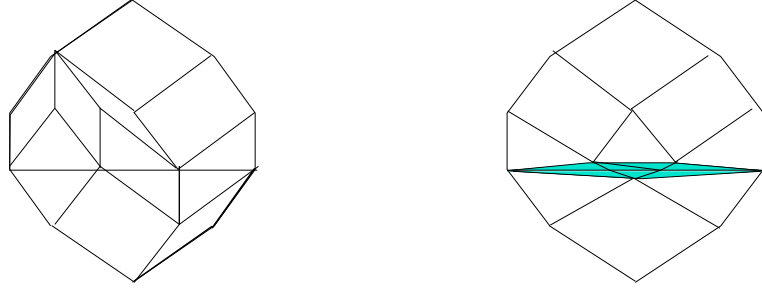


Рис. 24: простые мембраны.

Тут уступы имеются лишь на высоте 2; в общем случае уступы могут встречаться на любой высоте. Для тривиального кубильяжа куба $Z(d, d)$ все мембраны главные.

Отметим, что триангуляции циклического политопа из Дополнения 2 можно понимать как главные слабые мембраны (для $k = 1$).

Основная вещь, о которой мы хотим рассказать – это аналог естественного порядка на множестве кусков измельченного кубильяжа $\mathcal{Q} \equiv$. Поступим в точности как в разделе 9. А именно, введем понятие *непосредственного следования* \prec для кусков. Только проектируем (и, соответственно, говорим о видимых и невидимых фасетах кусков) не отображением π , а чуть измененным отображением π_ε . При этом заметим следующее. Пусть кусок P (лежащий в кубе Q) непосредственно предшествует куску P' (лежащему в кубе Q'), $P \prec P'$. Тогда возможны два случая:

- 1) куски P и P' лежат на одном этаже (между гиперплоскостями H_k и H_{k+1}), и тогда $Q \prec Q'$;
- 2) куски P и P' разделены гиперплоскостью H_k ; тогда $Q = Q'$, и P лежит под P' .

Это замечание помогает доказать следующий аналог Предложения 6:

Утверждение. *Отношение \prec на $\mathcal{Q} \equiv$ ациклично.*

В самом деле, пусть $P_1 \prec \dots \prec P_m$ – некоторый направленный путь в $\mathcal{Q} \equiv$. И пусть Q_l – куб кубильяжа \mathcal{Q} , содержащий кусок P_l . Тогда мы получаем направленный путь $Q_1 \dots Q_m$ в \mathcal{Q} , в котором соседние кубы либо связаны отношением $\prec_{\mathcal{Q}}$, либо совпадают. В силу Предложения 6 раздела 9, если на этом пути встречается хоть раз отношение $\prec_{\mathcal{Q}}$, то Q_1 отлично от Q_m и тем более P_1 отлично от P_m . Поэтому можно считать, что все Q_l одни и те же и равны некоторому кубу Q . Тогда все куски P_l – это куски этого куба Q . Теперь утверждение очевидно, потому что каждый следующий кусок лежит на этаж выше предыдущего. \square

Основываясь на этом утверждении, мы транзитивно замыкаем отношение \prec и получаем отношение порядка \preceq на $\mathcal{Q} \equiv$, которое снова называем *естественным*.

И точно так же, как это делалось в разделе 11, можно ввести понятие стэка (или идеала) для этого порядка и отождествить слабые мембраны (для кубильяжа \mathcal{Q}) со стэками. Польза этого простого наблюдения в том, что стэк ‘разбирается’ путем удаления некоторого максимального (относительно порядка \preceq) элемента (куска). В терминах слабых мембран мы получаем понятие слабого (понижающего) флопа. Важное следствие состоит в том, что от любой слабой мембраны до ‘минимальной’ (и уже сильной) мембраны можно добраться серией таких слабых понижающих флопов. Кроме того, множество слабых мембран (в кубильяже \mathcal{Q}) является (как в Предложении 11) дистрибутивной решеткой.

Однако на этом аналогии частично обрываются, и ситуация начинает зависеть от четности/нечетности d . Вернемся к простейшему кубильяжу куба $Z(d, d)$. У измельчения такого куба имеется d кусков. И почти у всех кусков (кроме средних) все вершины лежат на ободе этого куба. Как мы знаем из раздела 7, не на ободе находятся только две вершины, обозначенные там как t и h (хвост и голова). Обе эти вершины принадлежат либо одному ‘среднему’ куску (если d нечетно), либо одному ‘среднему’ сечению (если d четно, см. Рис. 4). И это сказывается на числе вершин слабой мембраны. Когда мы удаляем нецентральный кусок из груды $\mathcal{S}(\mathcal{W})$ домембранных кусков (делая соответствующий понижающий флоп), то число вершин слабой мембраны не меняется. Однако когда мы удаляем центральные куски, положение усложняется. Удаление более верхнего куска (при четном d) приводит к увеличению числа вершин мембраны на 1, удаление более низкого – к уменьшению на 1, а удаление единственного центрального куска (при нечетном d) не меняет числа вершин мембраны.

Вывод. *При нечетном d слабые мембраны имеют одно и то же число вершин, равное $\binom{n}{\leq d-1}$. При четном d число вершин у слабых мембран может меняться (в каких пределах?).*

Например, рис. 23 изображает тайлинг $Z(5, 2)$ со слабой мембраной, у которой 12 вершин (вместо ‘нормальных’ шести).

А теперь вспомним Предложение 22, которое говорит, что (при нечетном d) размер слабо $(d-2)$ -разделенной системы в $[n]$ не превосходит $\binom{n}{\leq d-1}$. В [32] доказывается, что *при нечетном d спектр любой слабой мембраны в $Z(n, d)$ является слабо $(d-2)$ -разделенной системой* (ср. с Предложением 15). Также есть основания предполагать следующее.

Гипотеза 2 (ср. с Теоремой 5). *Если \mathcal{W} – слабо $(d-2)$ -разделенная система размера $\binom{n}{\leq d-1}$, то она реализуется как спектр некоторой слабой мембраной в зонотопе $Z(n, d)$.*

Во всяком случае, для $d = 3$ эта гипотеза верна.

Дополнение 4. Доказательство ацикличности

В этом дополнении мы собираемся доказать Предложение 6 об ацикличности отношения \prec на множестве кубов кубильяжа \mathcal{Q} . На самом деле мы покажем большее

– что отношение \prec ациклично не только на множестве кубов фиксированного кубильяжа \mathcal{Q} , но на множестве \mathcal{C} всех кубов всех кубильяжей. (Абстрактным) *кубом* называется произвольный d -мерный куб C в зонотопе $Z(n, d)$, порожденный некоторым набором векторов в \mathbf{V} и растущий из целой точки. Такой куб задается указанием своего корня $v(X)$ ($X \subset [n]$) и своего типа $T \subset [n]$; T имеет размер d и не пересекается с X . Как показано в Предложении 3, такой куб вписывается в некоторый кубильяж. Множество всех кубов в $Z(n, d)$ обозначается $\mathcal{C}(n, d)$; очевидно, оно равно объединению множества всех кубов всех кубильяжей $Z(n, d)$.

На множестве $\mathcal{C}(n, d)$ введем бинарное отношение \prec ровно так, как это было сделано в разделе 9. Напомним, что $Q \prec Q'$, если эти кубы Q и Q' соседние по некоторой общей фасете F , причем эта фасета F невидимая в Q и видимая в Q' . Предложение 6 следует из более сильного утверждения.

Теорема. *Отношение \prec на множестве $\mathcal{C}(n, d)$ ациклично.*

Для доказательства теоремы мы выразим комбинаторно отношение \prec . Пусть куб Q равен (X, T) , куб $Q' = (X', T')$, и $Q \prec Q'$. Обозначим через F фасету, по которой эти кубы соседствуют. Комбинаторно эта фасета равна (S, J) , где S – корень фасеты, а J – ее тип. Очевидно, $J = T \cap T'$, размер ее равен $d - 1$. Пусть $T = Ji$, $T' = Jk$ для некоторых цветов i и k . Вектор v_i может либо входить в корень F , либо выходить из него. В первом случае $S = Xi$, во втором $X = Si$. Аналогично с k . Так что возможен один из четырех случаев, изображенных на рисунке 25.

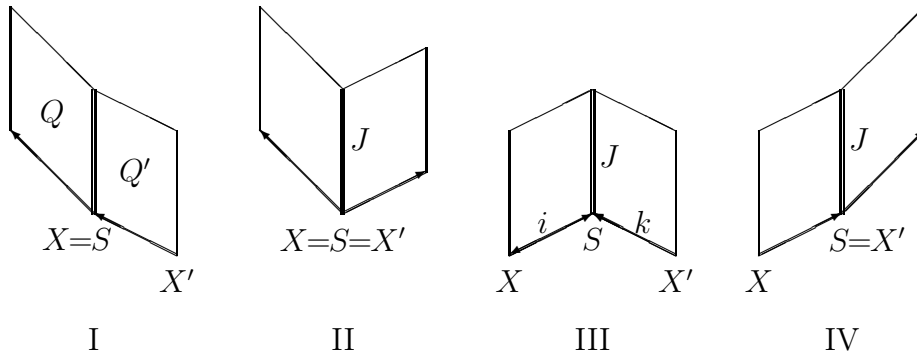


Рис. 25: четыре варианта примыкания кубов к стенке F типа J

Мы должны теперь выразить то, что фасета F невидимая в кубе Q . Для этого будем временно считать, что корень фасеты F расположен в нуле. Пусть $J = \{j_1 < j_2 < \dots < j_{d-1}\}$; тогда линейное уравнение $\det(v_{j_1}, \dots, v_{j_{d-1}}, \cdot) = 0$ задает гиперплоскость, содержащую фасету F . То, что эта фасета невидимая в Q , означает, что вектор v_i лежит в положительном полупространстве (если он входит в корень F) и в отрицательном полупространстве (если он выходит из корня F). То есть в случаях I и II $\det(v_{j_1}, \dots, v_{j_{d-1}}, v_i) < 0$, а в случаях III и IV этот определитель больше 0.

Симметрично фасета F видимая в кубе Q' , если вектор v_k лежит в положительном полупространстве в случаях II и IV, и в отрицательном полупространстве в случаях I и III. То есть определитель $\det(v_{j_1}, \dots, v_{j_{d-1}}, v_k)$ должен иметь знак + или - соответственно.

Это возвращает нас к вопросу о знаках определителей, о котором мы рассказали в разделе 5. А именно, точки $j_1 < j_2 < \dots < j_{d-1}$ на отрезке $[n]$, делят этот отрезок на d интервалов, которые удобно нумеровать справа налево. Нулевой интервал состоит из точек-чисел строго больших j_{d-1} , первый интервал – между j_{d-2} и j_{d-1} и так далее; последний интервал состоит из чисел, строго меньших j_1 . Если число j попадает в интервал с четным номером, то определитель $\det(v_{j_1}, \dots, v_{j_{d-1}}, v_j)$ положителен; если с нечетным номером – отрицателен. Можно говорить, что число j *четно* относительно J , если j попадает в интервал с четным номером, и *нечетно* в противном случае.

Подведем итог. Пусть задана фасета F , представленная как пара (S, J) , и куб $Q = (X, T)$, имеющий F своей фасетой, так что $T = Ji$ для некоторого i , не принадлежащего J . Фасета F невидима в кубе Q тогда и только тогда, когда выполнено одно из двух:

- а) $X = S$ и i нечетно относительно J ;
- б) $X = S - i$ и i четно относительно J .

Симметрично, пусть куб $Q' = (X', T')$ имеет F своей фасетой, так что $T' = Jk$. Фасета F видима в кубе Q тогда и только тогда, когда выполнено одно из двух:

- а') $X' = S$ и k четно относительно J ;
- б') $X' = S - k$ и k нечетно относительно J .

Таким образом, $Q \prec Q'$ тогда и только тогда, когда выполнены комбинации: а) и а') (случай II рисунка), или а) и б') (случай I рисунка), или б) и а') (случай IV) или б) и б') (случай III).

Итак, мы выразили комбинаторно отношение \prec . Теперь приступим к доказательству теоремы. Для этого разделим все множество \mathcal{C} кубов на три группы, или уровня, \mathcal{C}_0 , \mathcal{C}_1 и \mathcal{C}_2 . К нулевому уровню \mathcal{C}_0 мы относим те кубы (X, T) , для которых цвет n не входит ни в X , ни в T ; к первому уровню ('перегородка цвета n ') \mathcal{C}_1 мы относим те кубы, для которых n принадлежит типу T ; наконец, второй уровень \mathcal{C}_2 состоит из кубов, для которых $n \in X$. Следующее утверждение является ключевым.

Лемма. *Уровень монотонно не убывает относительно \prec .*

Доказательство. Пусть $Q \prec Q'$. Обозначим через l и l' уровни Q и Q' , соответственно. Мы должны проверить две вещи. Первая: если $l' = 0$, то и $l = 0$. Вторая: если $l = 2$, то и $l' = 2$.

Начнем со второго утверждения. Допустим, что $l = 2$ (то есть n принадлежит X), но n не принадлежит X' . Так как в случае а') X' содержит X , этот случай не реализуем и имеет место случай б'). Но тогда $k = n$, а n всегда четно, так что мы получаем противоречие.

Проверим теперь первое утверждение. Допустим, что $l' = 0$, тогда как $l > 0$. Это значит, что n не принадлежит ни X' , ни T' , и в то же время принадлежит либо X , либо T . Принадлежать X цвет n не может, как было только что показано.

Таким образом, $n \in T = Si = (T' - k) \cup \{i\}$. Так как n не принадлежало T' , то $i = n$. Но цвет n всегда четен, так что мы попадаем в случай а), когда $X = S - i = S - n$. Значит n принадлежит S и тем более $X' = Sk$. Противоречие. \square

Приступим к доказательству теоремы. Оно ведется индукцией по n . При $n = d$ утверждение теоремы верно, поскольку имеется всего один куб. Будем считать, что $d < n$.

Предположим, что имеется циклический монотонный путь $Q_0 \prec Q_1 \prec \dots \prec Q_N = Q_0$. В силу предыдущей Леммы этот путь целиком располагается на одном из уровней, нулевом, первом или втором.

Если цикл проходит на уровне 0, то он лежит в зонотопе $Z(n - 1, d)$, что противоречит индуктивному предположению.

Если цикл лежит на втором уровне, то заменим каждый корень X_i на $X_i - n$. Мы снова получаем циклический путь в зонотопе $Z(n - 1, d)$, что невозможно по индуктивному предположению.

Остается рассмотреть случай, когда циклический путь располагается на уровне 1. То есть, если $Q_i = (X_i, T_i)$ для $i = 0, \dots, N$, то $n \in T_i$ для всех i . В этом случае, заменяя каждое множество T_i на ‘редуцированное’ множество $\tilde{T}_i = T_i - n$, мы получим ‘путь’ $\tilde{Q}_0, \dots, \tilde{Q}_N$ в $Z(n - 1, d - 1)$, где $\tilde{Q}_i = (X_i, \tilde{T}_i)$. Главное замечание состоит в том, что мы снова получаем цикл, хотя и противоположно ориентированный, что противоречит индуктивному предположению. Это замечание следует из приводимой ниже Леммы о реверсе.

Лемма о реверсе. Пусть для кубов $Q = (X, T)$ и $Q' = (X', T')$ из $\mathcal{C}(n, d)$ выполнено соотношение $Q \prec Q'$. Предположим, что $n \in T, T'$, и положим $\tilde{T} = T - n$, $\tilde{T}' = T' - n$. Тогда для кубов $\tilde{Q} = (X, \tilde{T})$ и $\tilde{Q}' = (X', \tilde{T}')$ в зонотопе $\tilde{Z} = Z(n - 1, d - 1)$ выполнено противоположное соотношение $\tilde{Q}' \succ \tilde{Q}$, где \succ – соответствующее отношение на множестве $\mathcal{C}(n - 1, d - 1)$.

Доказательство. Пусть $J = T \cap T'$; очевидно, что J также содержит n . Положим $\tilde{J} = J - n$. Причина реверса состоит в том, что в силу $J = \tilde{J}n$ четность какого-либо цвета i относительно множества \tilde{J} противоположна четности этого цвета относительно J . \square

Список литературы

- [1] Rambau J. Triangulations of cyclic polytopes and higher Bruhat orders. *Mathematika* 44, 1997, 162-194.
- [2] Rambau J., Reiner V. A survey of the higher Stasheff-Tamari orders. In *Associahedra, Tamari Lattices and Related Structures* (eds. F. Muller-Hoissen, J.M.Pallos, J. Stasheff), Birkhauser/Springer, 2012, pp. 351-390.
- [3] *Associahedra, Tamari Lattices and Related Structures* (eds. F. Muller-Hoissen, J.M. Pallos, and J. Stasheff), Springer, 2012.

- [4] Shephard G.C. Combinatorial properties of associated zonotopes. *Can. J. Math.*, v. 26, No. 2, 1974, 302-321.
- [5] Циглер Г.М. *Теория многогранников*. М.: МЦНМО, 2014. (Перевод Ziegler G. *Lectures on polytopes*, Springer-Verlag, N.Y., 1995.)
- [6] Leclerc B., Zelevinsky A. Quasicommuting families of quantum Plücker coordinates. *Amer. Math. Soc. Trans.*, Ser. 2, v. 181 (1998) 85-108.
- [7] Данилов В.И., Карзанов А.В., Кошевой Г.А. Системы разделенных множеств и их геометрические модели. *Успехи матем. наук*, т. 65, вып. 4 (394) 2010, 132-217.
- [8] Манин Ю.И., Шехтман В.В. О высших порядках Брюа, связанных с симметрической группой. *Функц. анализ и его приложения*, 1986, т. 20, вып. 2, 74-75.
- [9] Воеводский В.А., Капранов М.М. Свободная n -категория, порожденная кубом, ориентированные матриоды и высшие порядки Брюа. *Функц. анализ и его приложения*, 1991, т. 25, вып. 1, 62-65.
- [10] Ziegler G.M., Higher Bruhat orders and cyclic hyperplane arrangements. *Topology*, v. 32, No. 2, 1991, pp. 259-279.
- [11] Galashin P. Plabic graphs and zonotopal tilings. *Proc. London Math. Soc.* 117 (4), 2018, 661-681.
- [12] Galashin P., Postnikov A. Purity and separation for oriented matroids. arXiv:1708.01329[math.CO], 2017.
- [13] Bailey G.D. Tilings of zonotopes: Discriminantal arrangements, oriented matroids, and enumeration, Minnesota Univ., 1997.
- [14] Manin Yu., Schechtman V. Arrangements of hyperplanes, higher braid groups and higher Bruhat orders. In: *Algebraic Number Theory – in Honour of K. Iwasawa*, Advances Studies in Pure Math. 17, Academic Press, NY, 1989, pp. 289-308.
- [15] Kapranov M.M., Voevodsky V.A. Combinatorial-geometric aspects of polycategory theory: pasting schemes and higher Bruhat orders. *Cahiers de topologie et géométrie différentielle catégoriques*, t. 32, n. 1, 1991, 11-28.
- [16] Bjorner A., Las Vergnas M, Sturmfels B., White N., Ziegler G.M. *Oriented matroids*. Cambridge Univ. Press, 1999.
- [17] Athanasiadis C.A. Zonotopal subdivisions of cyclic zonotopes, *Geometriae Dedicata* 86, 2001, 37-57
- [18] Стенли Р. *Перечислительная комбинаторика*, т. 1. Москва, Мир, 1990

- [19] Felsner S., Ziegler G.M. Zonotopes associated with higher Bruhat orders. *Discrete Mathematics* 241, 2001, pp. 301-312.
- [20] Thomas H. Maps between higher Bruhat orders and higher Stasheff-Tamari posets. In *Formal Power Series and Algebraic Combinatorics Conference* – Linköping, Sweden, 2003.
- [21] Las Vergnas M. Extensions ponctuelles compatibles d’une geometrie combinatoire. *C.R. Acad. Sci. Paris, Ser. A-B*, 286(21), A981-A984, 1978.
- [22] Felsner S., Weil H. A theorem on higher Bruhat orders. *Discrete Comput. Geom.* 23, 2000, pp. 121-127.
- [23] Edelman P.H., Reiner V. Free arrangements and rhombic tilings. *Discrete Comput. Geom.*, 16 (1996) 307-340.
- [24] Oppermann A., Thomas H. Higher dimensional cluster combinatorics and representation theory. arXiv:1001.5437[math.RT], 2011.
- [25] Маклейн С. *Категории для работающего математика*. Москва, Физматлит, 2004.
- [26] Lurie J. *Higher topos theory*. Princeton Univ. Press, 2009.
- [27] Kapranov M.M., Voevodsky V.A. 2-categories and Zamolodchikov tetrahedra equations. *Proc. of Symposia in Pure Math.* v. 56, part. 2, 1994.
- [28] Стенли Р. *Перечислительная комбинаторика*, т.2. Москва, Мир, 2005.
- [29] Гельфанд И.М., Серганова В.В. Комбинаторные геометрии и страты тора на однородных компактных многообразиях. *УМН*, 1987, т. 42, вып. 2(254), 107-143.
- [30] Danilov V.I., Karzanov A.V., Koshevoy G.A. Combined tilings and separated set-systems. *Selecta Mathematica*, v. 23, 2017, 1175-1203.
- [31] Danilov V.I., Karzanov A.V., Koshevoy G.A. On interrelations between strongly, weakly and chord separated set-systems (a geometric approach). arXiv:1805.09595[math.CO], 2018.
- [32] Danilov V.I., Karzanov A.V., Koshevoy G.A. The weak separation in higher dimensions. *Manuscript*, 2019.
- [33] Dimakis A., Müller-Hoissen F. KP line solitons and Tamari lattices. In *Associahedra, Tamari Lattices and Related Structures* (eds. F. Muller-Hoissen, J.M.Pallos, J. Stasheff), Birkhauser/Springer, 2012, pp. 391-424.
- [34] Karpman R., Kodama Y. Triangulations and soliton graphs for totally positive Grassmanian. arXiv:1808.01587[nlin.SI] 2018.

